

SENSORES DE IMAGEM CMOS

José Gabriel Rodríguez Carneiro Gomes

EPOLI/DEL e COPPE/PEE

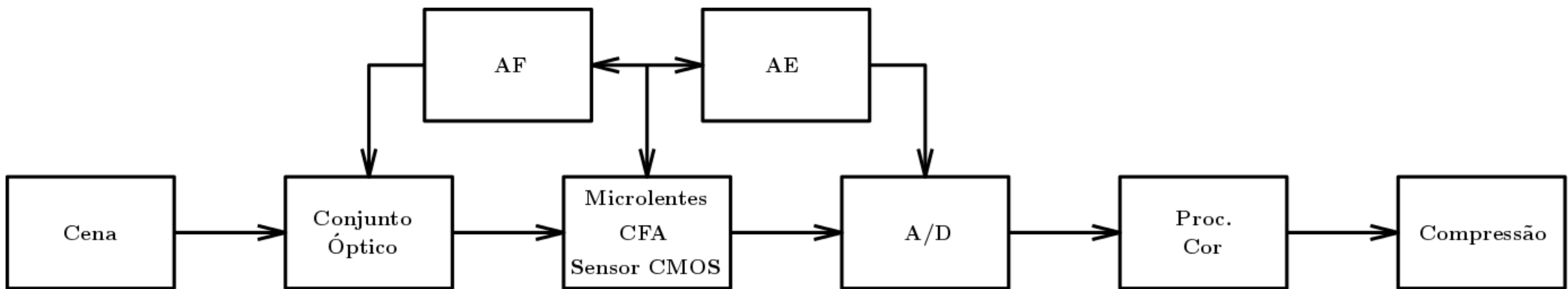
Universidade Federal do Rio de Janeiro

CONTEÚDO

- Sensor de Imagem CMOS
- Pixel
- Processamento de Imagens no Plano Focal
- Conclusões e Referências

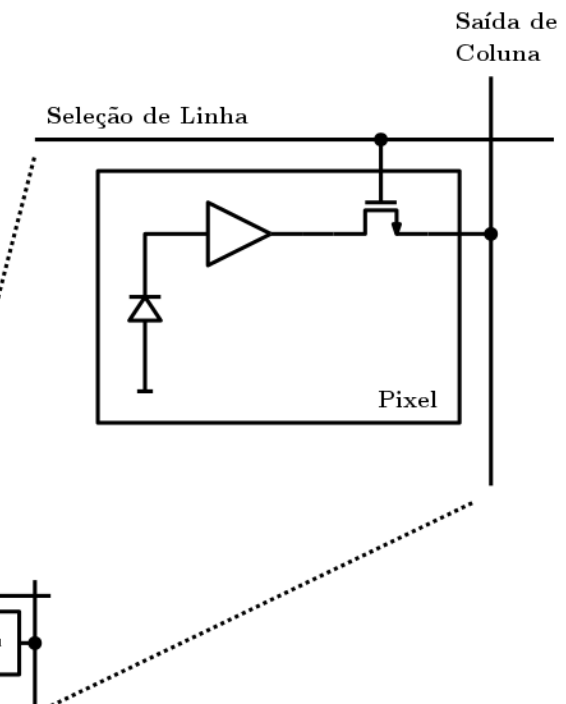
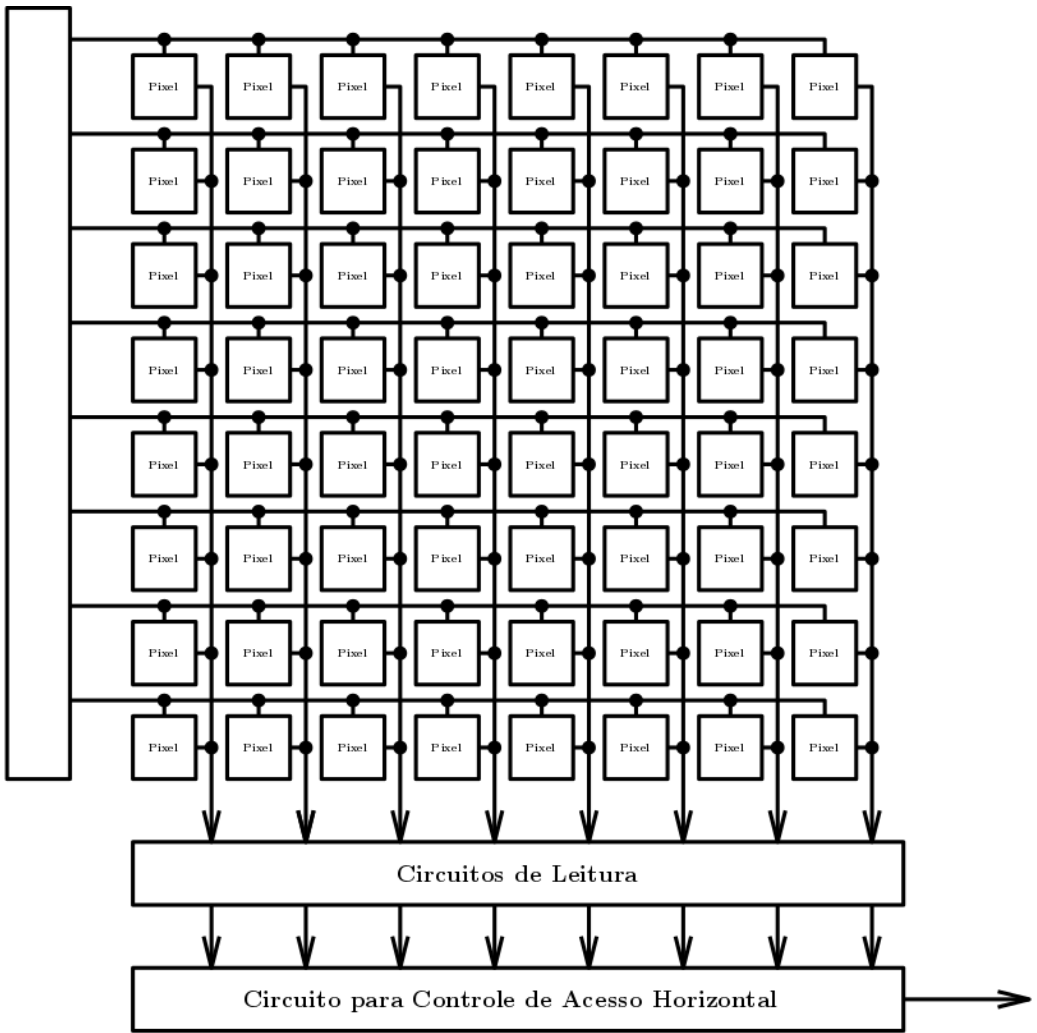
SENSOR DE IMAGENS CMOS

- Diagrama de blocos de um sistema eletrônico básico de imagem



SENSOR DE IMAGENS CMOS

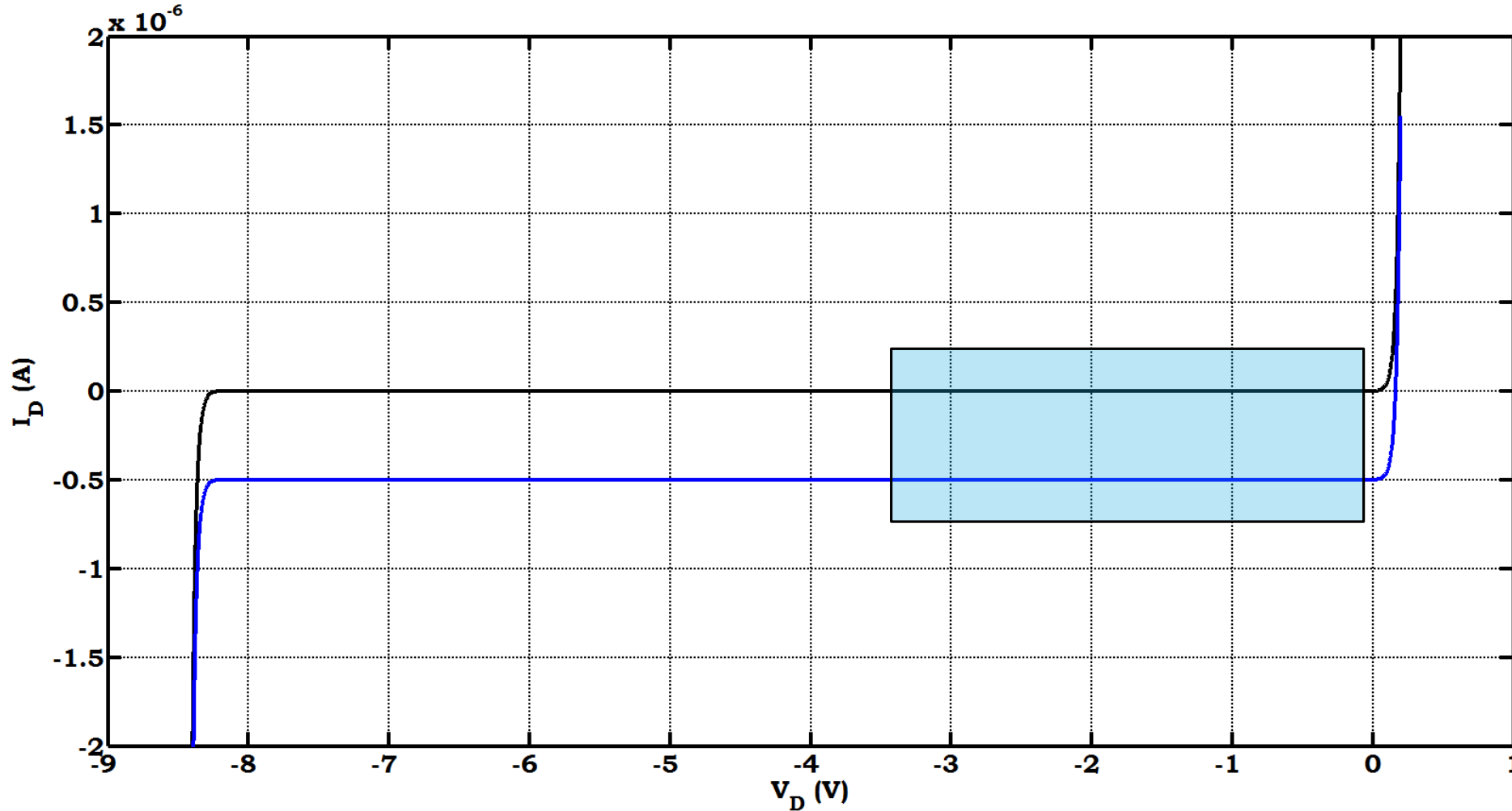
Circuito para
Controle de
Acesso Vertical



SENSOR DE IMAGENS CMOS

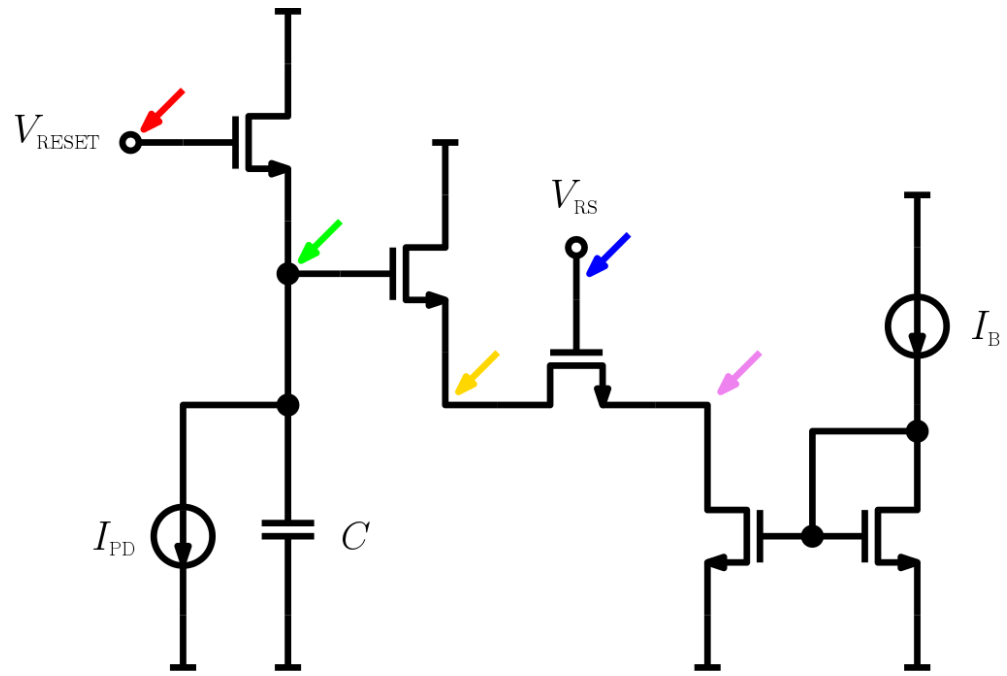
- **Passive-pixel sensor (1960)**
- **Charge-coupled devices (1970) – Willard S. Boyle e George E. Smith, Prêmio Nobel 2009**
- **Active-pixel sensor (final dos anos 80) – 3T, logarítmico**
- **4T (anos 90)**
- **Processamento de imagens no plano focal (meados dos anos 90, anos 2000)**

FOTODIODO

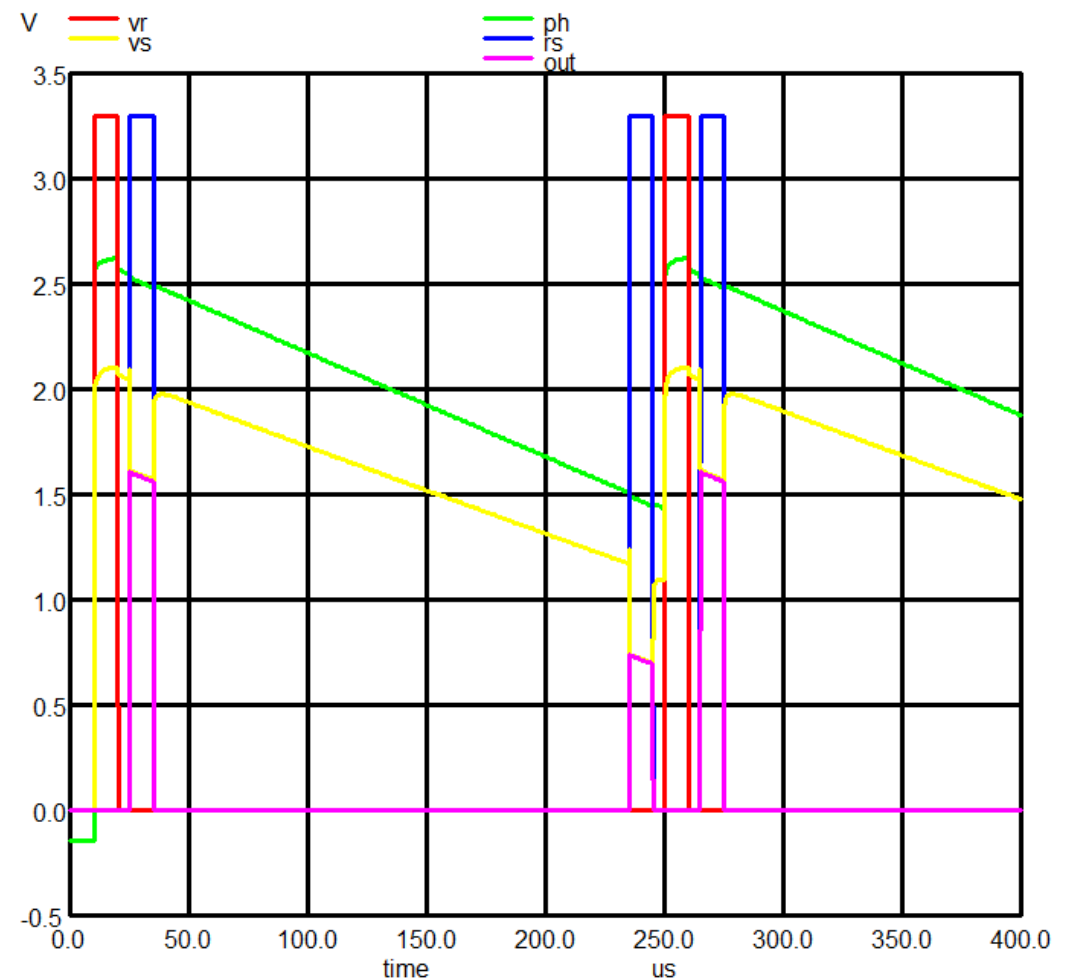


```
pts=5000; a=-8.4; b=0.2; stp=(b-a)/pts; x=a:stp:(b-stp); y=zeros(size(x));  
h=find(x>=0); y(h)=(1e-9)*(exp(x(h)/0.026)-1);  
i=find(x<0); y(i)=-(1e-9)*(exp((abs(x(i))-8.2)/0.026)-1);  
plot(x,y,'k-','LineWidth',3); hold on; grid on;  
plot(x,y-(5e-7),'b-','LineWidth',3); axis([-9 1 -2e-6 2e-6]);  
xlabel('V_D (V)'); ylabel('I_D (A)');
```

PIXEL 3T

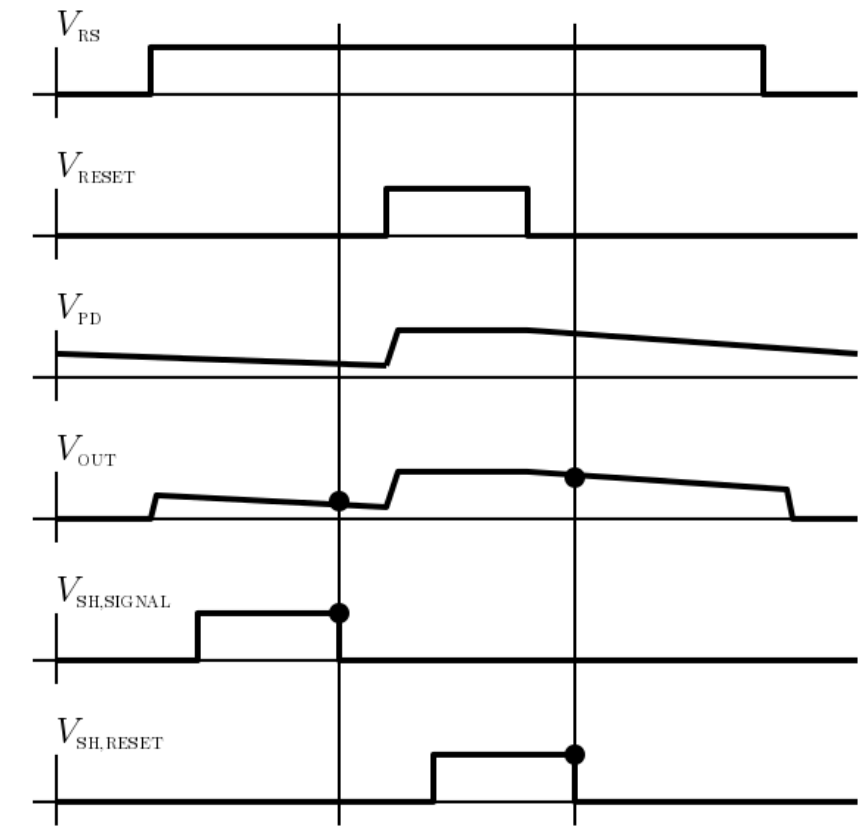
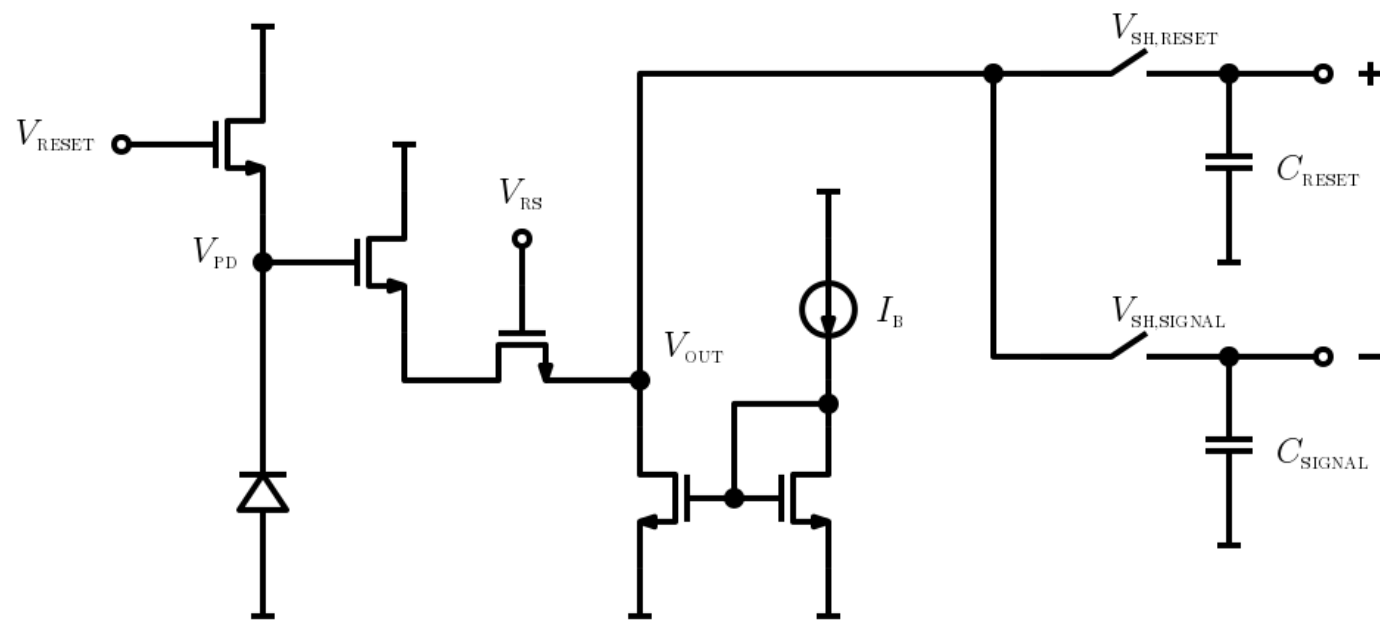


Tecnologia $0.35 \mu\text{m}$, $C = 10 \text{ fF}$, $I_{ph} = 50 \text{ pA}$, $I_B = 2 \mu\text{A}$

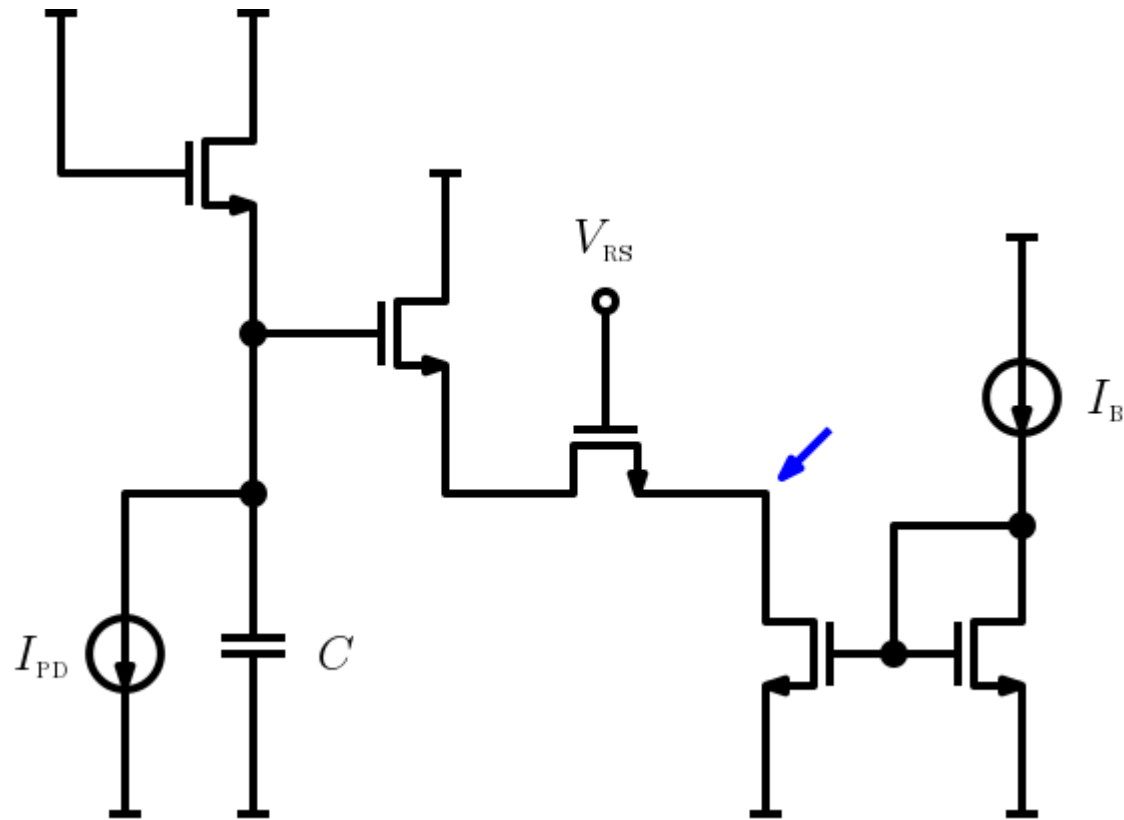


3T E AMOSTRAGEM DUPLA CORRELACIONADA

- Conhecida pela sigla CDS (Correlated Double-Sampling)



PIXEL LOGARÍTMICO



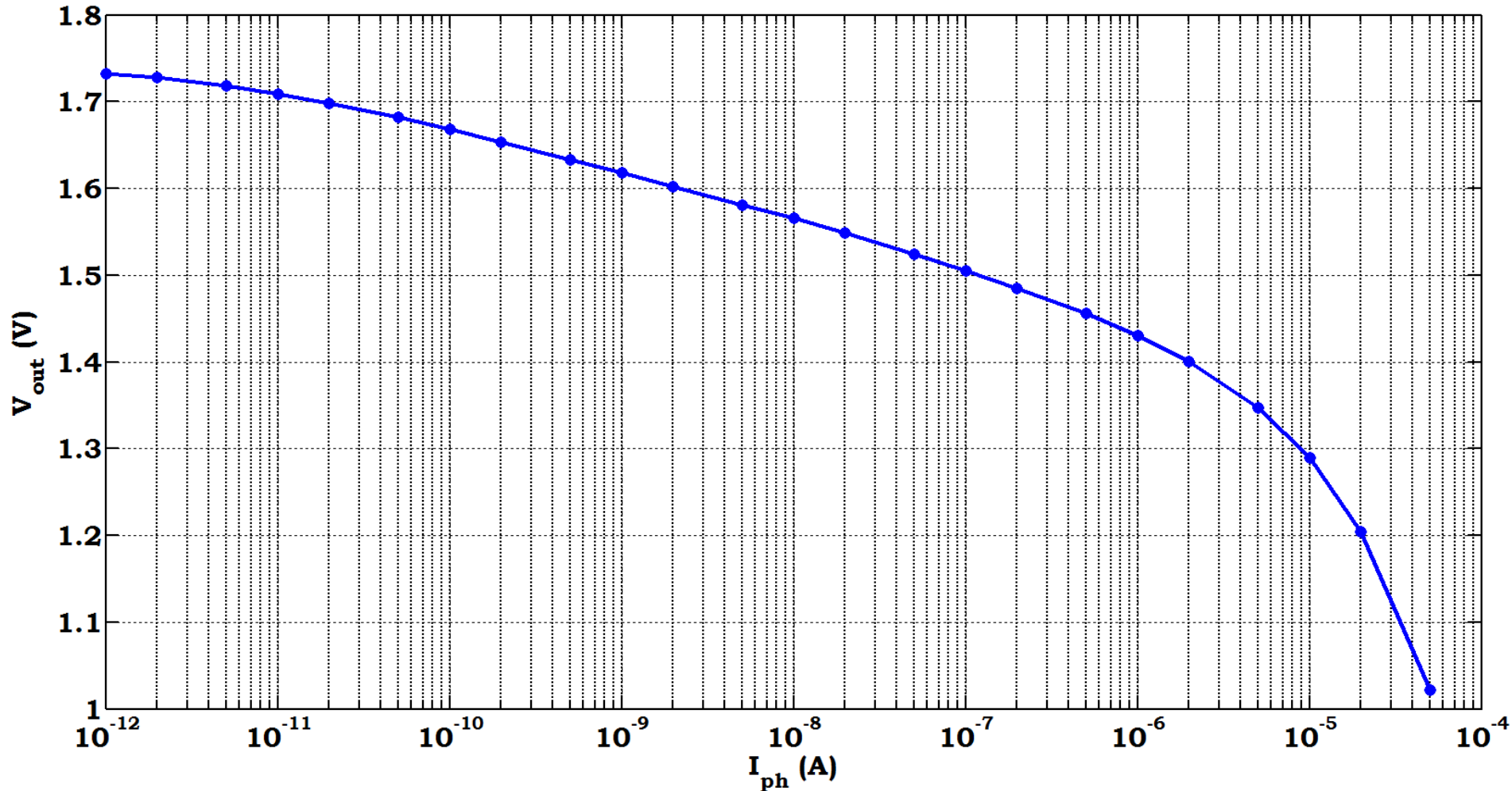
Operação em modo “sub-threshold”:

$$I_D \approx 1 \text{ nA}$$

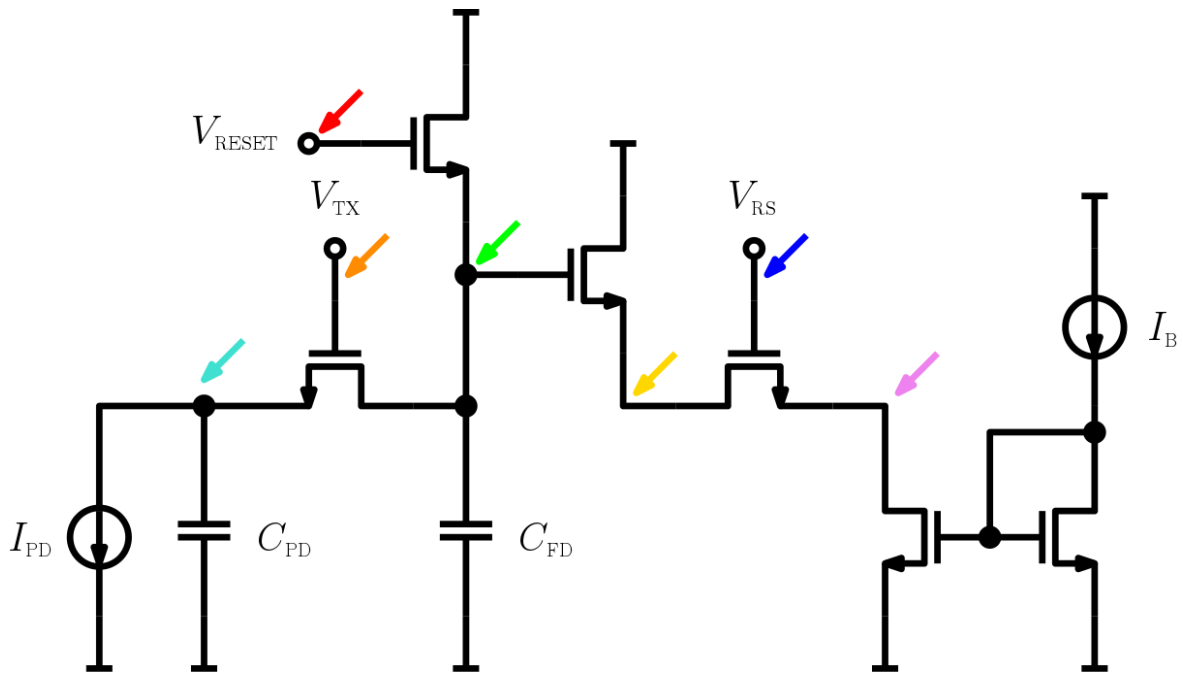
$$I_D = \alpha \exp((V_{DD} - V_{PD})/\beta)$$

$$V_{PD} = V_{DD} - \beta \ln(I_D/\alpha)$$

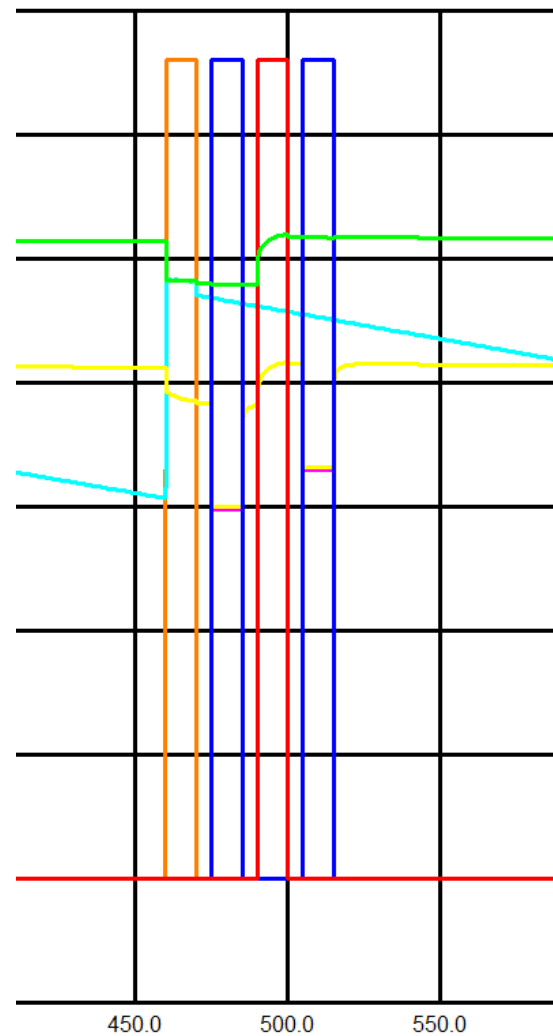
PIXEL LOGARÍTMICO



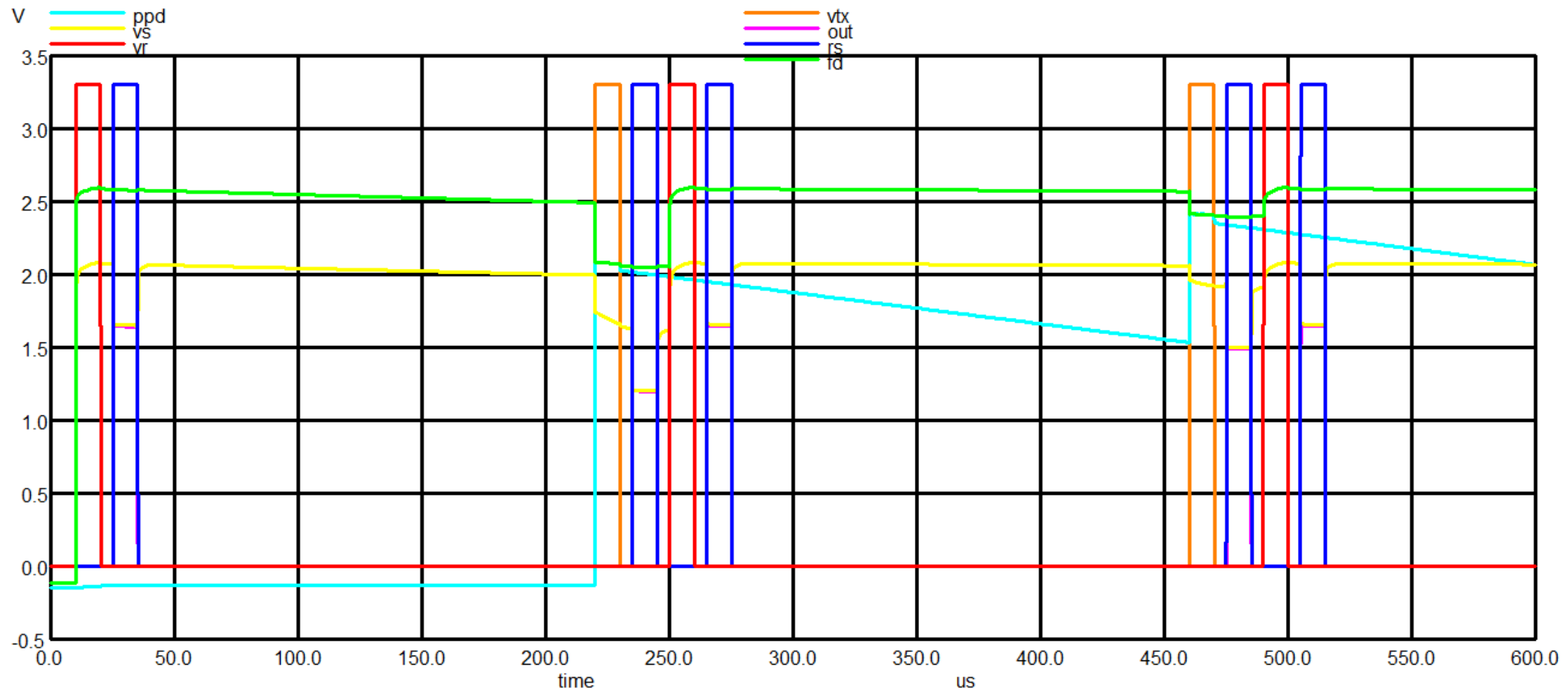
PIXEL “4T” SEM PPD



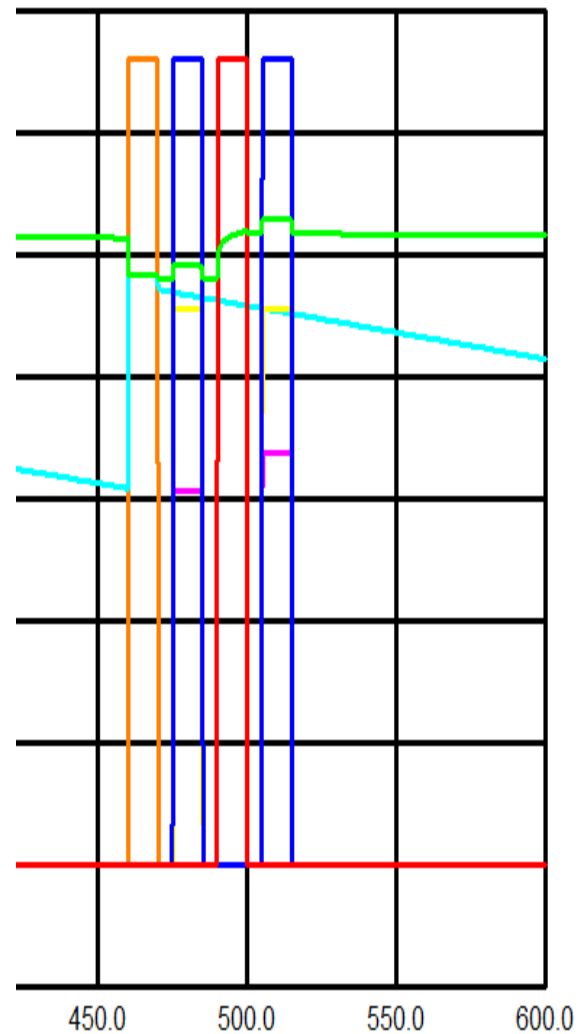
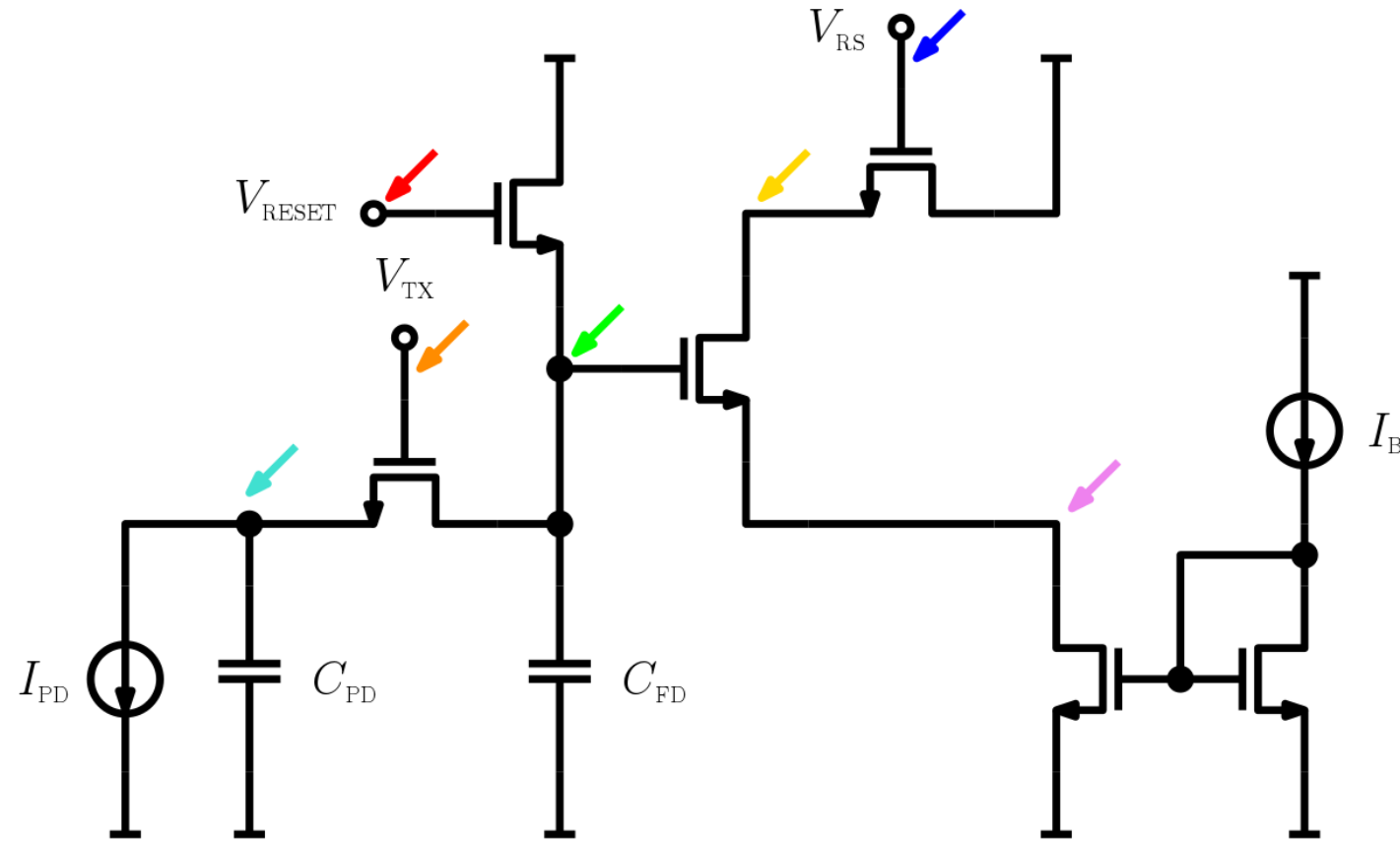
Tecnologia $0.35 \mu\text{m}$, $C_{PD} = 10 \text{ fF}$, $I_{ph} = 20 \text{ pA}$, $C_{FD} = 50 \text{ fF}$, $I_B = 2 \mu\text{A}$



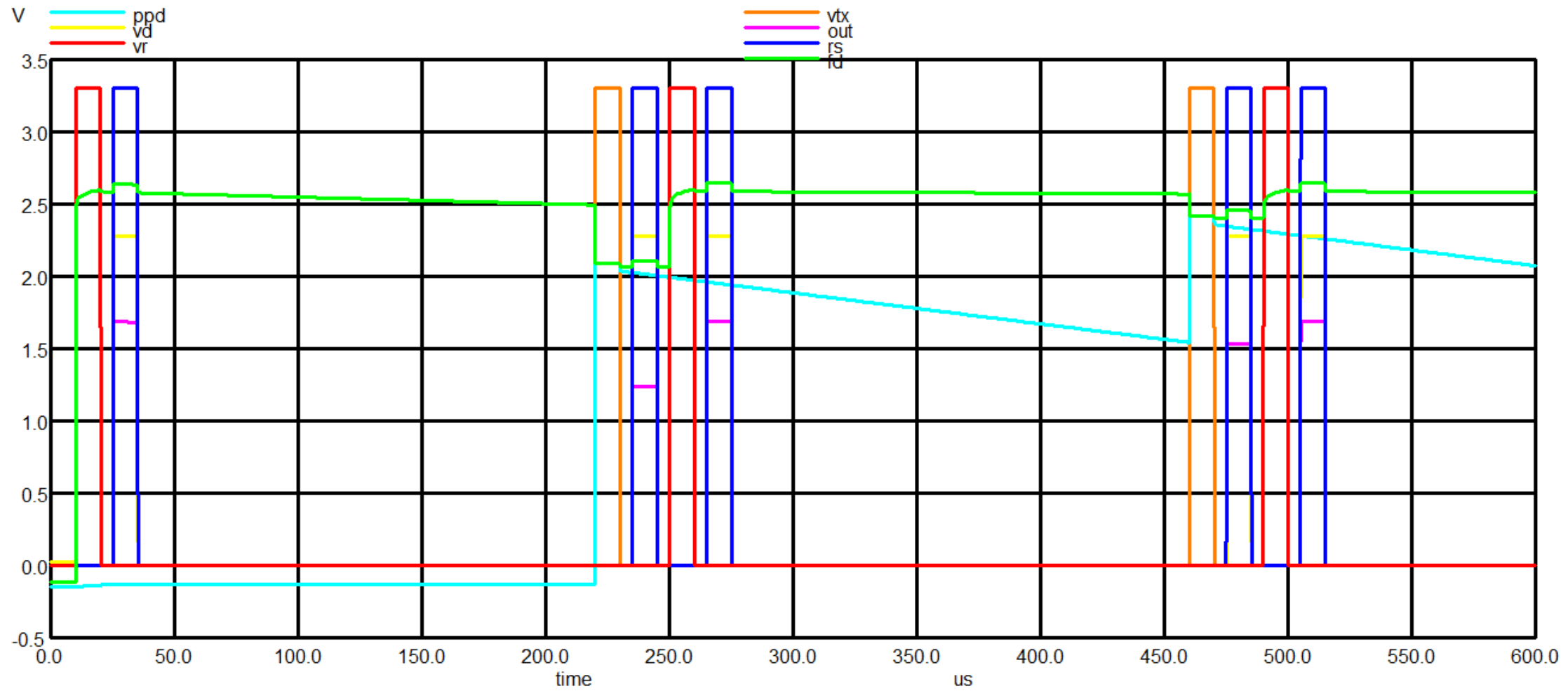
PIXEL “4T” SEM PPD



BOOSTING (TAMBÉM PARA PIXEL 3T)

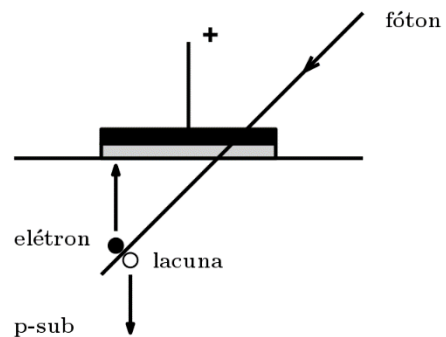


BOOSTING (TAMBÉM PARA PIXEL 3T)

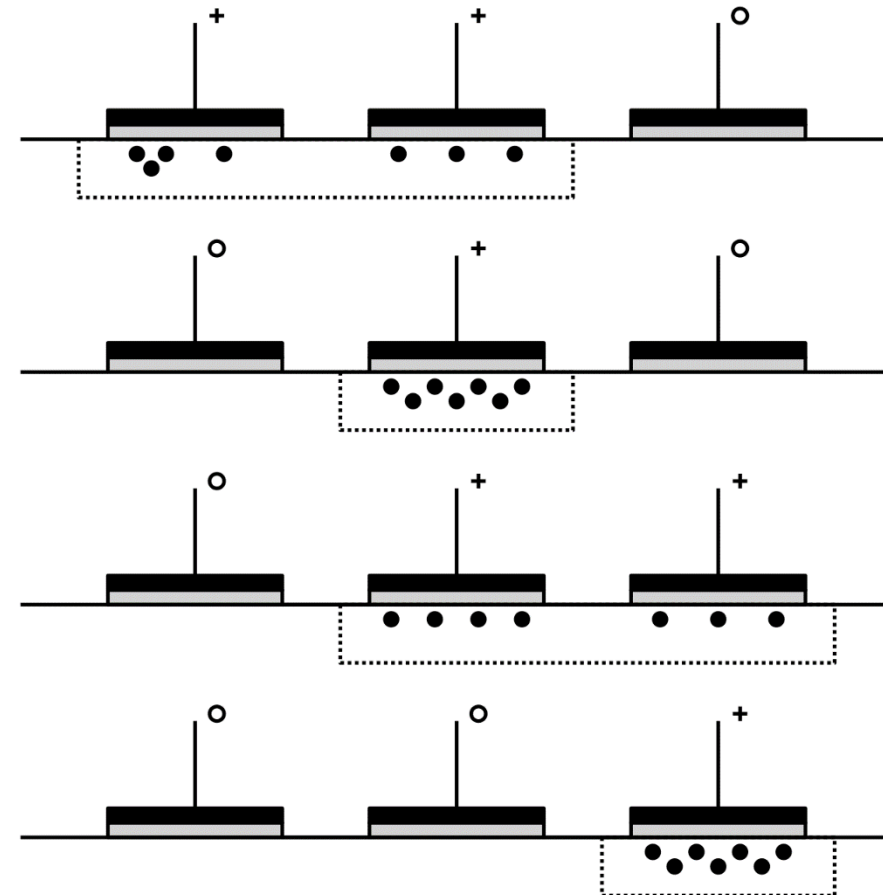


CHARGE-COUPLED DEVICE (CCD)

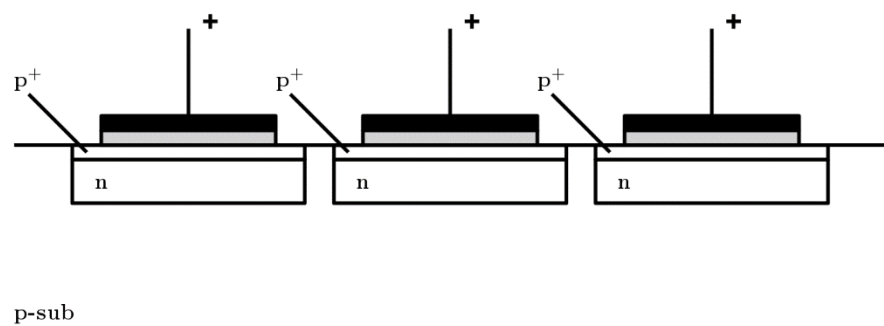
Capacitor MIS (metal-insulator-silicon):



Transferência de carga (CCD de três fases):

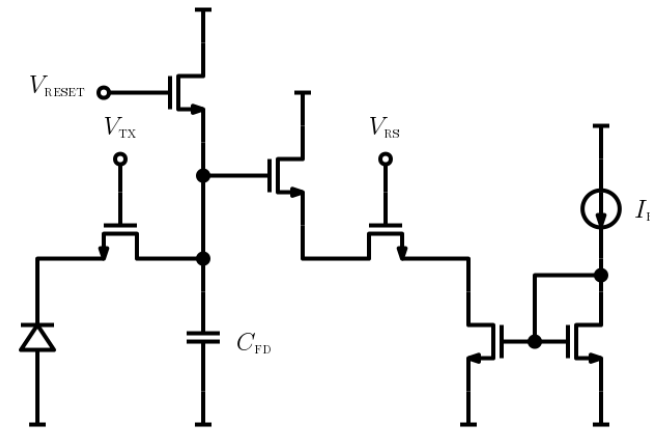
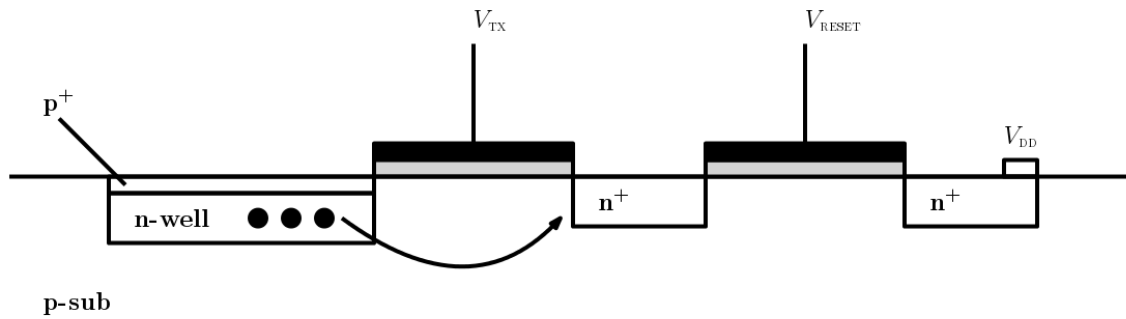


Implante p^+ aumenta enormemente a eficiência da transferência de carga:

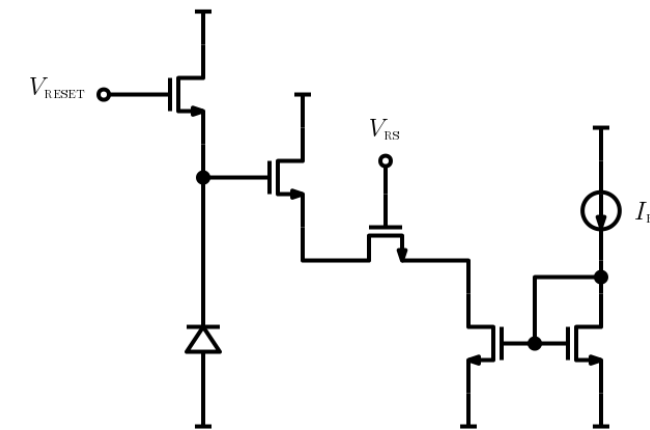
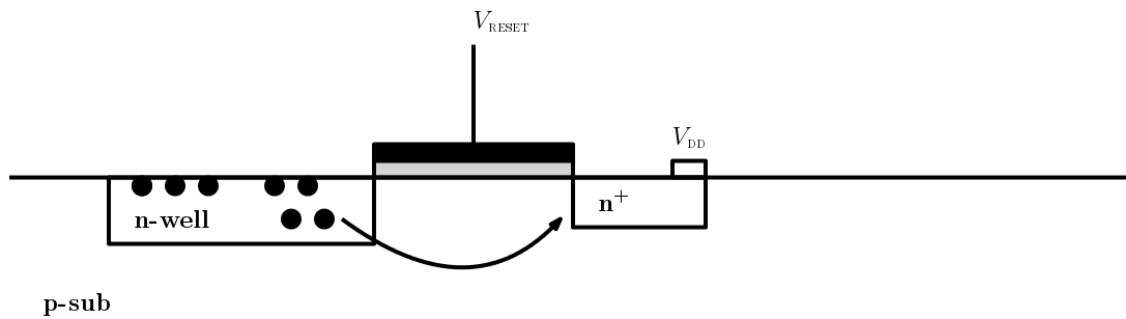


PIXEL 4T – PINNED PHOTODIODE (PPD)

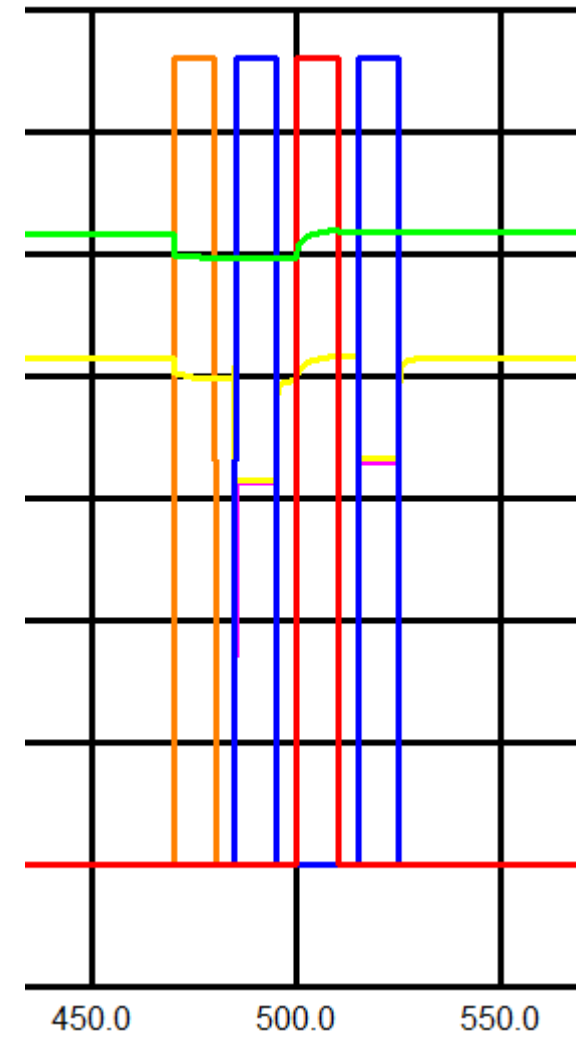
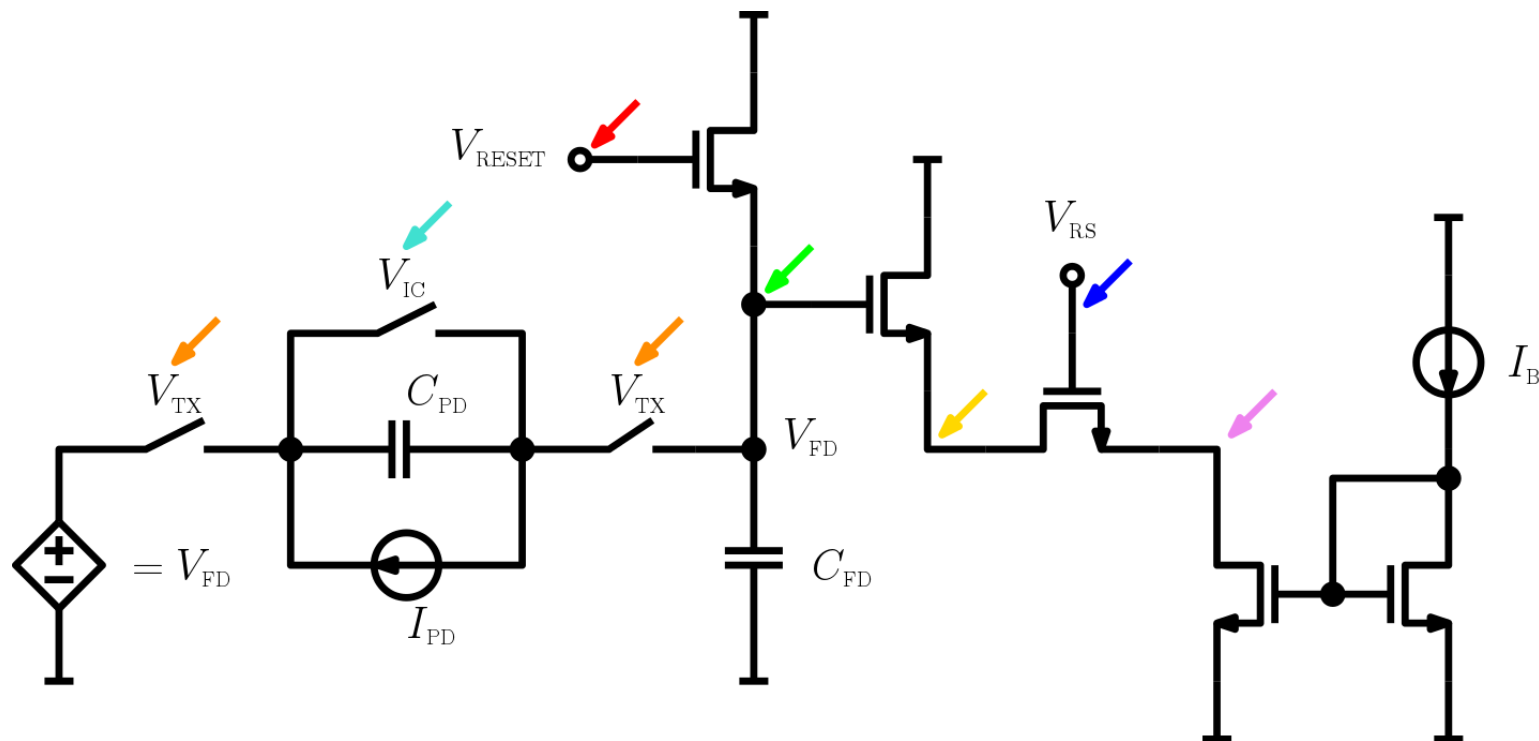
No PPD, a transferência de carga é completa (todo o poço é esvaziado):



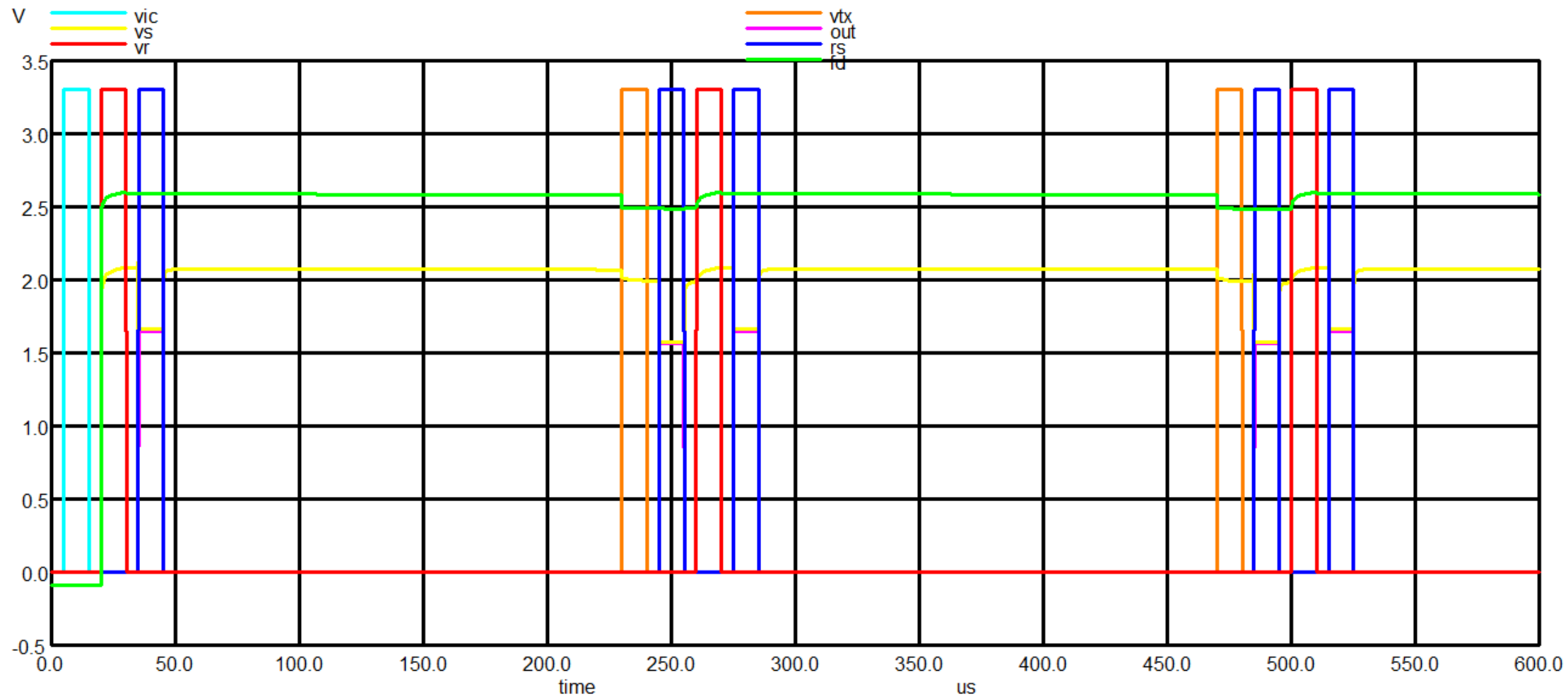
No fotodiodo comum (n-well/p-sub), ocorre perda de portadoras de carga devido a estados de interface:



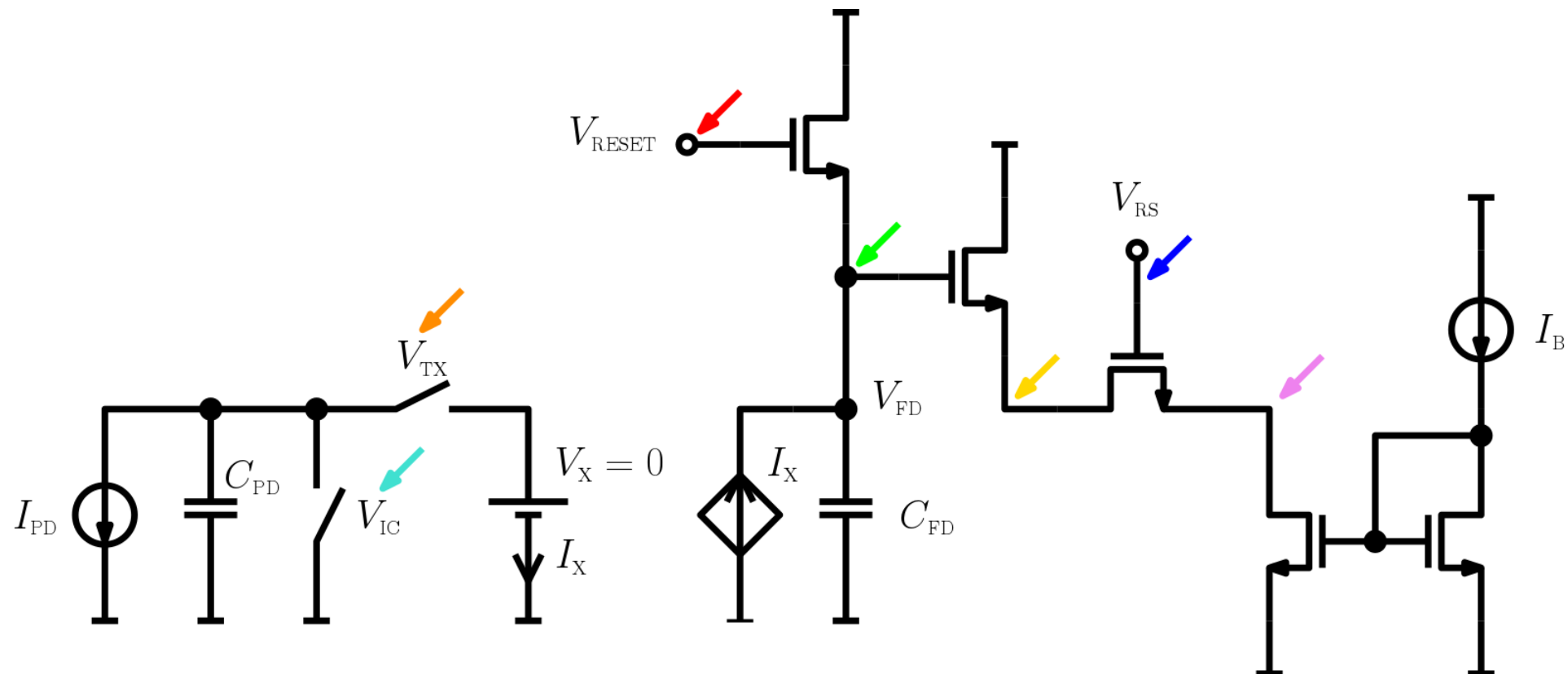
PIXEL 4T – PINNED PHOTODIODE (PPD)



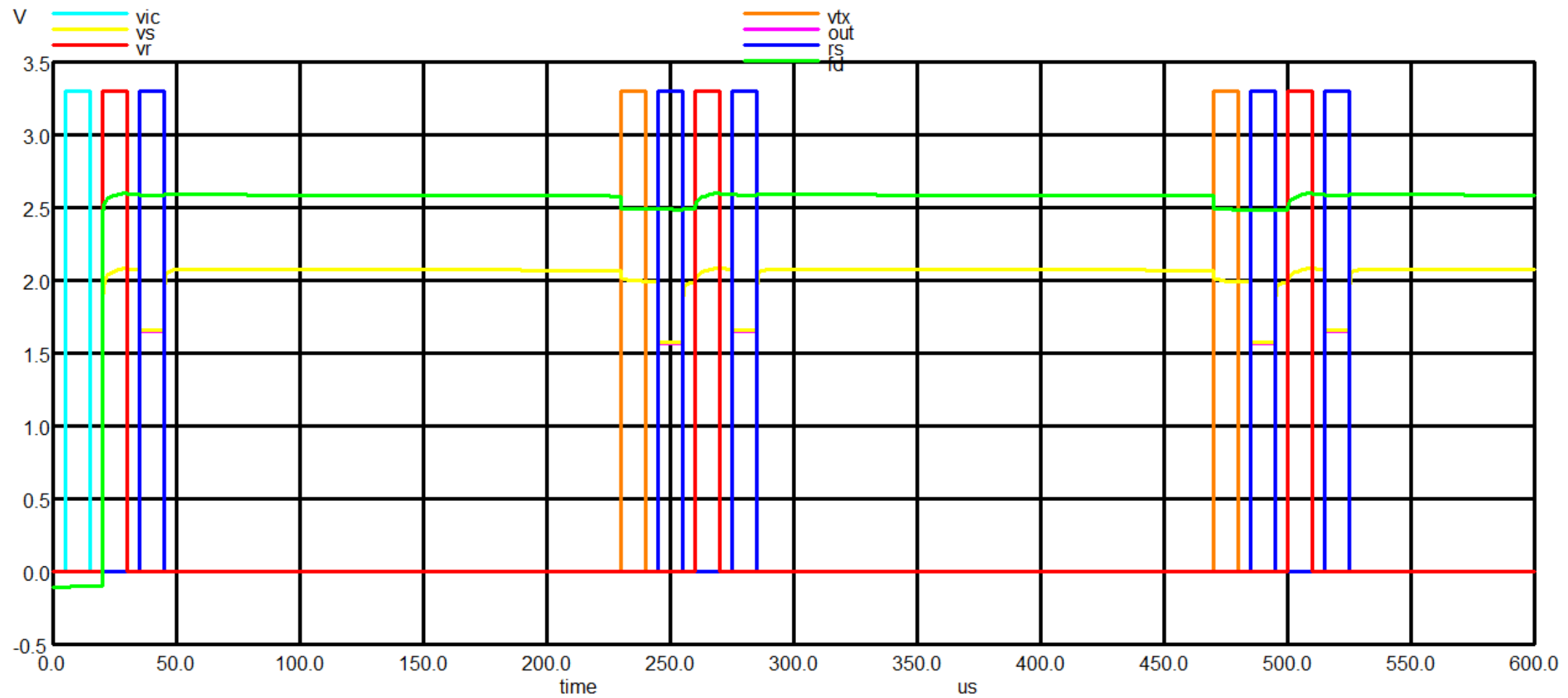
PIXEL 4T – PINNED PHOTODIODE (PPD)



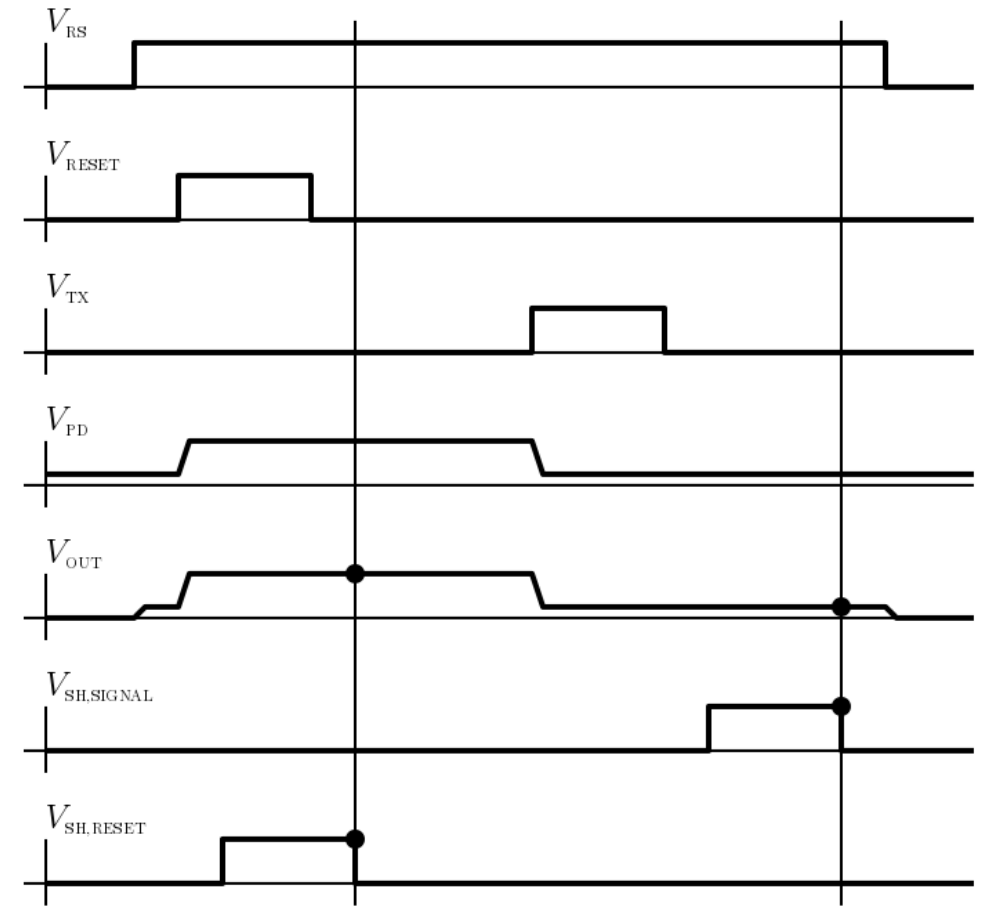
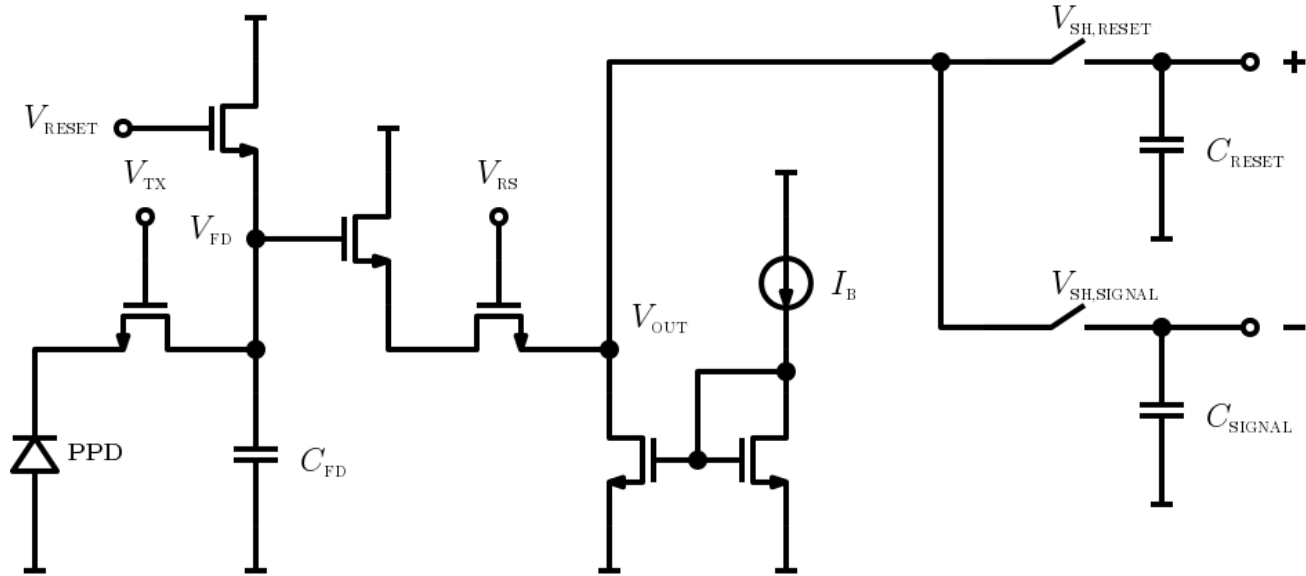
PIXEL 4T – PINNED PHOTODIODE (PPD)



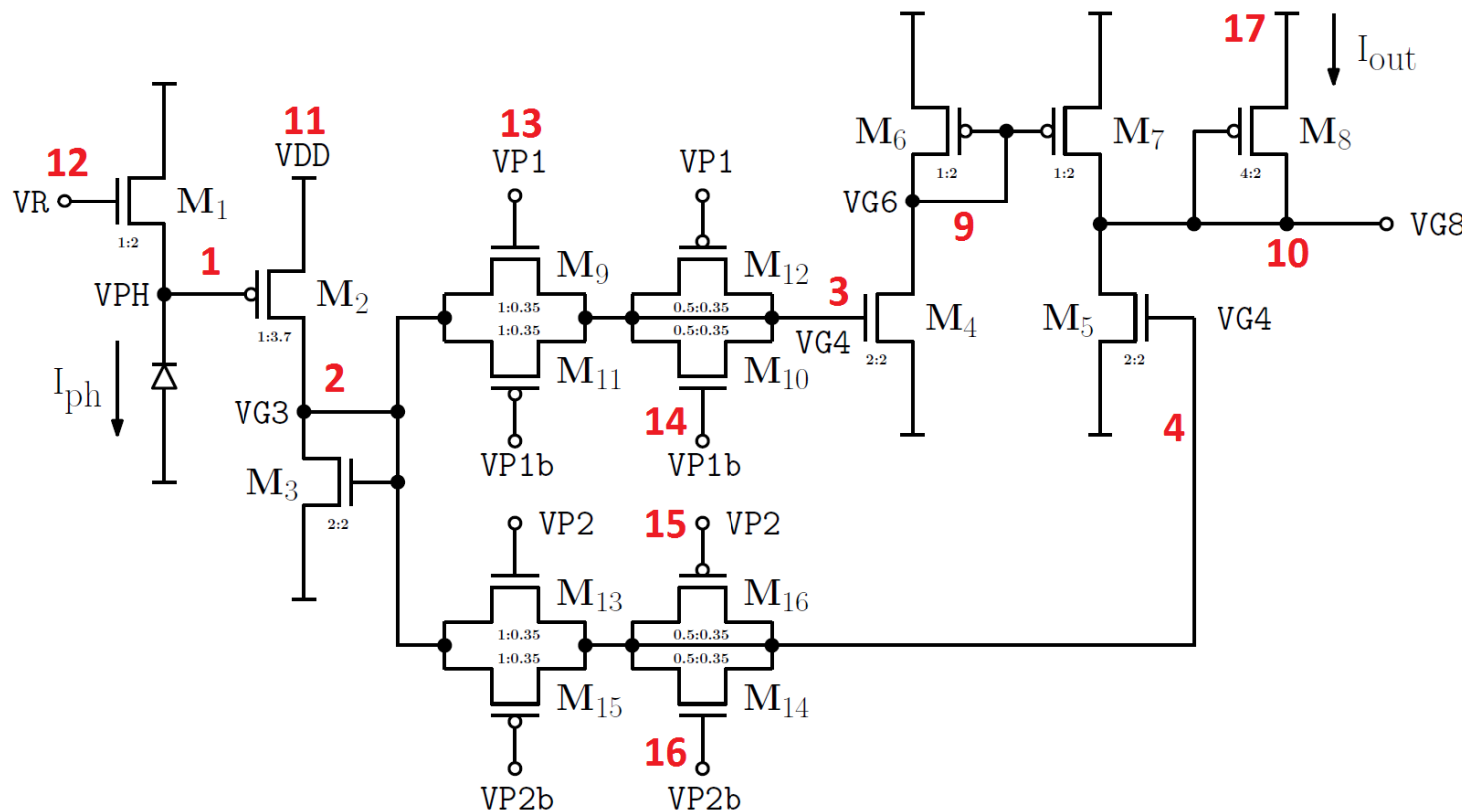
PIXEL 4T – PINNED PHOTODIODE (PPD)



4T E AMOSTRAGEM DUPLA CORRELACIONADA

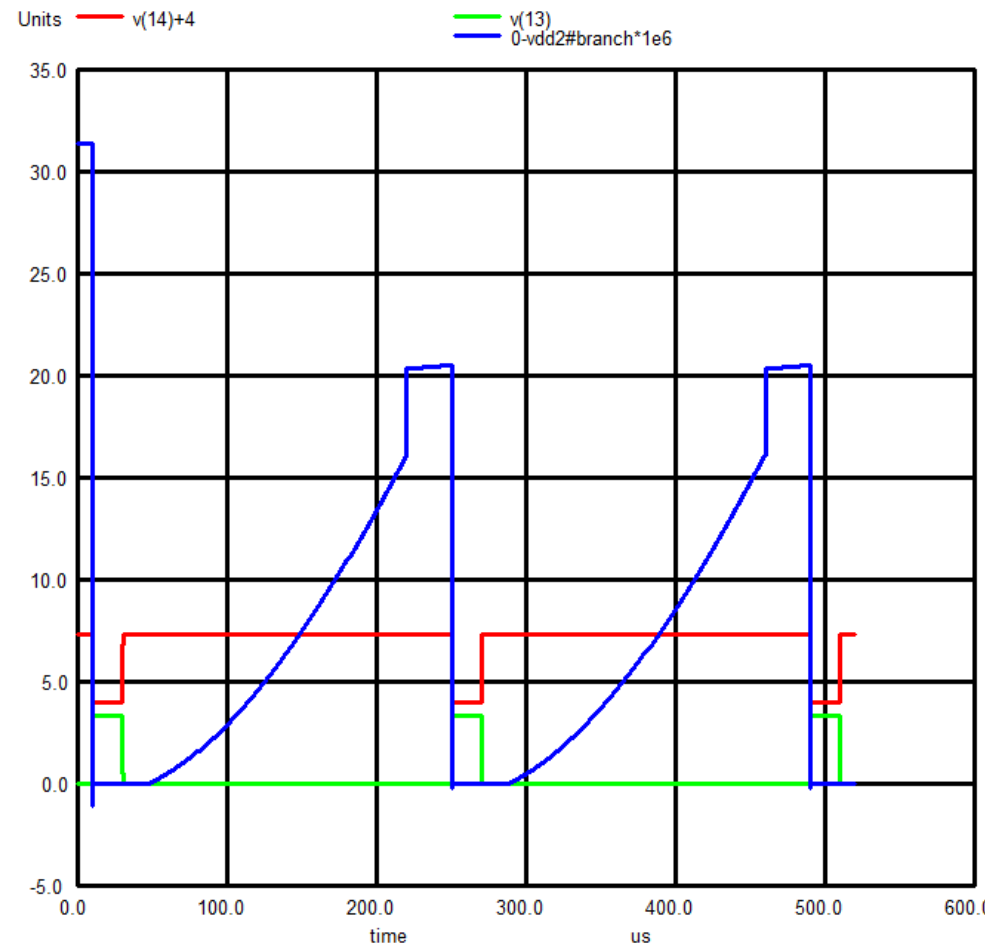


PIXEL EM MODO DE CORRENTE

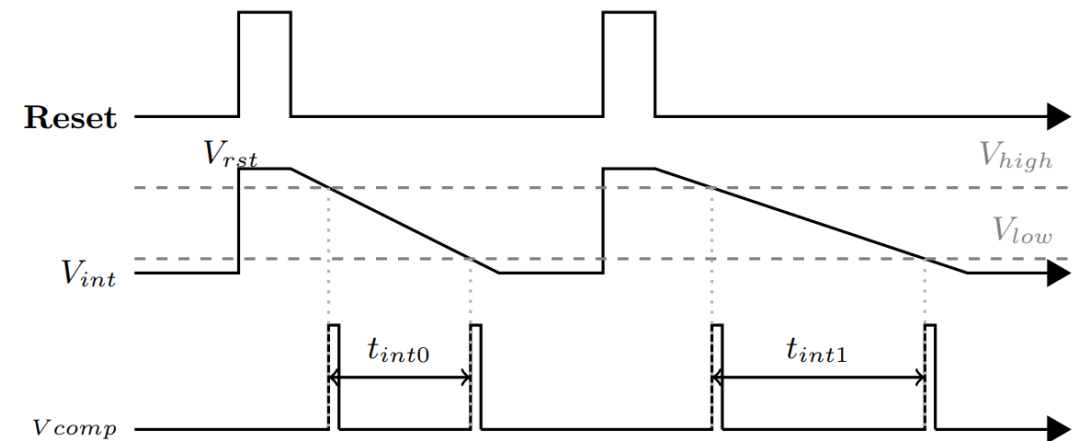
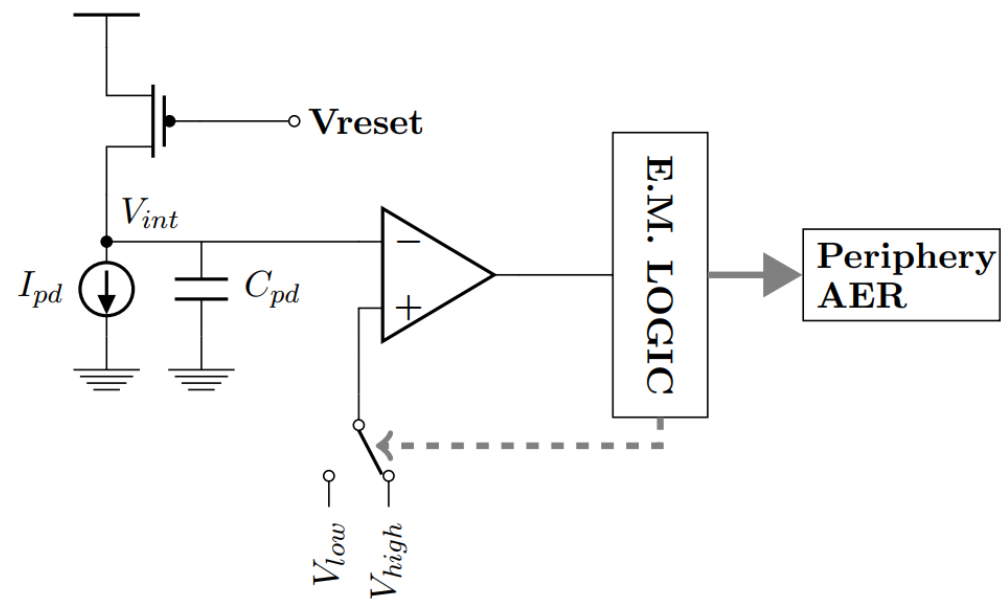


M1	11	12	1	0	MODN	W=1u	L=2u
M2	11	1	2	11	MODP	W=1u	L=3.7u
M3	2	2	0	0	MODN	W=2u	L=2u
M4	9	3	0	0	MODN	W=2u	L=2u
M5	10	4	0	0	MODN	W=2u	L=2u
M6	11	9	9	11	MODP	W=1u	L=2u
M7	11	9	10	11	MODP	W=1u	L=2u
M8	17	10	10	11	MODP	W=4u	L=2u
M9	2	13	3	0	MODN	W=1u	L=.35u
M10	3	14	3	0	MODN	W=0.5u	L=.35u
M11	2	14	3	11	MODP	W=1u	L=.35u
M12	3	13	3	11	MODP	W=0.5u	L=.35u
M13	2	15	4	0	MODN	W=1u	L=.35u
M14	4	16	4	0	MODN	W=0.5u	L=.35u
M15	2	16	4	11	MODP	W=1u	L=.35u
M16	4	15	4	11	MODP	W=0.5u	L=.35u
CP	1	0				10f	
IP	1	0				200p	
VDD	11	0				3.3	
VR	12	0			PULSE	0 3.3	10u 100n 100n 10u 240u
VP1	13	0			PULSE	0 3.3	10u 100n 100n 20u 240u
VP1b	14	0			PULSE	3.3 0	10u 100n 100n 20u 240u
VP2	15	0			PULSE	0 3.3	10u 100n 100n 210u 240u
VP2b	16	0			PULSE	3.3 0	10u 100n 100n 210u 240u
VDD2	17	0			3.3		

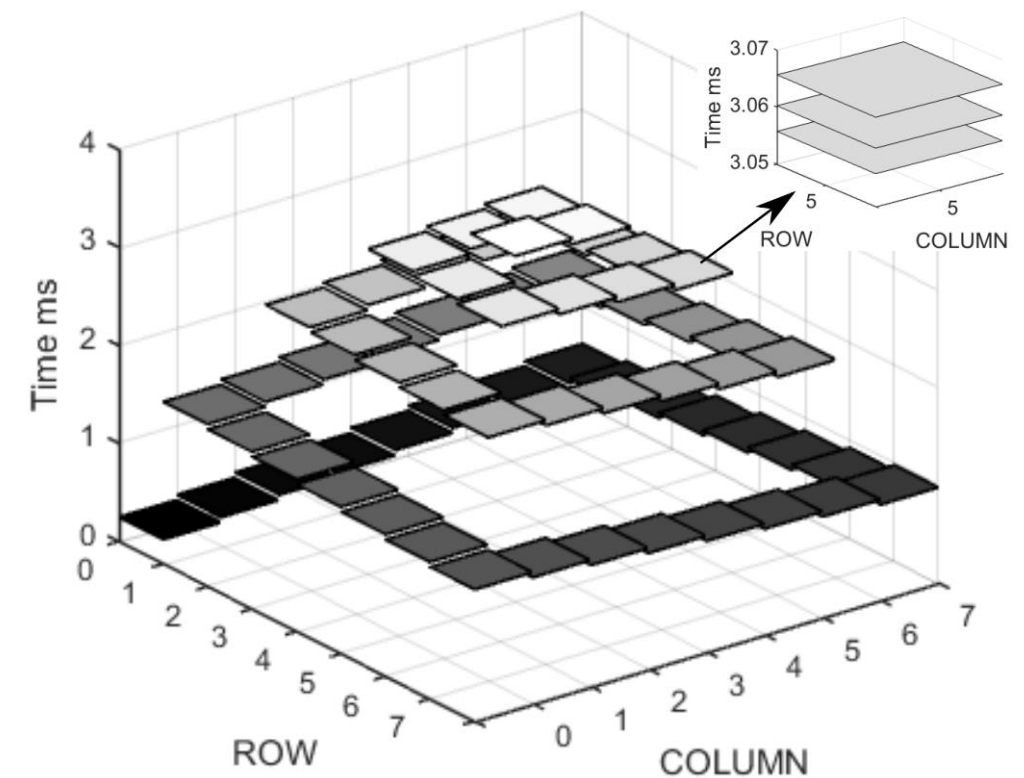
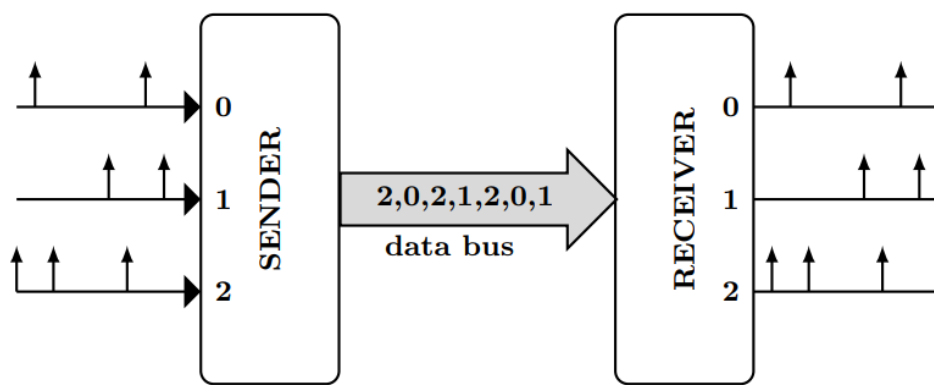
PIXEL EM MODO DE CORRENTE



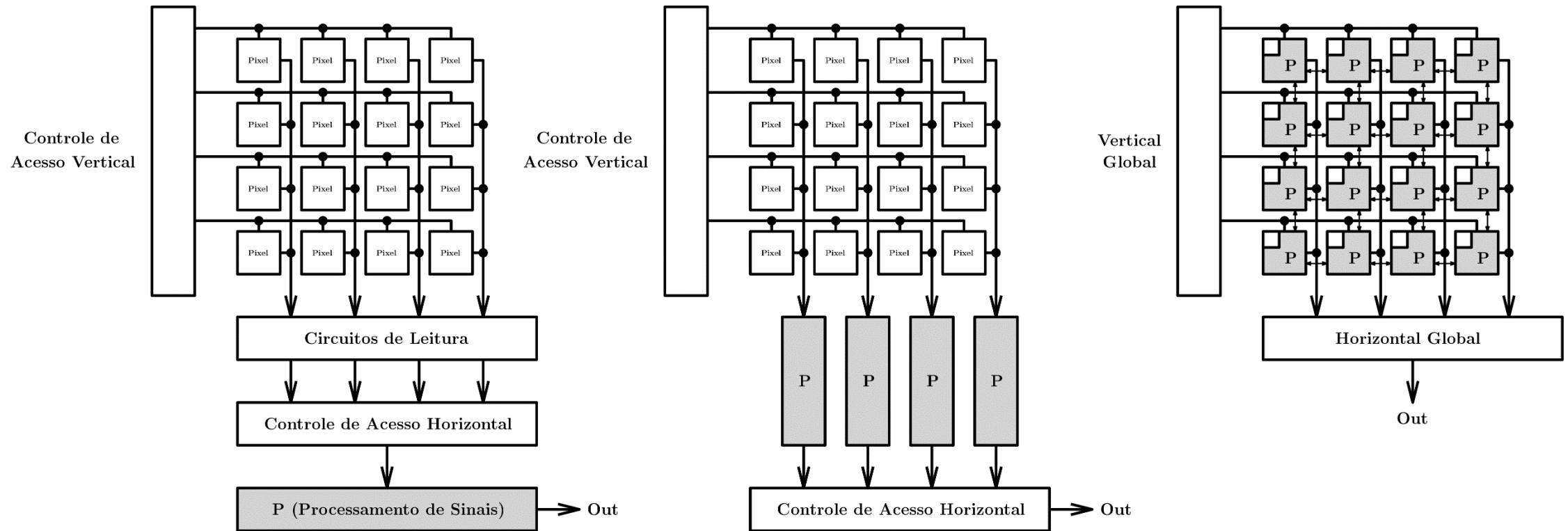
PIXEL PULSADO



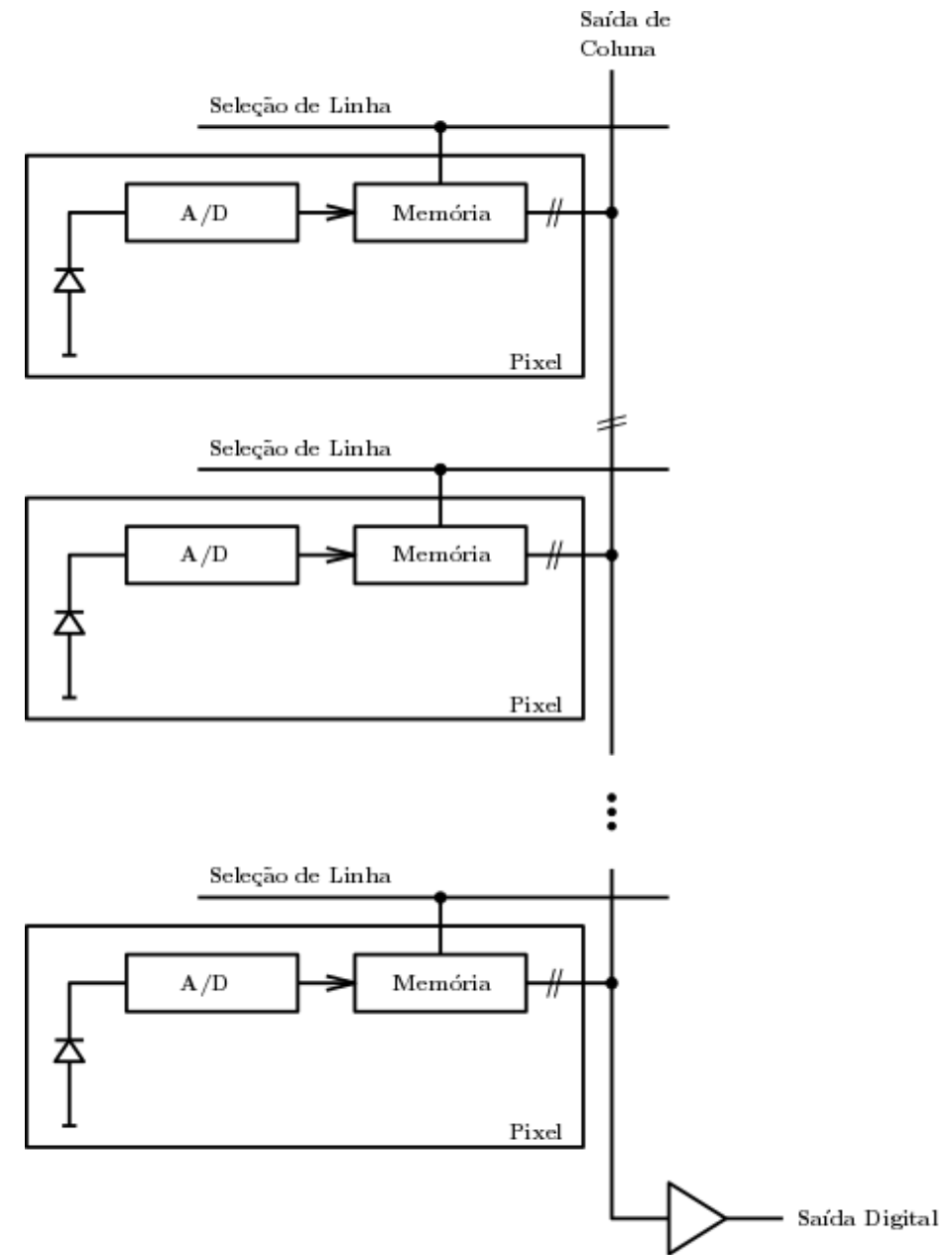
PIXEL PULSADO



PROCESSAMENTO DE IMAGENS NO PLANO FOCAL



CONVERSÃO A/D NO PIXEL



CONCLUSÕES

- **Pixels básicos: 3T, logarítmico, 4T, modo de corrente, pulsado**
- **Processamento de imagens no plano focal (tipos)**
- **“Address-event representations” (AER), processamento de sinais “biomórficos”**
- **Visão computacional e redes neurais, aproveitando o paralelismo intrínseco**

REFERÊNCIAS

- **J. Ohta, Smart CMOS Image Sensors and Applications, CRC Press, 2007.**
- **J. Nakamura (Editor), Image Sensors and Signal Processing for Digital Still Cameras, CRC Press, 2005.**
- **G. C. Holst e T. S. Lomheim, CMOS/CCD Sensors and Camera Systems, JCD Publishing and SPIE Press, 2007.**
- **A. N. Belbachir (Editor), Smart Cameras, Springer, 2010.**
- **T. Kuroda, Essential Principles of Image Sensors, CRC Press, 2017.**
- **S. Kleinfelder, S. Lim, X. Liu e A. El Gamal, A 10000 Frames/s CMOS Digital Pixel Sensor, IEEE J. Solid-State Circuits, vol. 36, no. 12, pp. 2049-2059, Dez. 2001.**
- **J. P. G. Ruiz, A Comparative Analysis of Dynamic Vision Sensors using 180 nm CMOS Technology, Dissertação de Mestrado, PEE/COPPE/UFRJ, 2017.**



OBRIGADO!

gabriel@pads.ufrj.br

PROCESSAMENTO DE IMAGENS NO PLANO FOCAL

José Gabriel Rodríguez Carneiro Gomes

EPOLI/DEL e COPPE/PEE

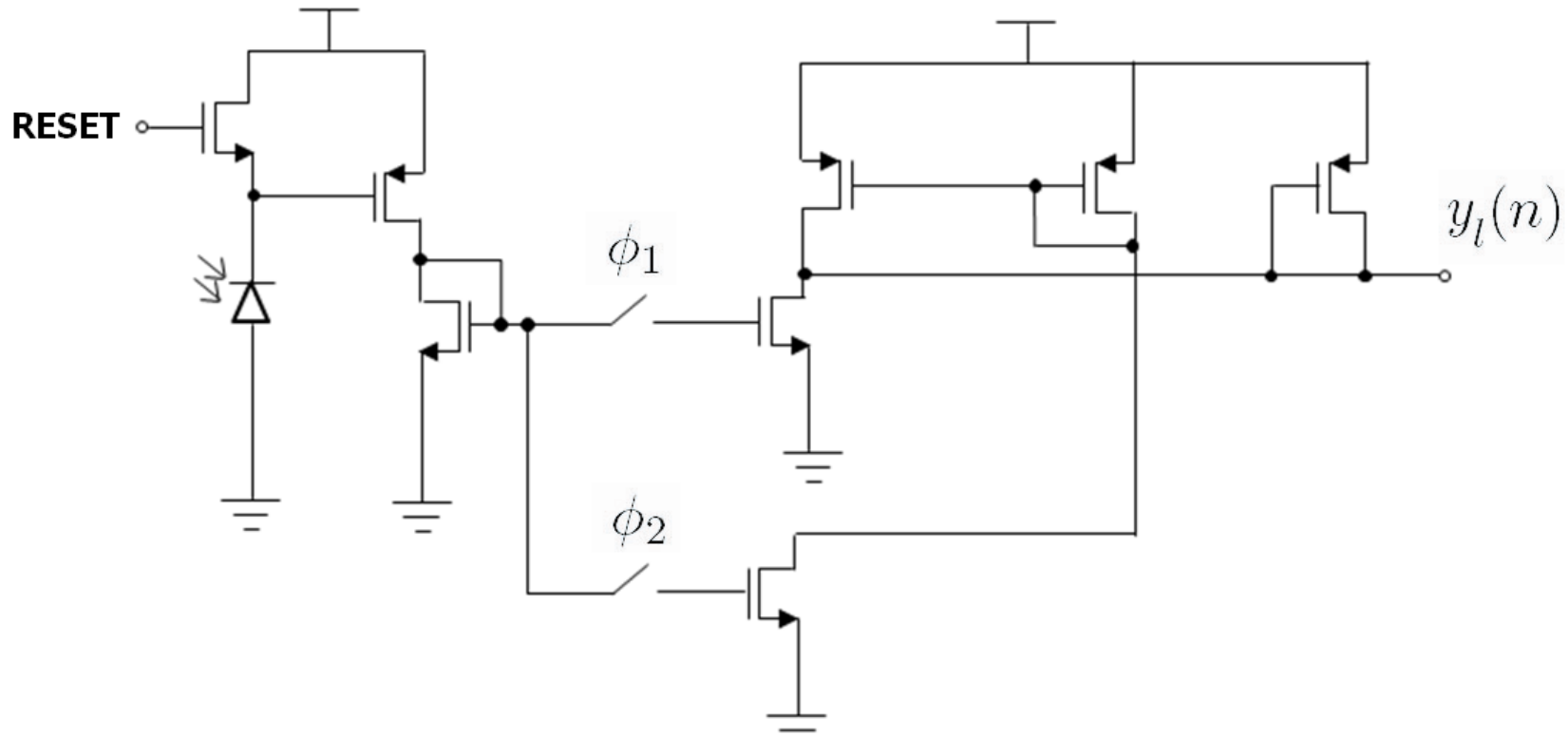
Universidade Federal do Rio de Janeiro

CONTEÚDO

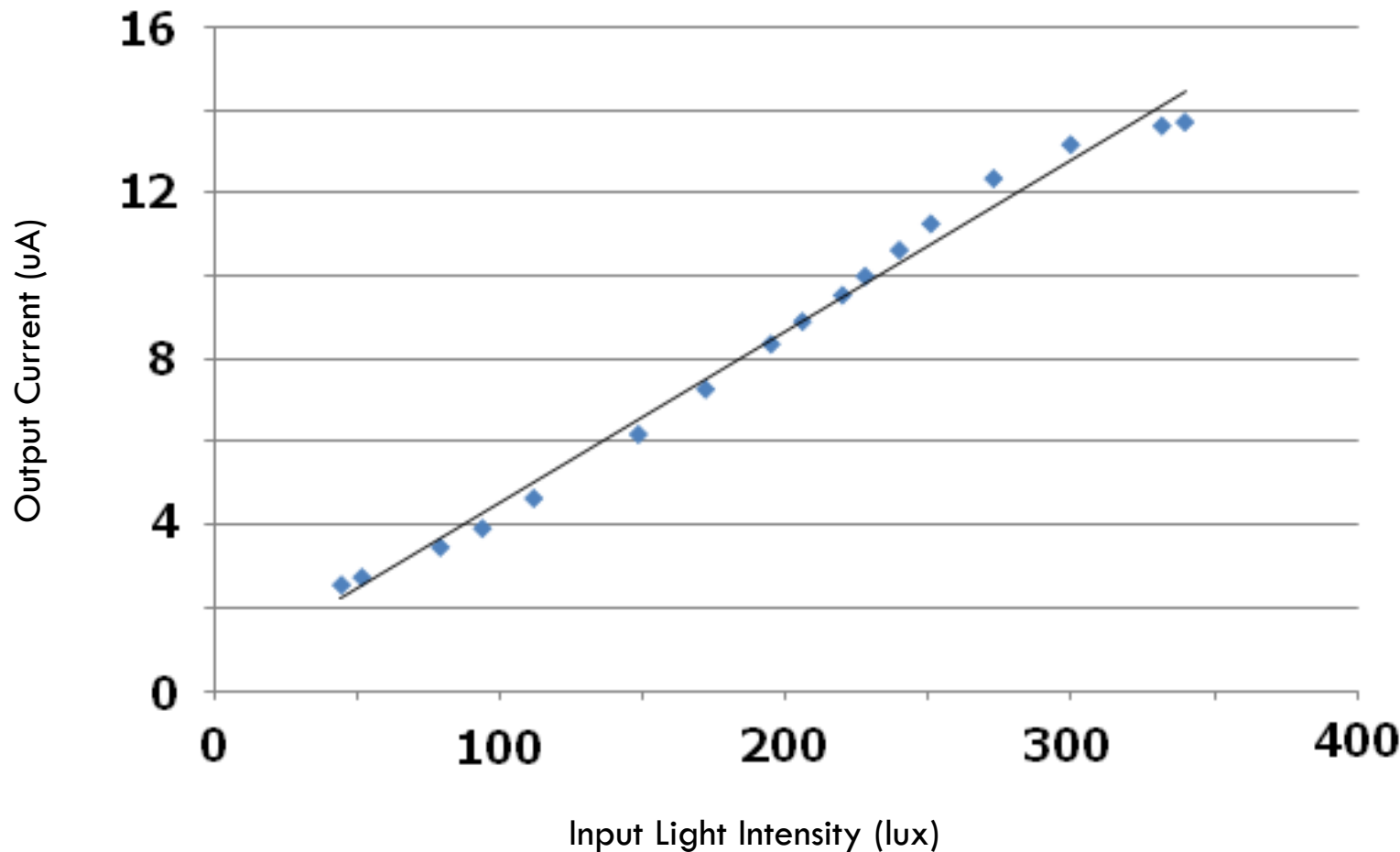
- Pixel em Modo de Corrente
- Operações Básicas
- Aplicações e Exemplos
- Tendências Futuras

PIXEL EM MODO DE CORRENTE

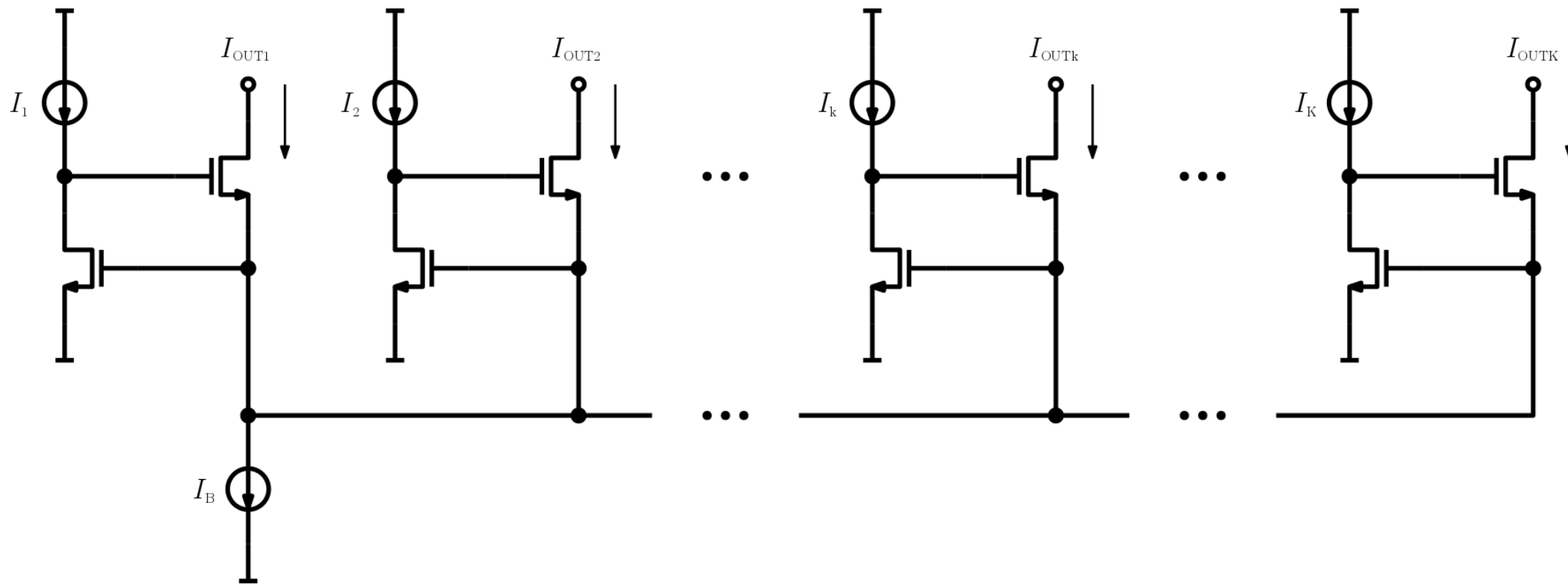
- Representação de sinais em modo adequado para execução de operações simples



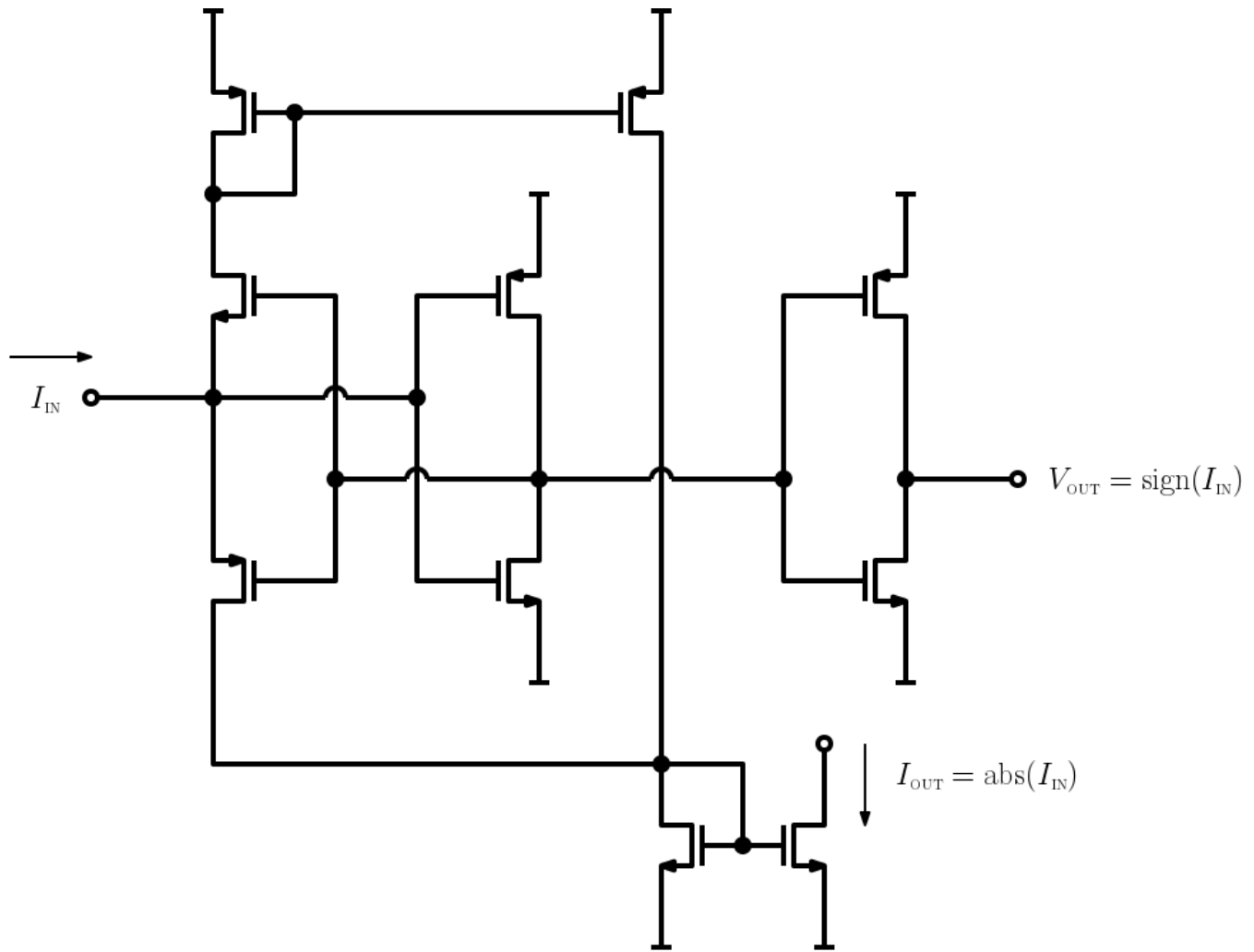
PIXEL EM MODO DE CORRENTE



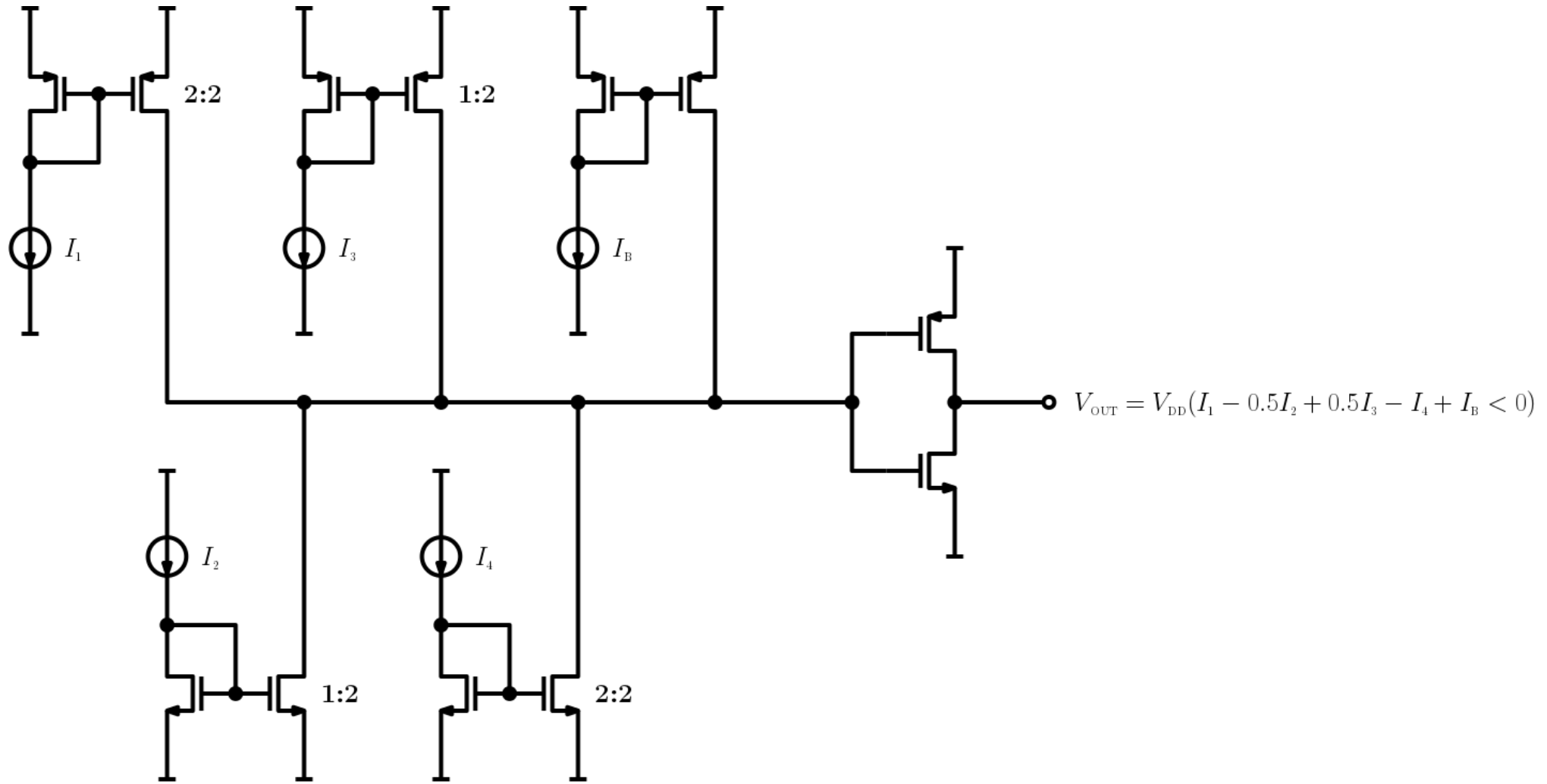
WINNER TAKES ALL



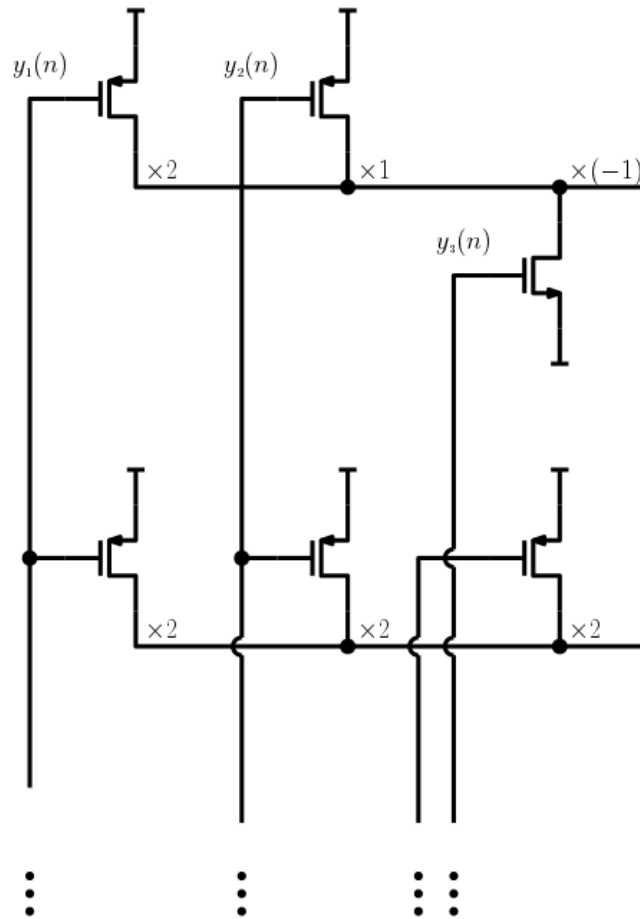
VALOR ABSOLUTO



PRODUTO INTERNO E COMPARADOR



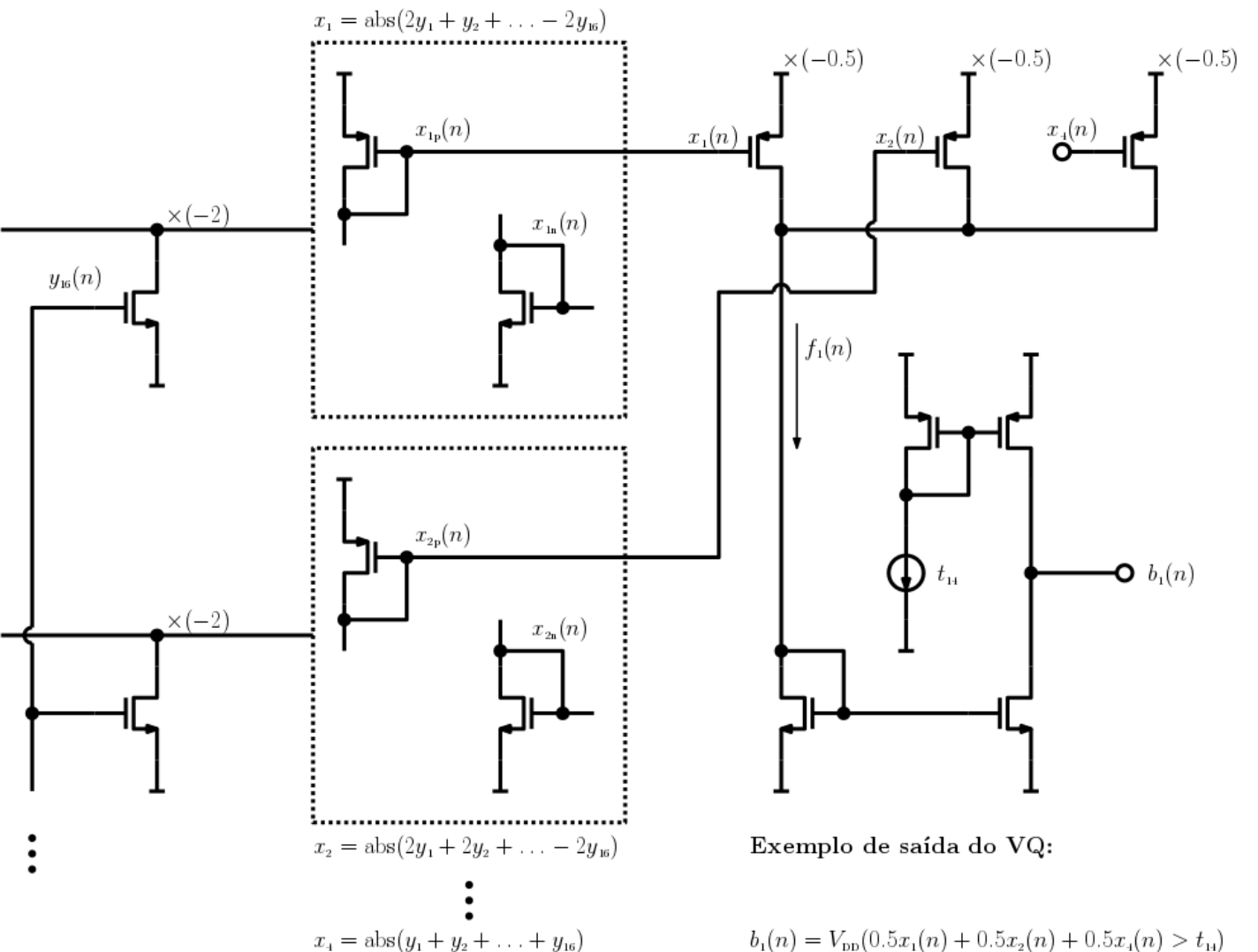
TRANSFORMADA LINEAR



...

...

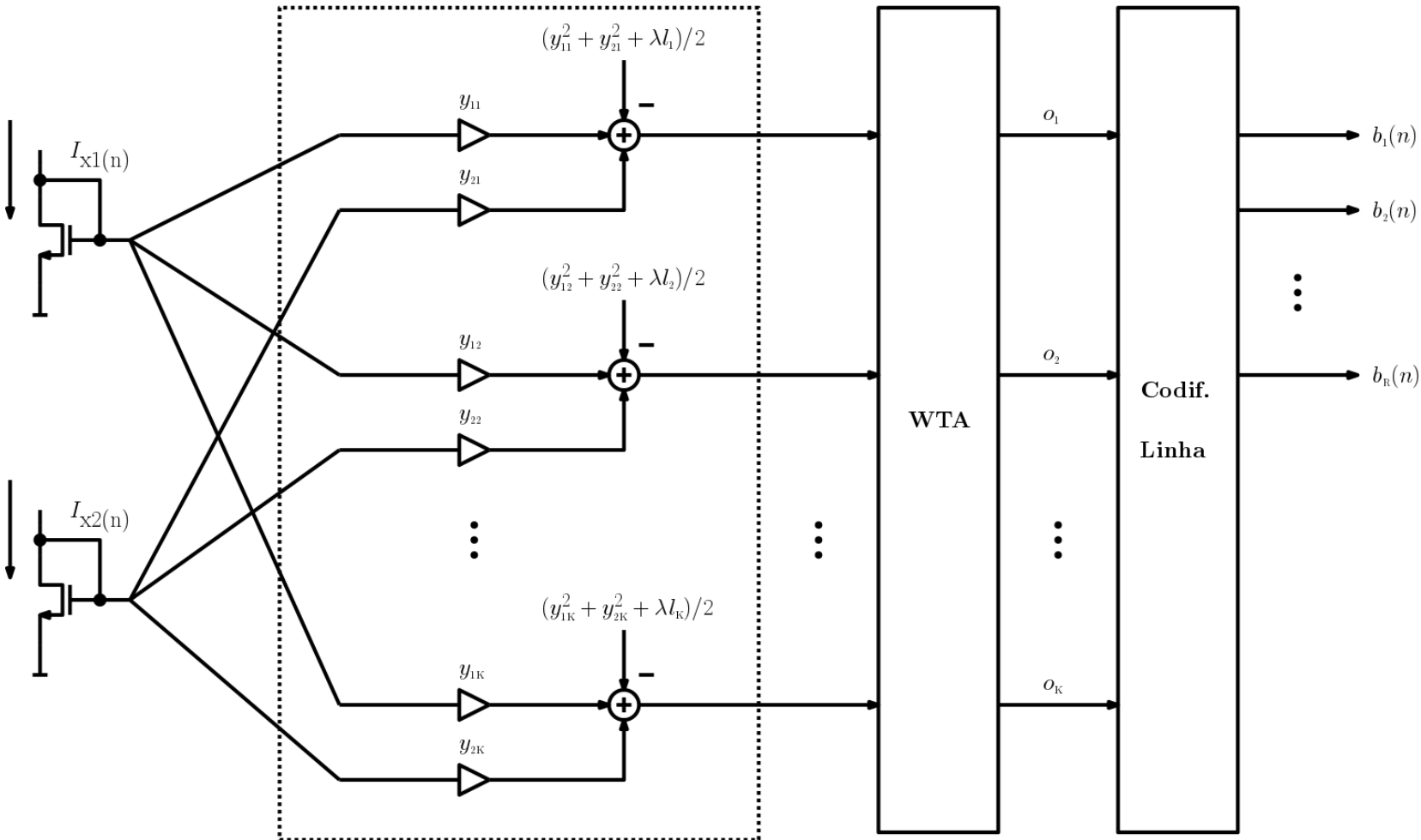
⋮



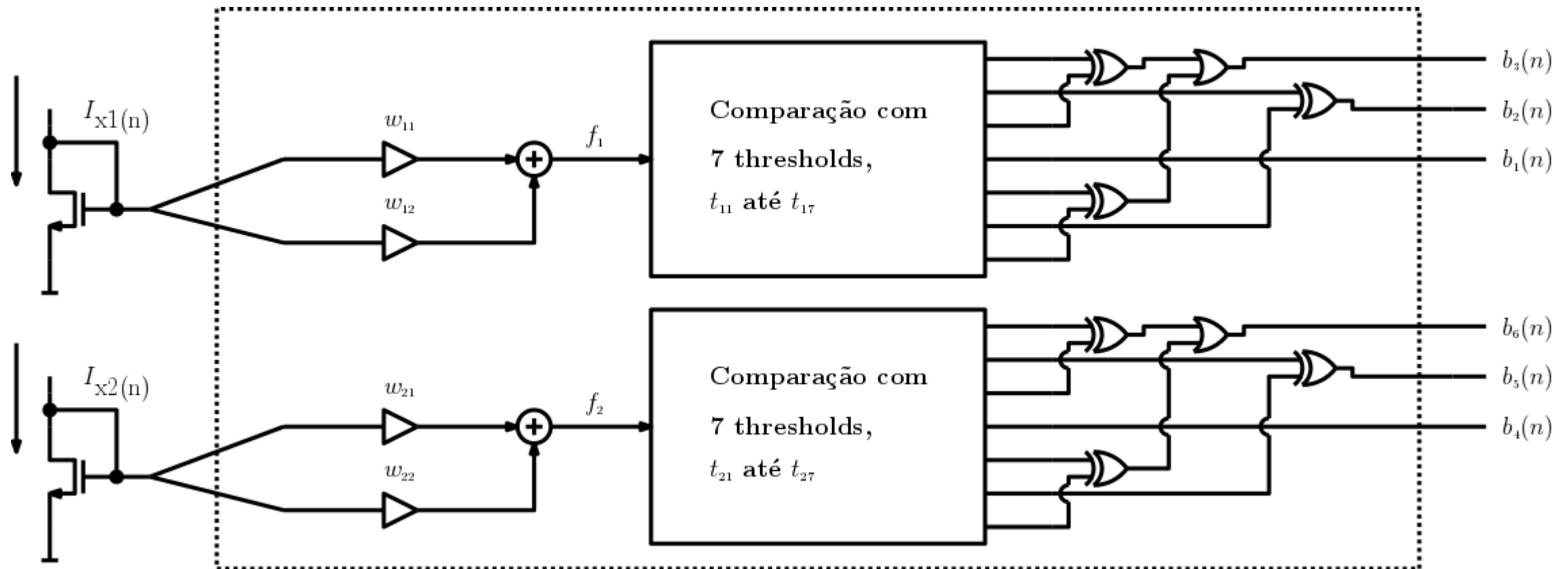
Exemplo de saída do VQ:

VQ COM RESTRIÇÃO DE ENTROPIA (ECVQ)

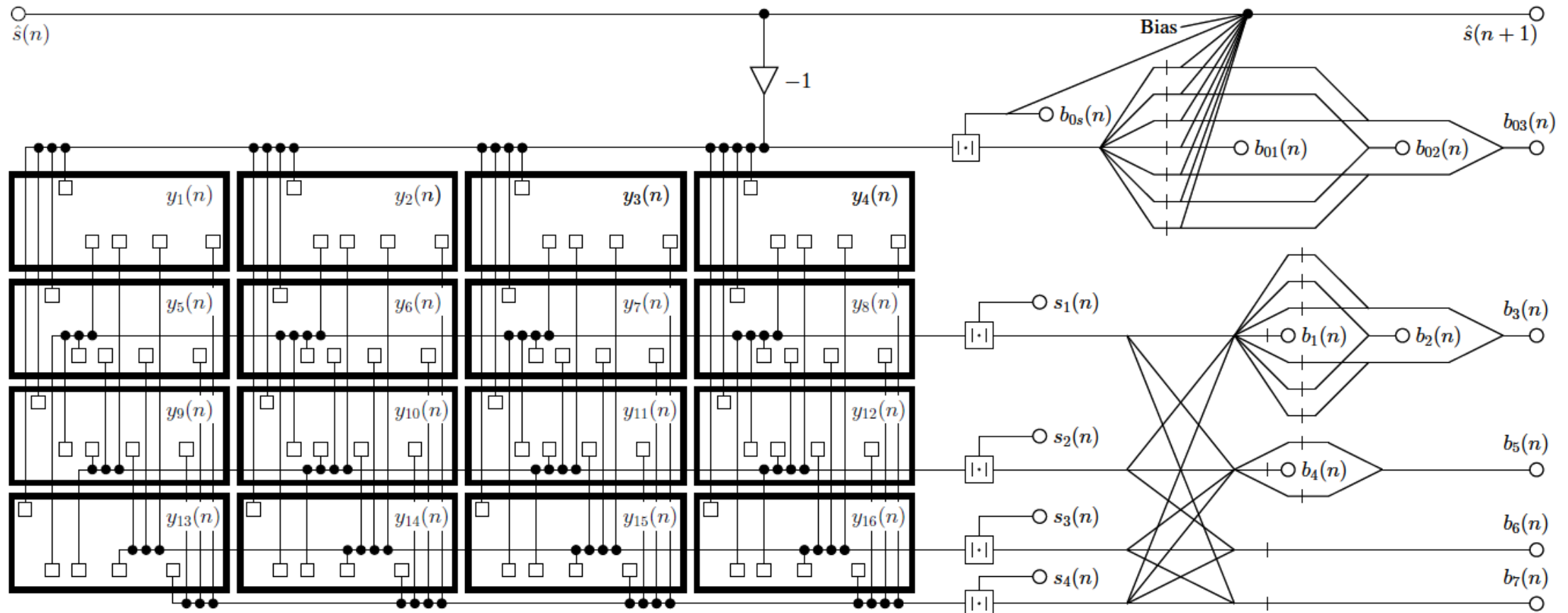
$$i(n) = \operatorname{argmin}_k(d(\mathbf{x}(n), \mathbf{y}_k) + \lambda l_k) = \operatorname{argmax}_k(-\mathbf{x}^T(n)\mathbf{x}(n) + 2\mathbf{x}^T\mathbf{y}_k - \mathbf{y}_j^T\mathbf{y}_k - \lambda l_k)$$



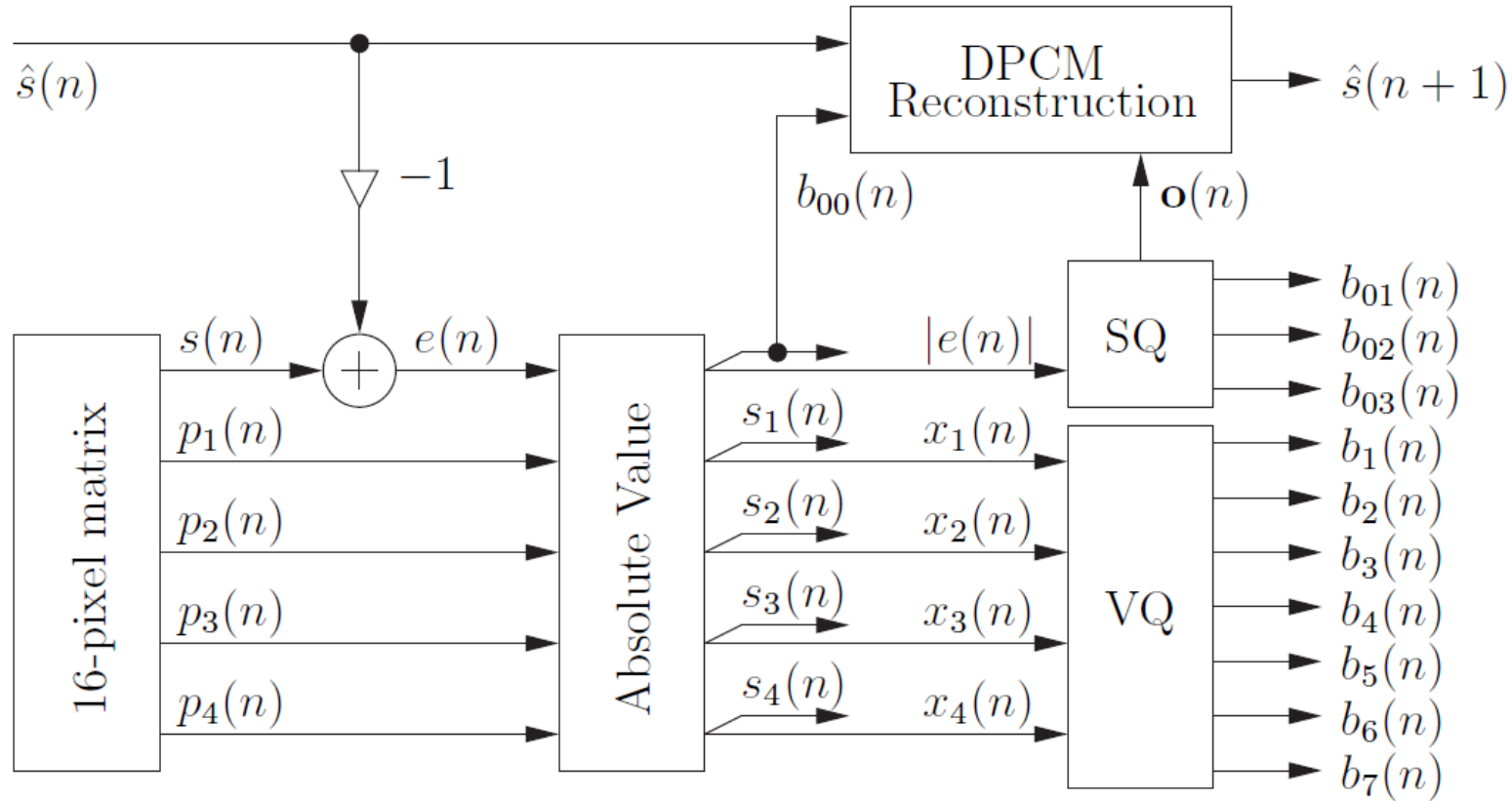
ECVQ COM RESTRIÇÃO DE COMPLEXIDADE



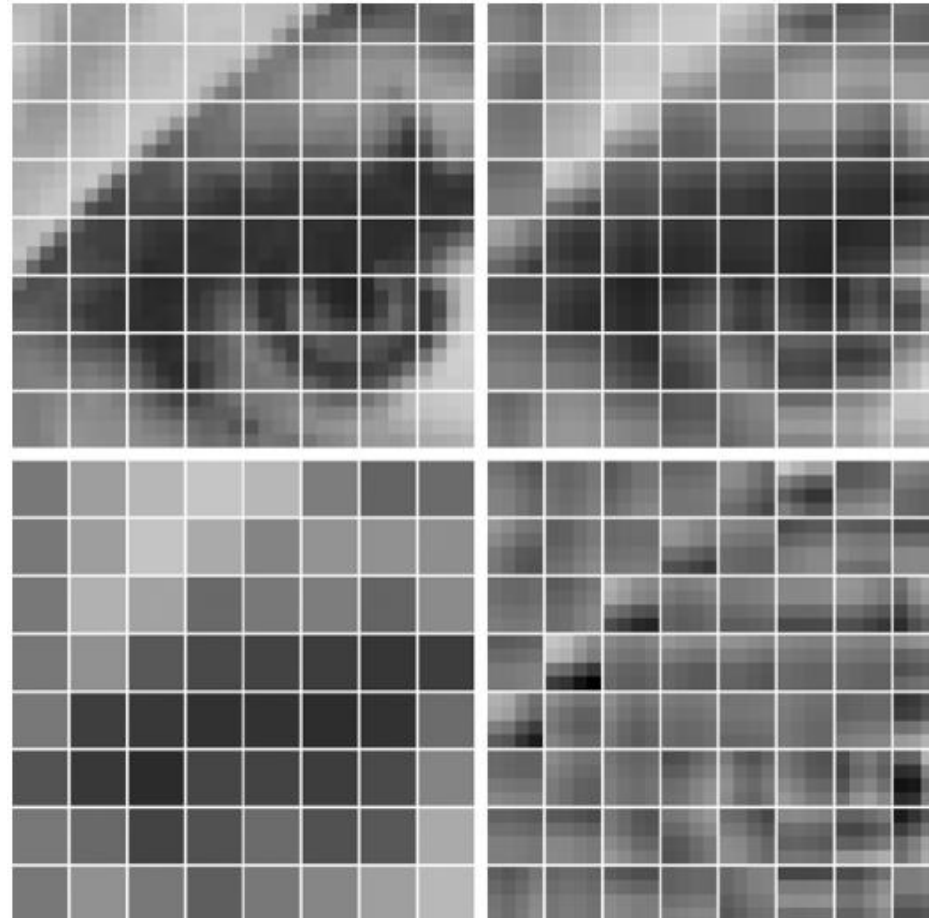
CODIFICAÇÃO EM BLOCOS NO PLANO FOCAL



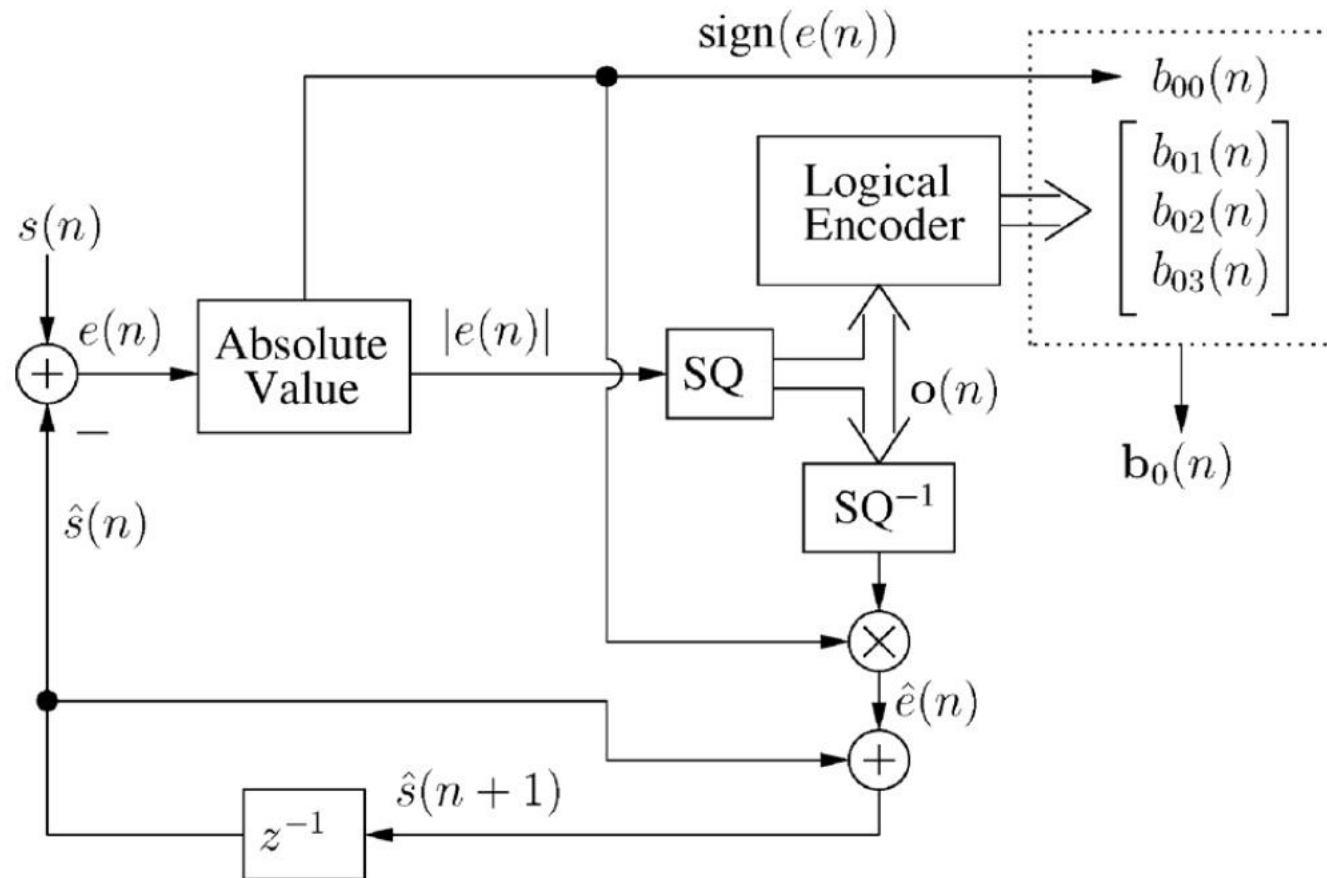
CODIFICAÇÃO EM BLOCOS NO PLANO FOCAL



CODIFICAÇÃO EM BLOCOS NO PLANO FOCAL



DIFFERENTIAL PULSE-CODE MODULATION



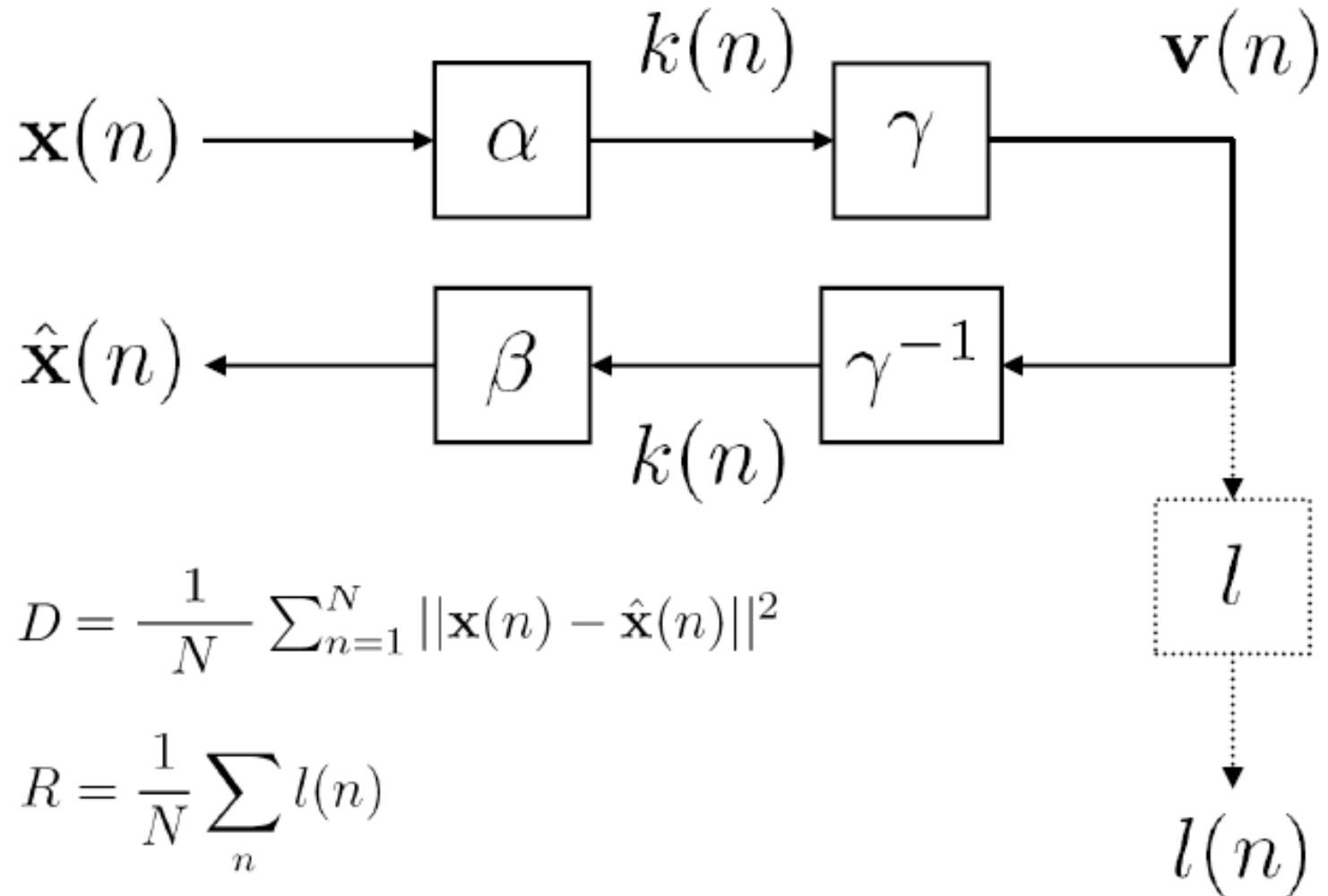
REPRESENTAÇÃO DOMÍNIO TRANSFORMADA

$$\mathbf{H}^T = \begin{bmatrix} 2 & 2 & 1 & 1 \\ 1 & 2 & -1 & 1 \\ -1 & 2 & -1 & 1 \\ -2 & 2 & 1 & 1 \\ 2 & 1 & 1 & -1 \\ 1 & 1 & -1 & -1 \\ -1 & 1 & -1 & -1 \\ -2 & 1 & 1 & -1 \\ 2 & -1 & 1 & -1 \\ 1 & -1 & -1 & -1 \\ -1 & -1 & -1 & -1 \\ -2 & -1 & 1 & -1 \\ 2 & -2 & 1 & 1 \\ 1 & -2 & -1 & 1 \\ -1 & -2 & -1 & 1 \\ -2 & -2 & 1 & 1 \end{bmatrix}$$

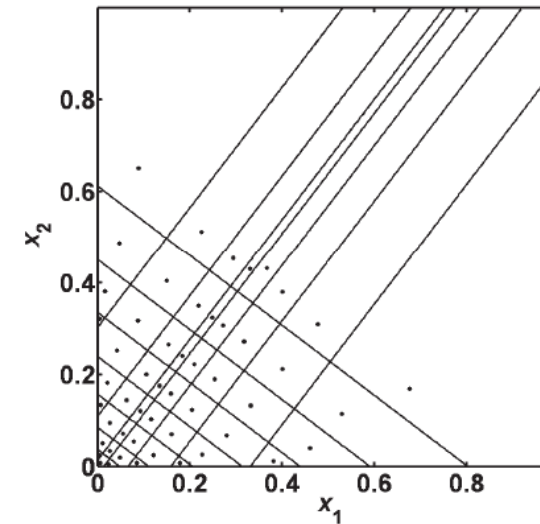
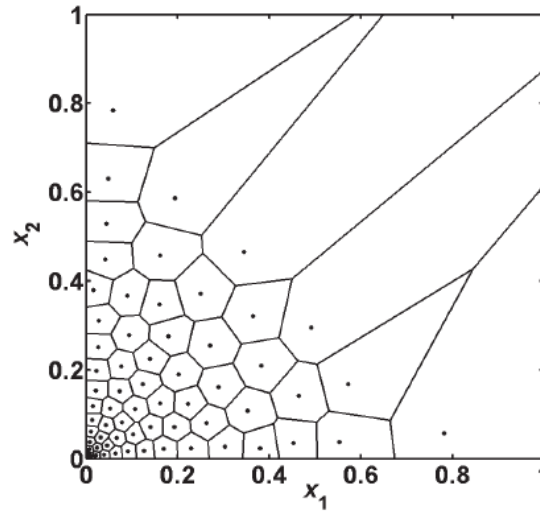
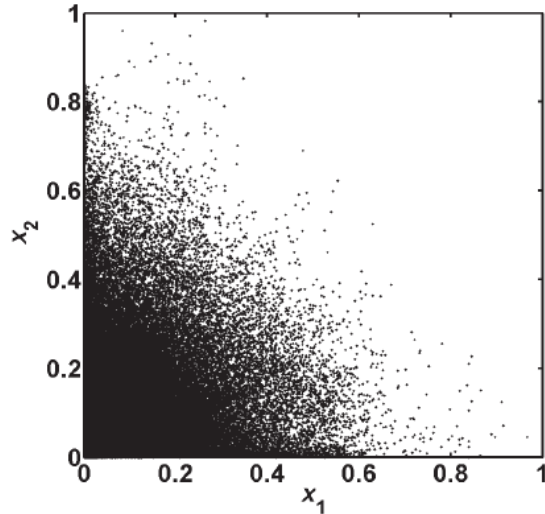
1	+1 +1 +1 +1	+2 +1 -1 -2	+1 -1 -1 +1	+1 -2 +2 -1
2	+1 +1 +1 +1	+2 +1 -1 -2	+1 -1 -1 +1	+1 -2 +2 -1
3	+1 +1 +1 +1	+2 +1 -1 -2	+1 -1 -1 +1	+1 -2 +2 -1
4	+1 +1 +1 +1	+2 +1 -1 -2	+1 -1 -1 +1	+1 -2 +2 -1
5	+2 +2 +2 +2	+4 +2 -2 -4	+2 -2 -2 +2	+2 -4 +4 -2
6	+1 +1 +1 +1	+2 +1 -1 -2	+1 -1 -1 +1	+1 -2 +2 -1
7	-1 -1 -1 -1	-2 -1 +1 +2	-1 +1 +1 -1	-1 +2 -2 +1
8	-2 -2 -2 -2	-4 -2 +2 +4	-2 +2 +2 -2	-2 +4 -4 +2
9	+1 +1 +1 +1	+2 +1 -1 -2	+1 -1 -1 +1	+1 -2 +2 -1
10	-1 -1 -1 -1	-2 -1 +1 +2	-1 +1 +1 -1	-1 +2 -2 +1
11	-1 -1 -1 -1	-2 -1 +1 +2	-1 +1 +1 -1	-1 +2 -2 +1
12	+1 +1 +1 +1	+2 +1 -1 -2	+1 -1 -1 +1	+1 -2 +2 -1
13	+1 +1 +1 +1	+2 +1 -1 -2	+1 -1 -1 +1	+1 -2 +2 -1
14	-2 -2 -2 -2	-4 -2 +2 +4	-2 +2 +2 -2	-2 +4 -4 +2
15	+2 +2 +2 +2	+4 +2 -2 -4	+2 -2 -2 +2	+2 -4 +4 -2
16	-1 -1 -1 -1	-2 -1 +1 +2	-1 +1 +1 -1	-1 +2 -2 +1

1	2	3	4
5	6	7	8
9	10	11	12
13	14	15	16

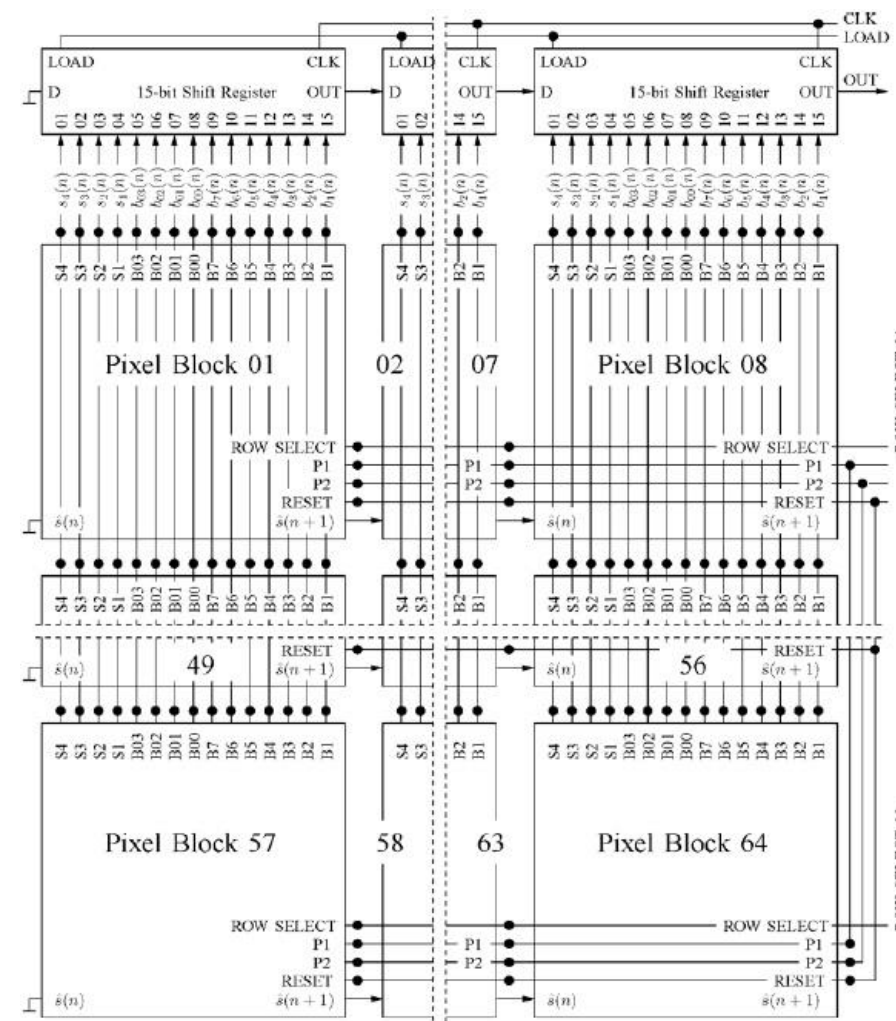
QUANTIZAÇÃO VETORIAL



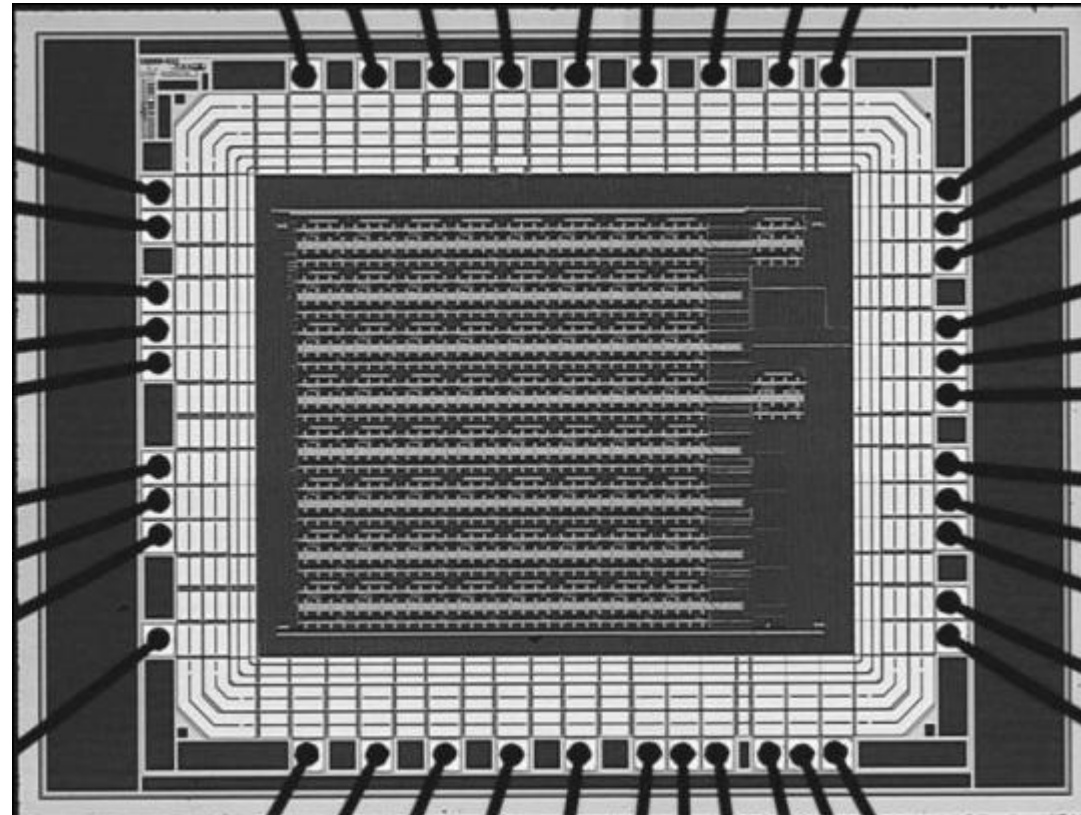
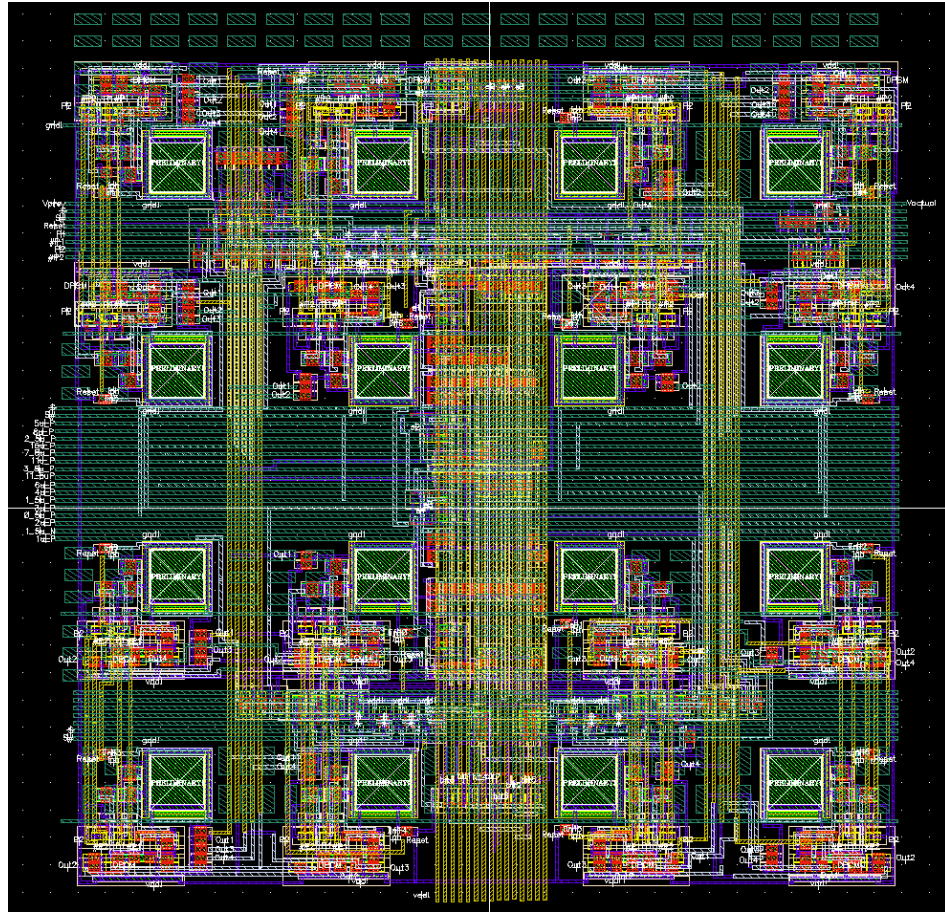
IMPLEMENTAÇÃO DO VQ



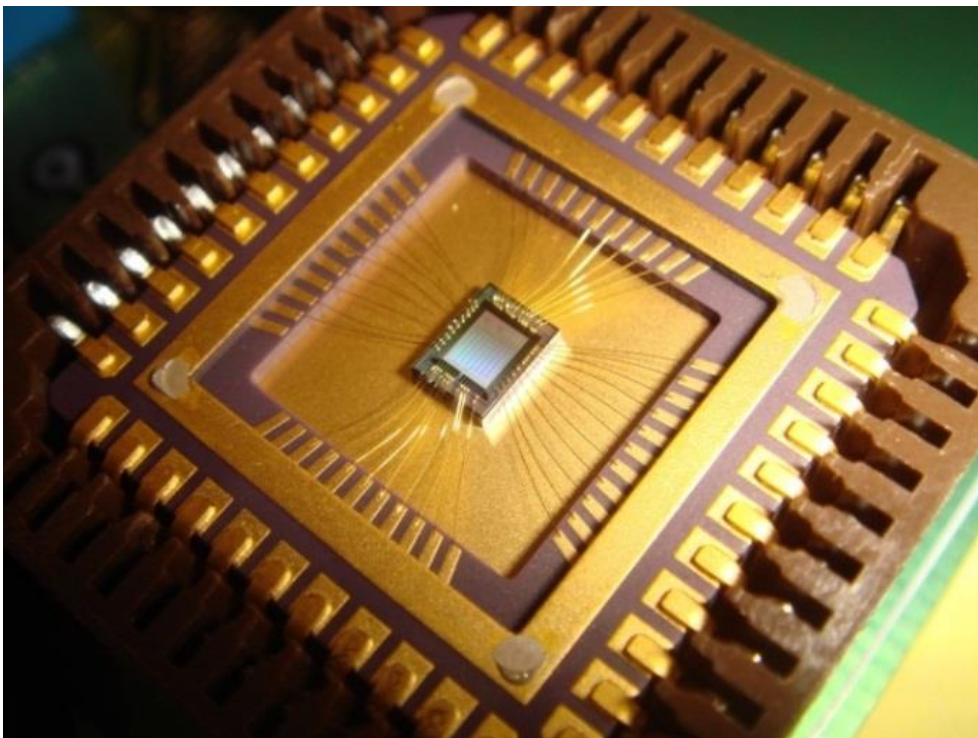
LAYOUT COMPLETO



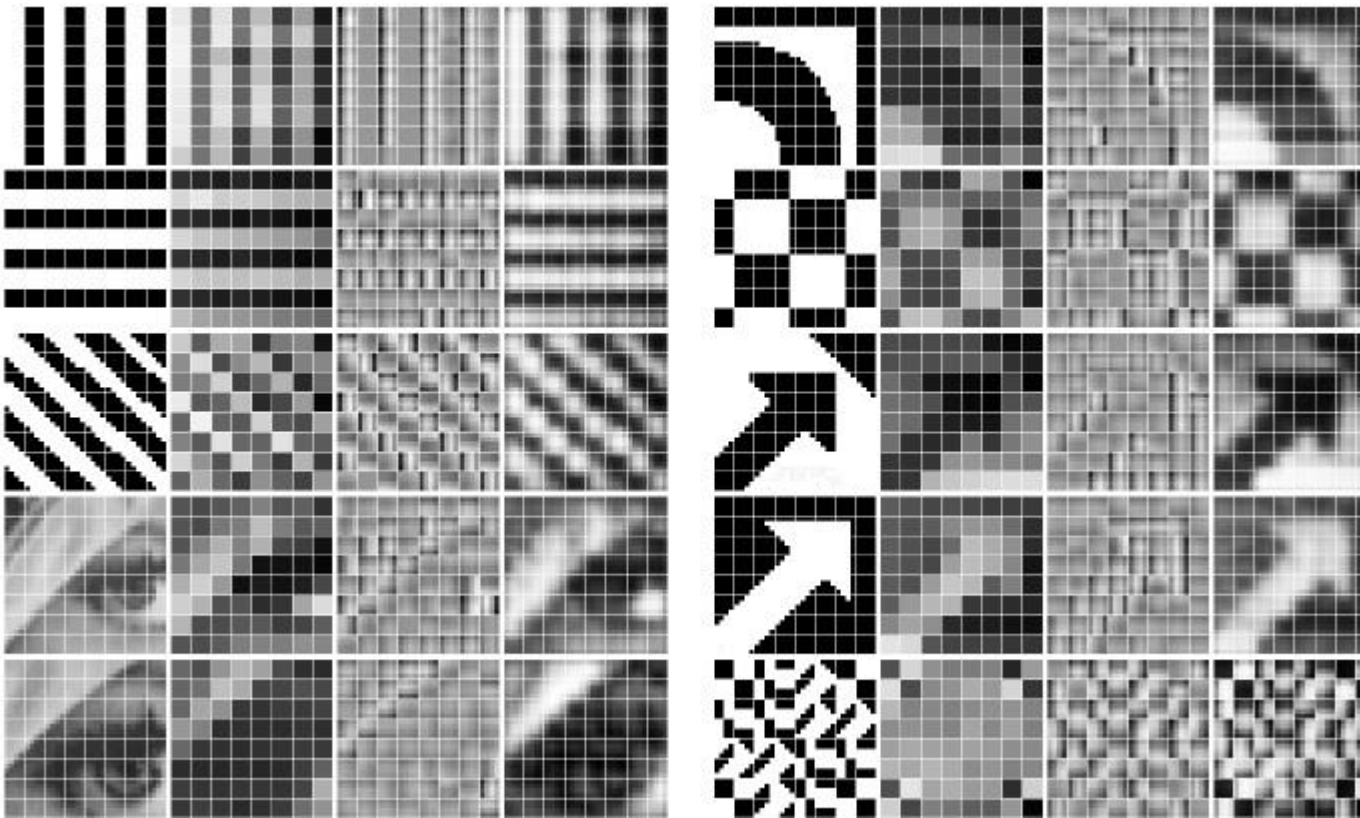
CODIFICAÇÃO EM BLOCOS NO PLANO FOCAL



CODIFICAÇÃO EM BLOCOS NO PLANO FOCAL



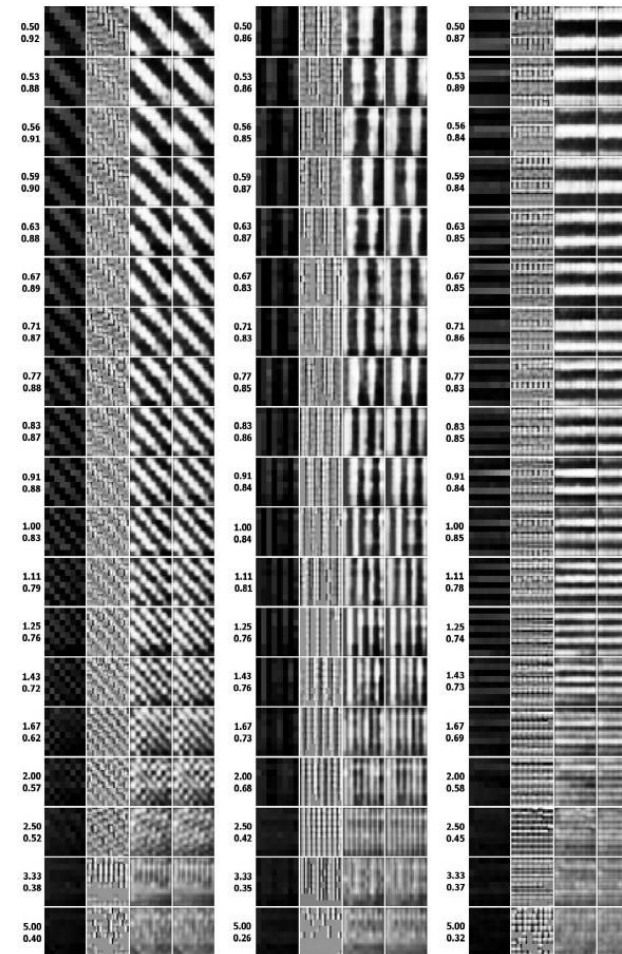
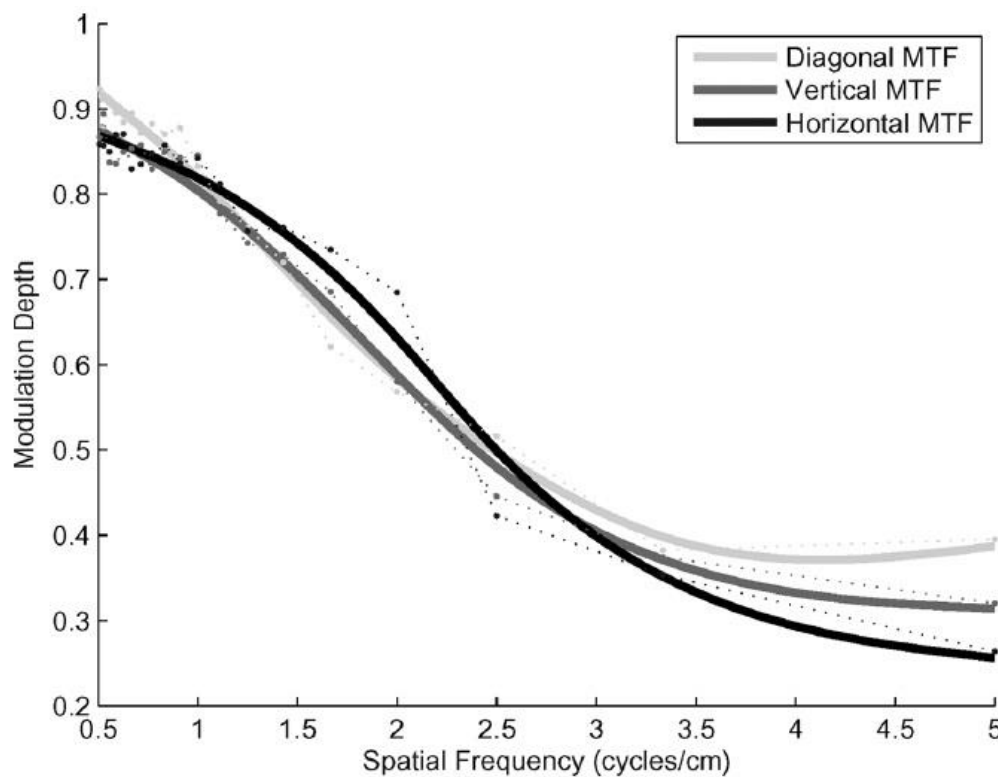
CODIFICAÇÃO EM BLOCOS NO PLANO FOCAL



CODIFICAÇÃO EM BLOCOS NO PLANO FOCAL



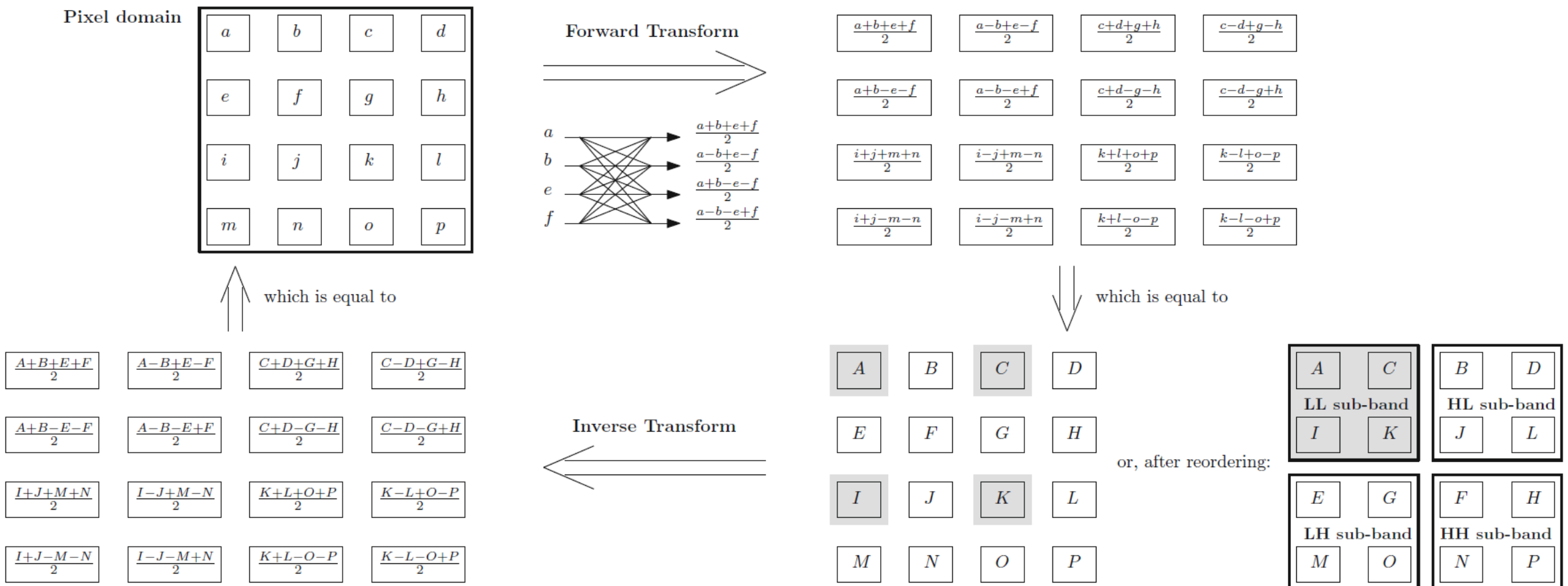
MODULATION TRANSFER FUNCTION



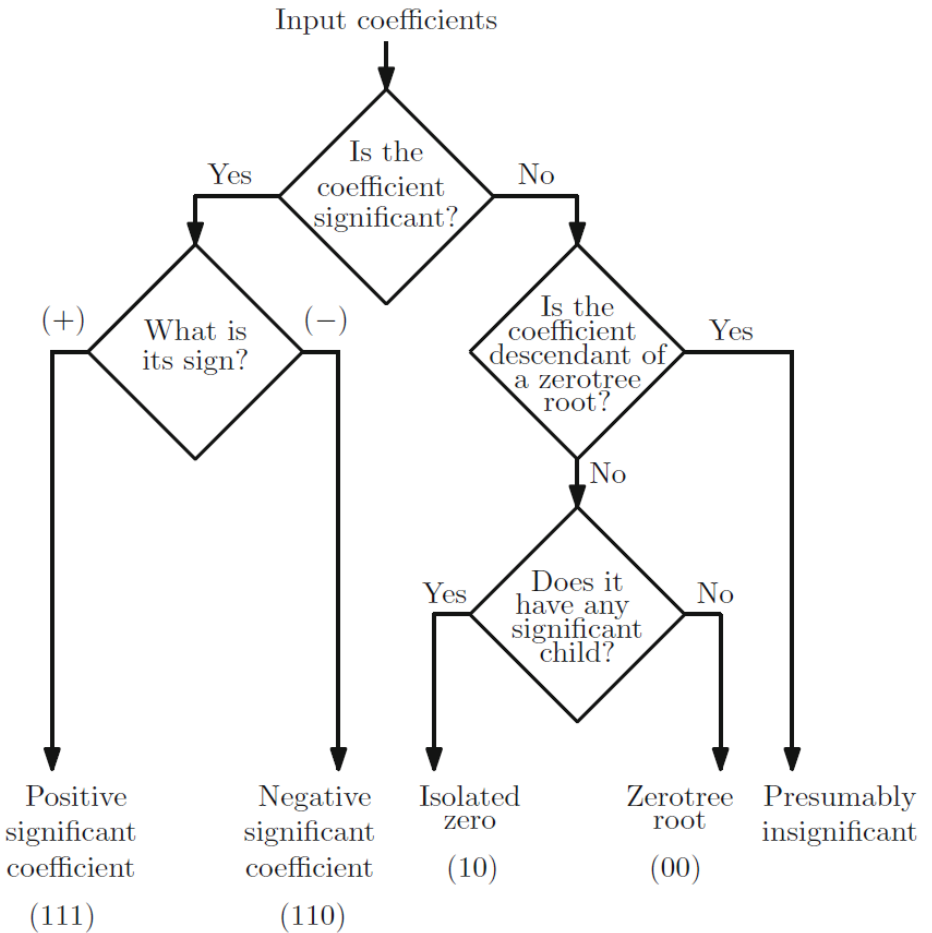
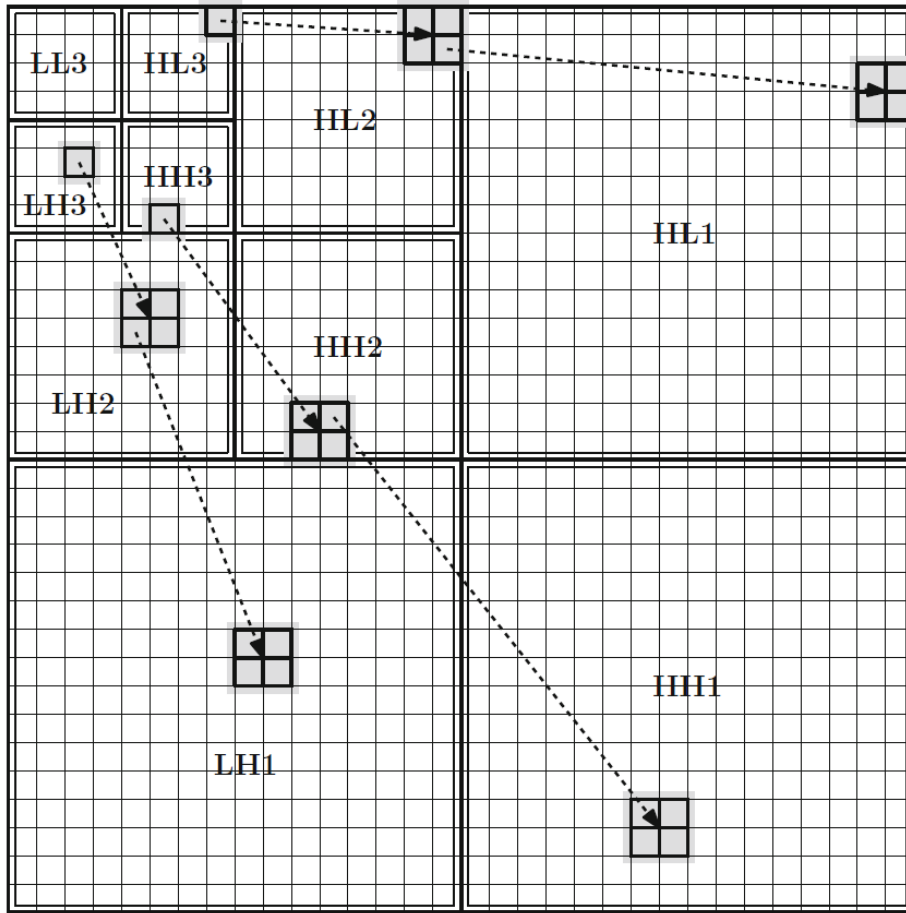
PROPRIEDADES GLOBAIS DO CHIP

Technology	AMS CMOS 0.35 μm Opto
Chip Area	1.61 mm \times 1.28 mm
Array Size	32 \times 32
Block Area	150 μm \times 150 μm
Pixel Area	37.5 μm \times 37.5 μm
Photodiode Area	10 μm \times 10 μm
Fill Factor	7%
Power Supply	3.3 V
Power Consumption	37 mW maximum (white image)
Integration Period	800 μs
Conversion/Read-Out Time	1 ms (one block-row)
Achievable Frame Rate	125 Hz
FPN	7%
Temporal Noise	4%
Spatial Bandwidth	2 cycles/cm
Input Dynamic Range	approx. 40 lux to 400 lux
Data Rate	below 0.94 bpp
PSNR	18 dB

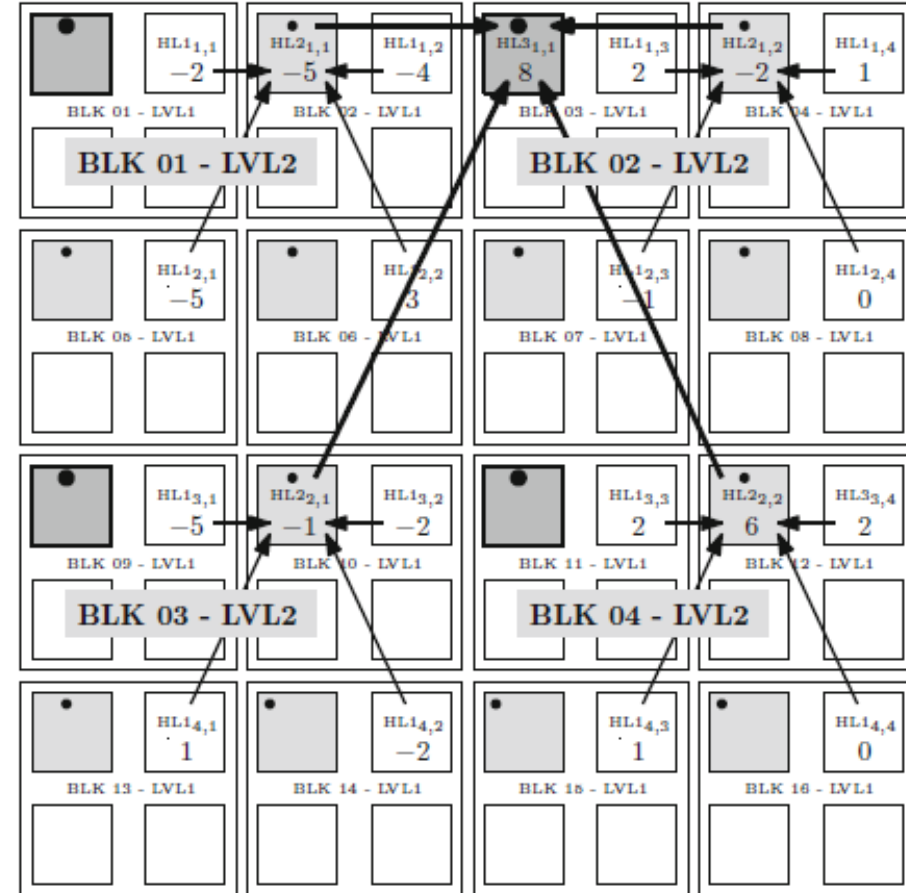
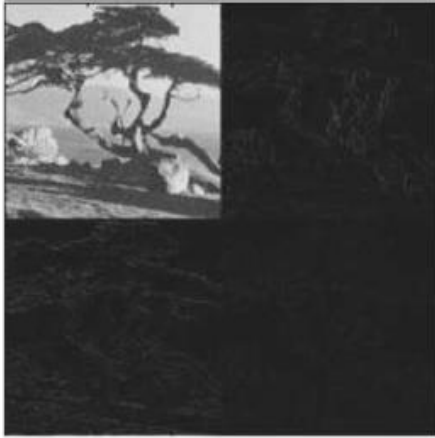
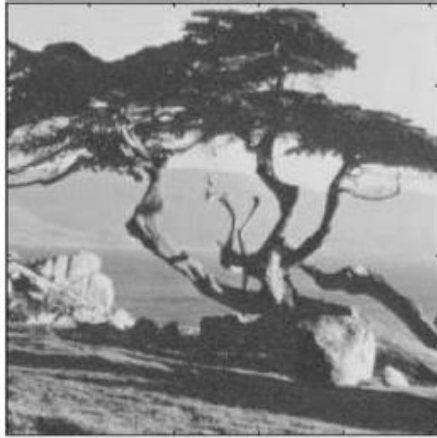
DECOMPOSIÇÃO SUB-BANDAS NO PLANO FOCAL



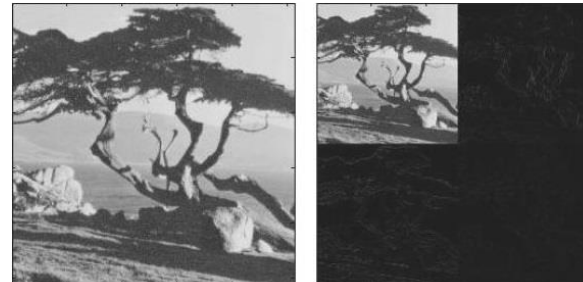
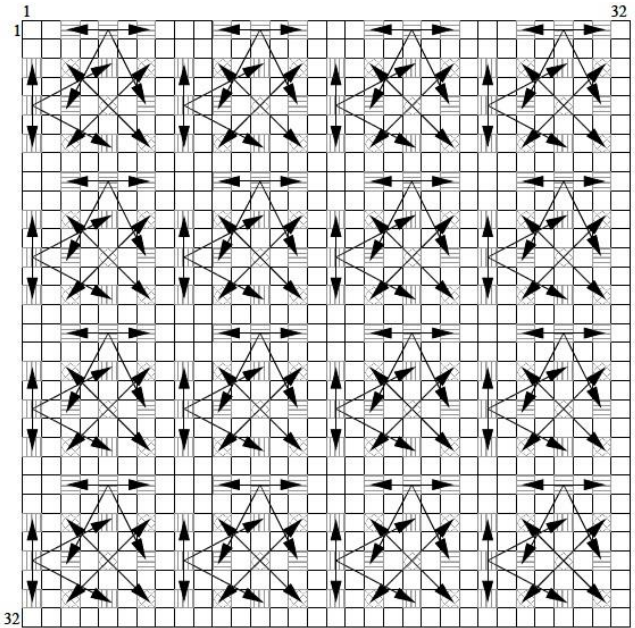
DECOMPOSIÇÃO SUB-BANDAS NO PLANO FOCAL



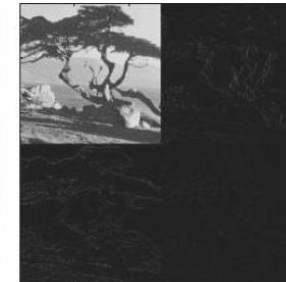
DECOMPOSIÇÃO SUB-BANDAS NO PLANO FOCAL



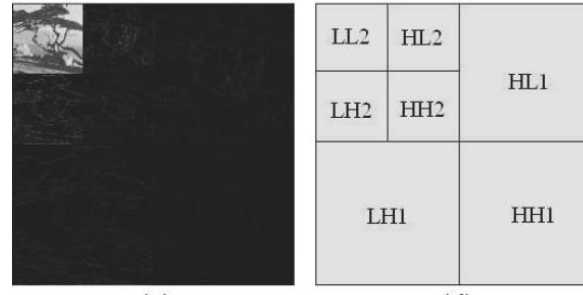
DECOMPOSIÇÃO SUB-BANDAS NO PLANO FOCAL



(a)

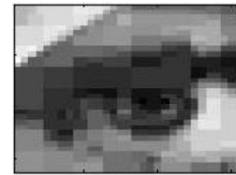
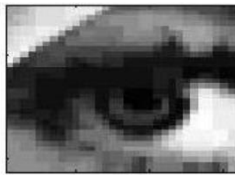
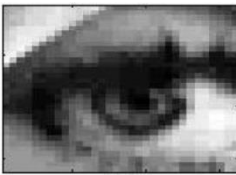


(b)

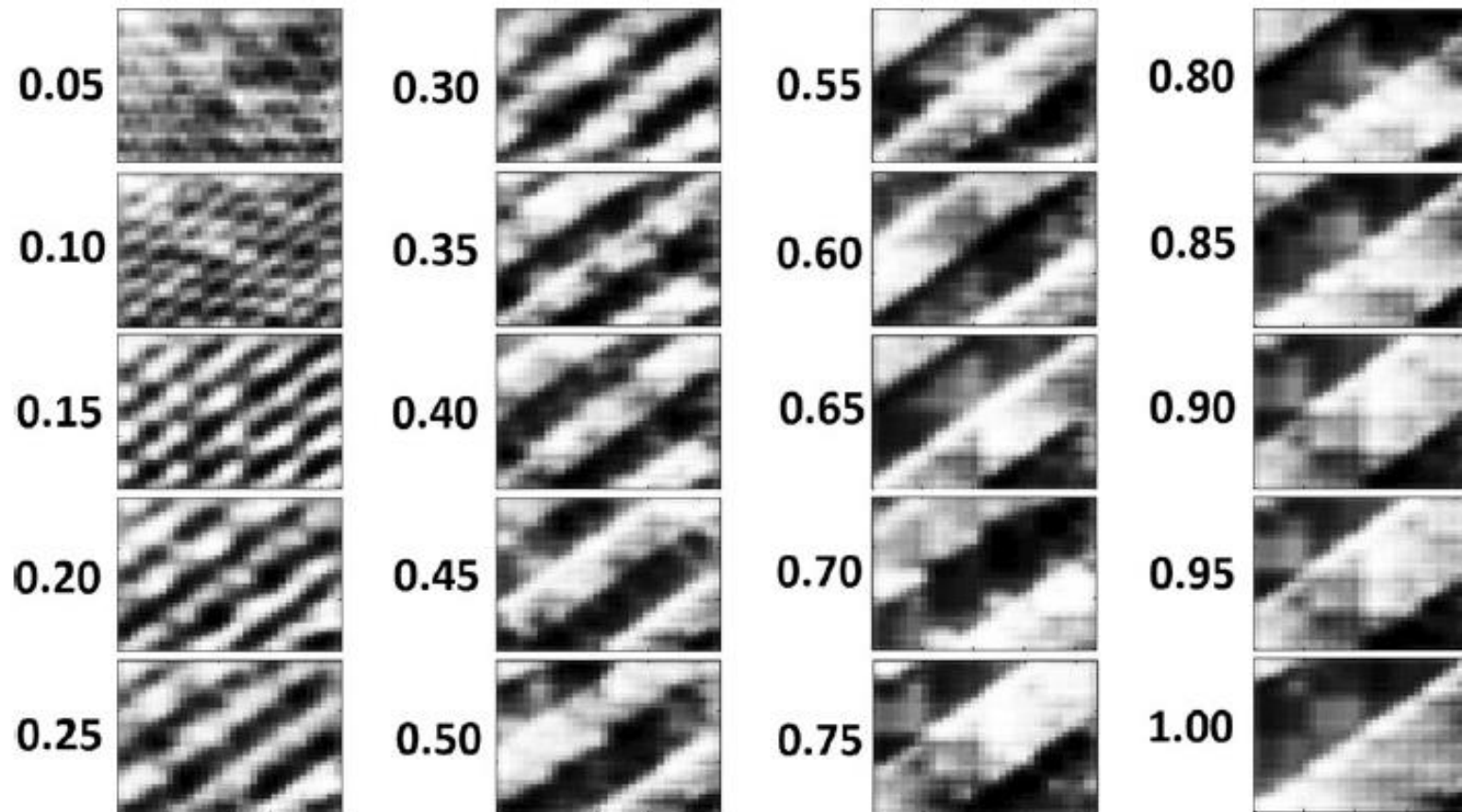


(c)

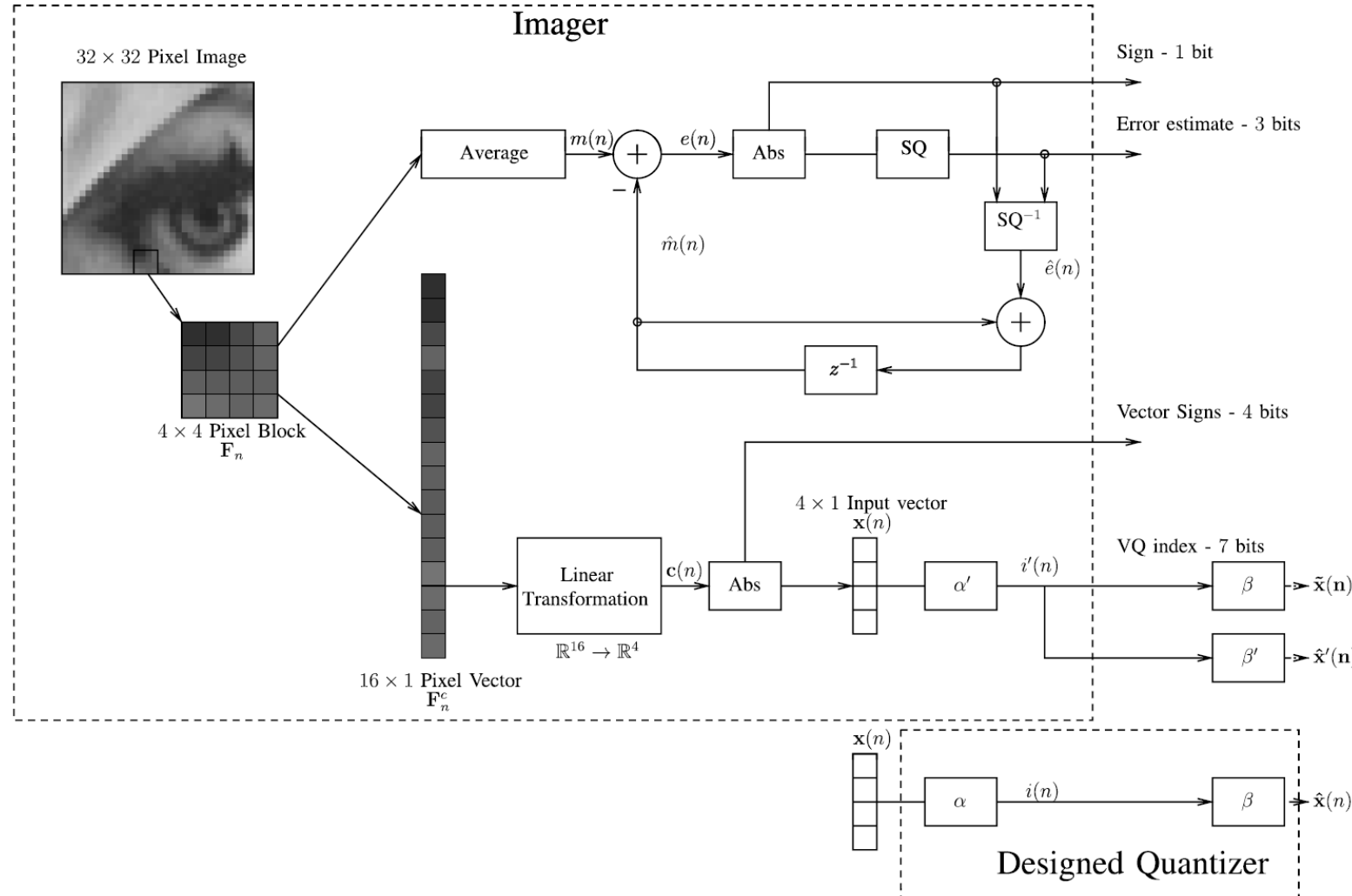
(d)



DECOMPOSIÇÃO SUB-BANDAS NO PLANO FOCAL



CALIBRAÇÃO DE DICIONÁRIO

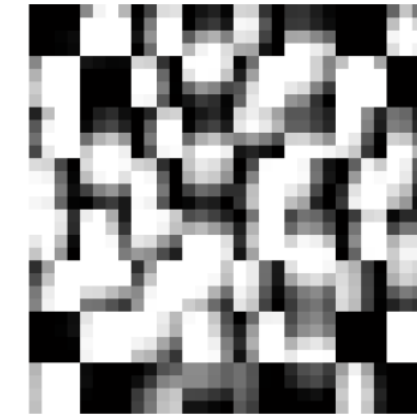


CALIBRAÇÃO DE DICIONÁRIO

Target



Original



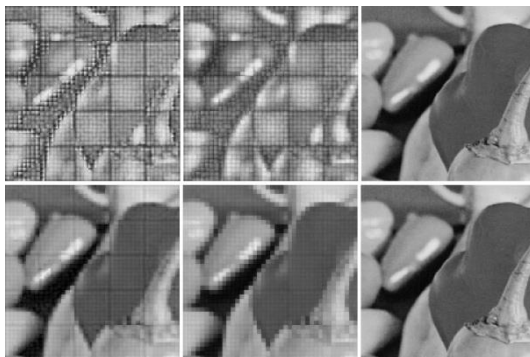
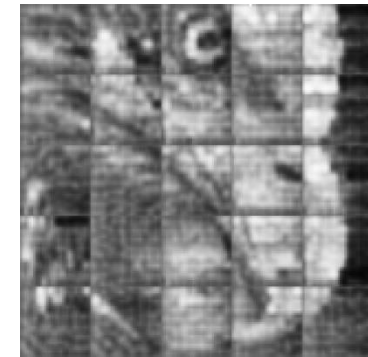
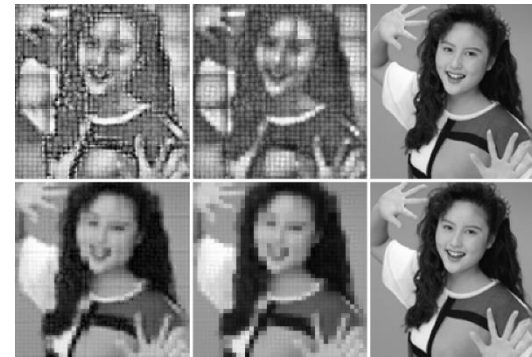
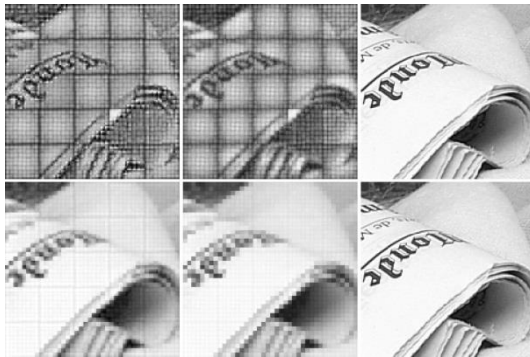
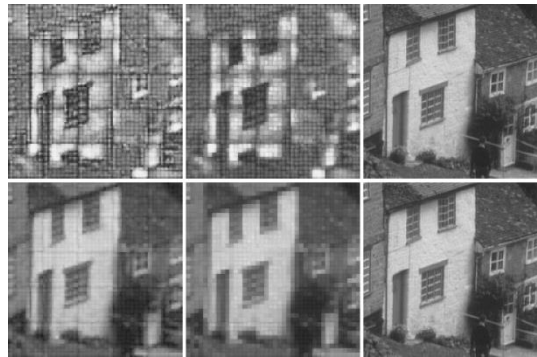
All



Specific



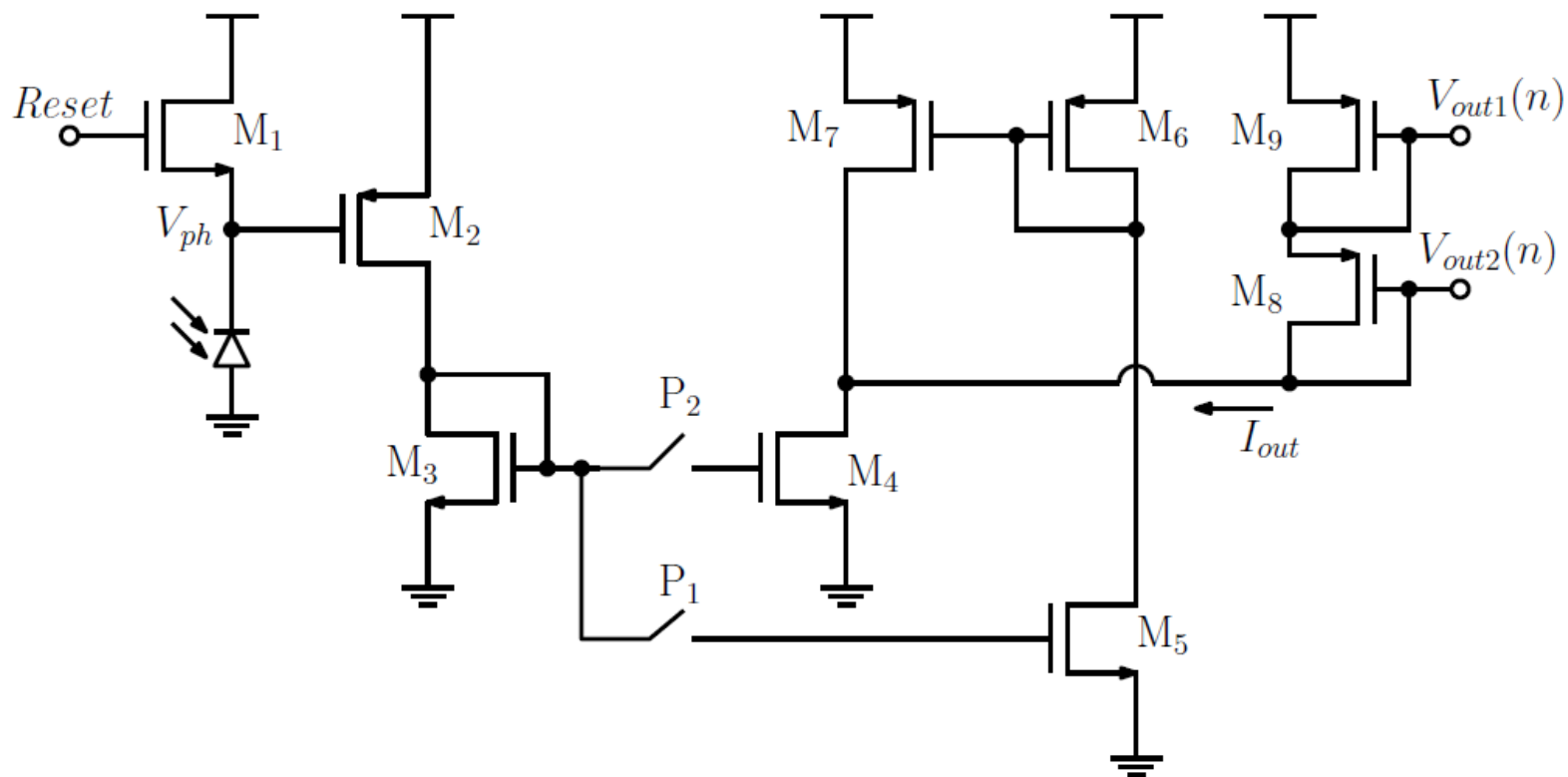
CALIBRAÇÃO DE DICIONÁRIO



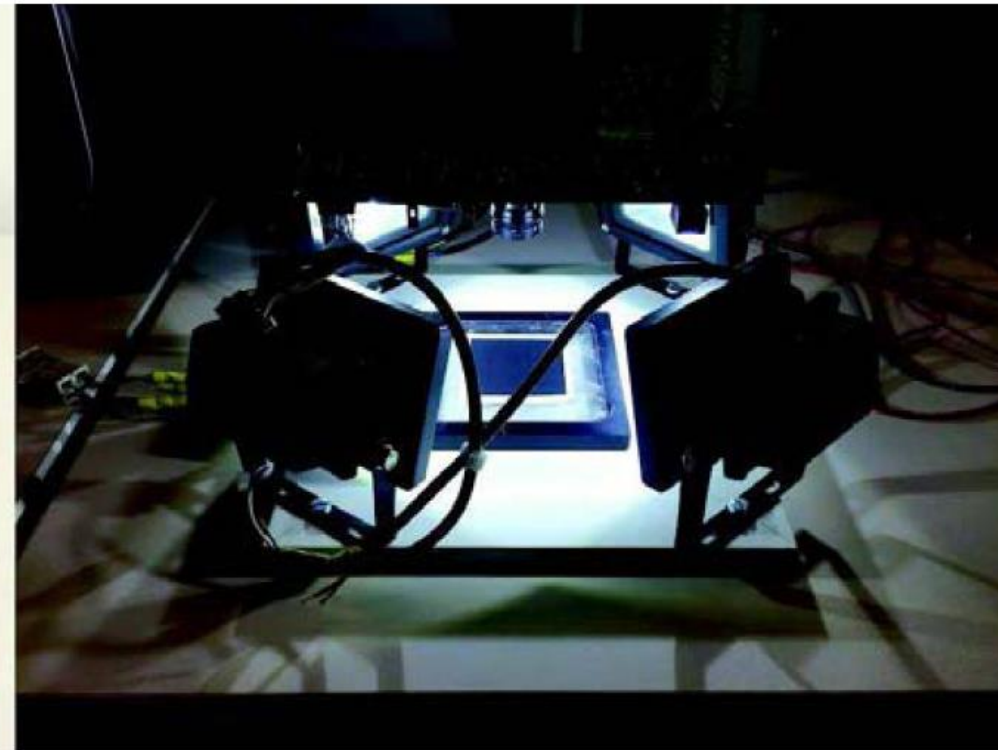
Decoded Image	Except	All	Original
Bike	0.0871	0.0852	0.0989
Bird	0.0503	0.0501	0.0632
Goldhill	0.0288	0.0284	0.0371
Lena	0.0303	0.0295	0.0392
Peppers	0.0235	0.0224	0.0269
Steve	0.0663	0.0659	0.0744
Vader	0.1049	0.1022	0.1073

CODIFICAÇÃO EM BLOCOS NO PLANO FOCAL

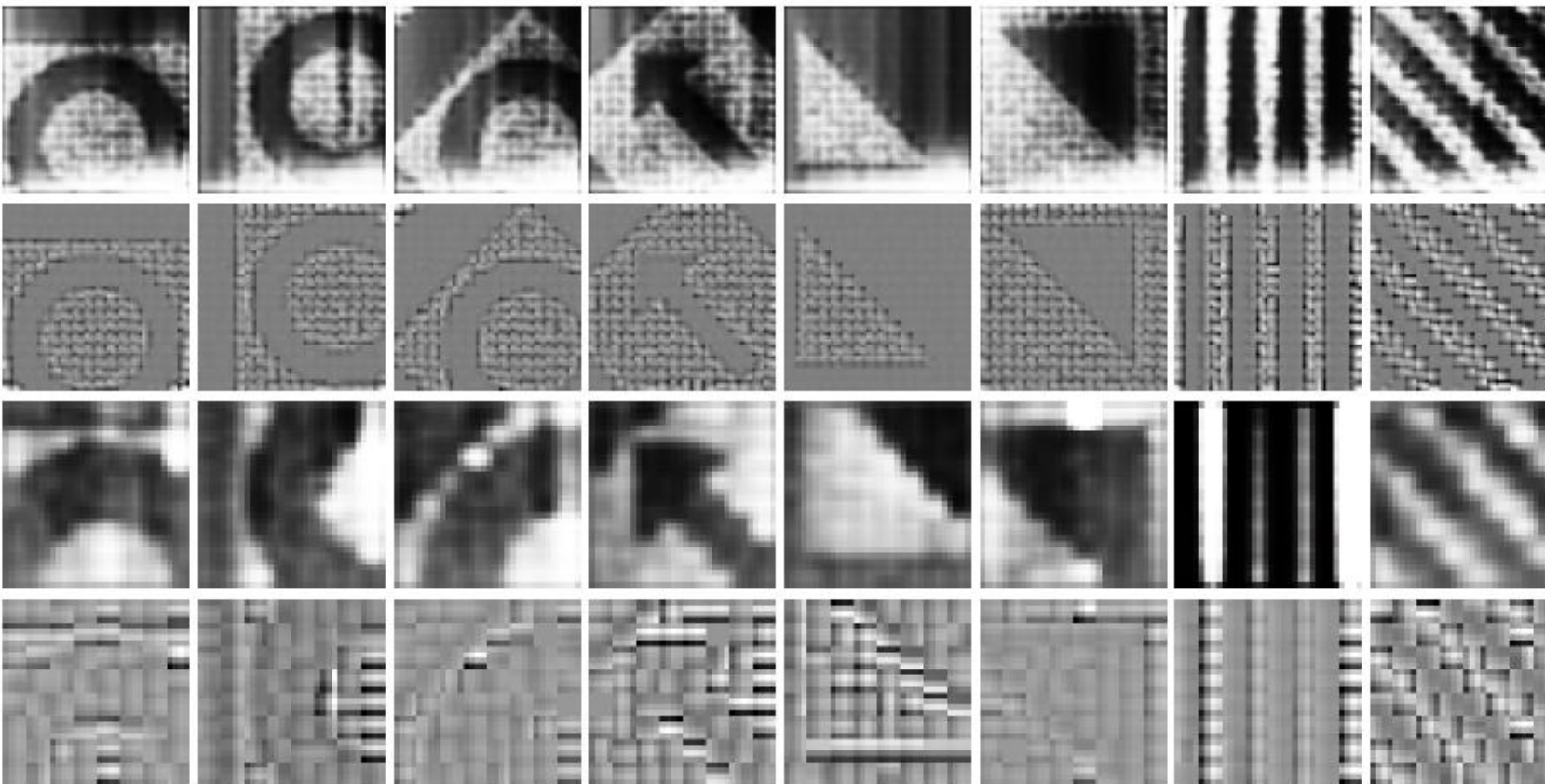
- Diagrama de Blocos 0.18 μm ; Cascode Current Mirror Pixels



CODIFICAÇÃO EM BLOCOS NO PLANO FOCAL



CODIFICAÇÃO EM BLOCOS NO PLANO FOCAL

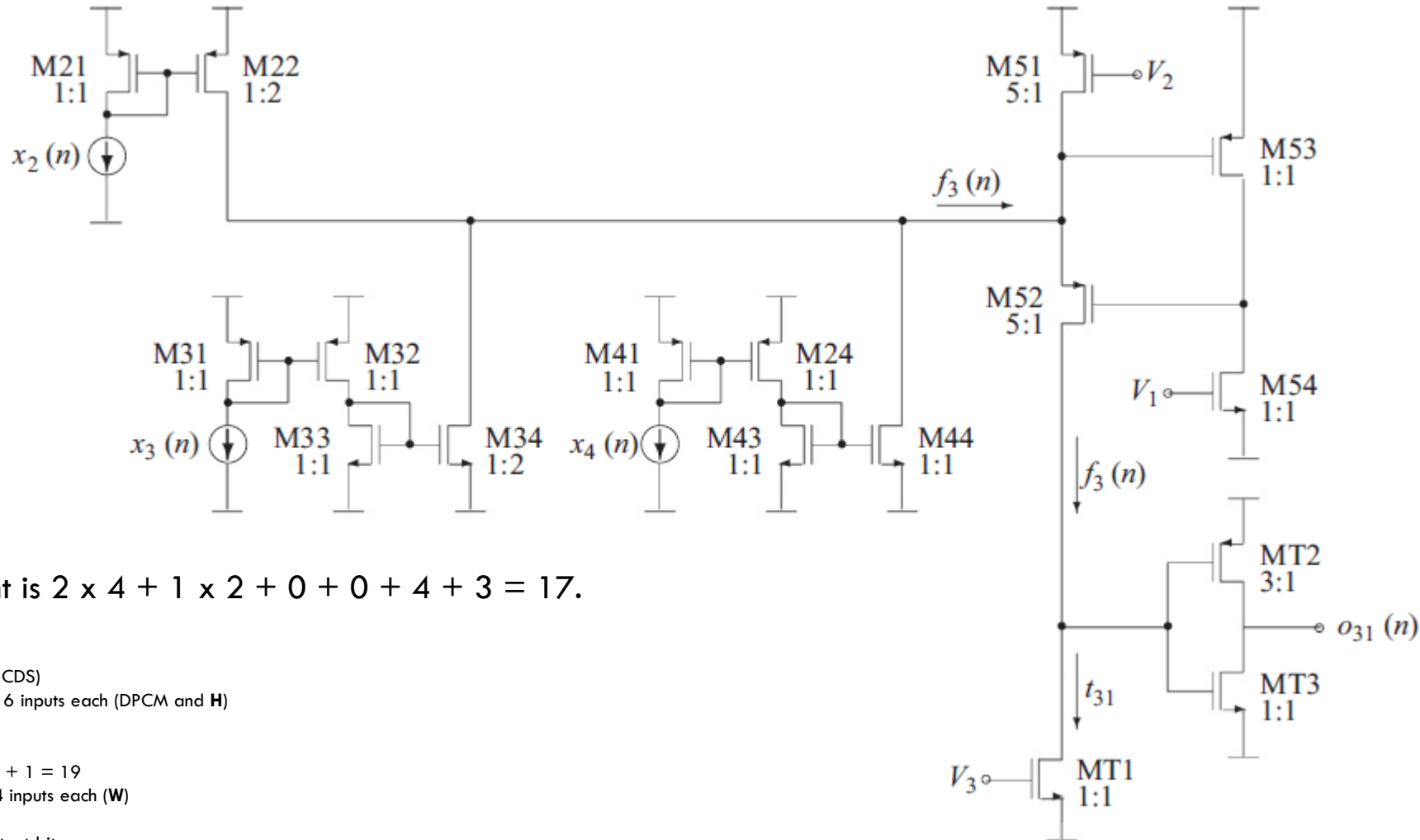


CODIFICAÇÃO EM BLOCOS NO PLANO FOCAL

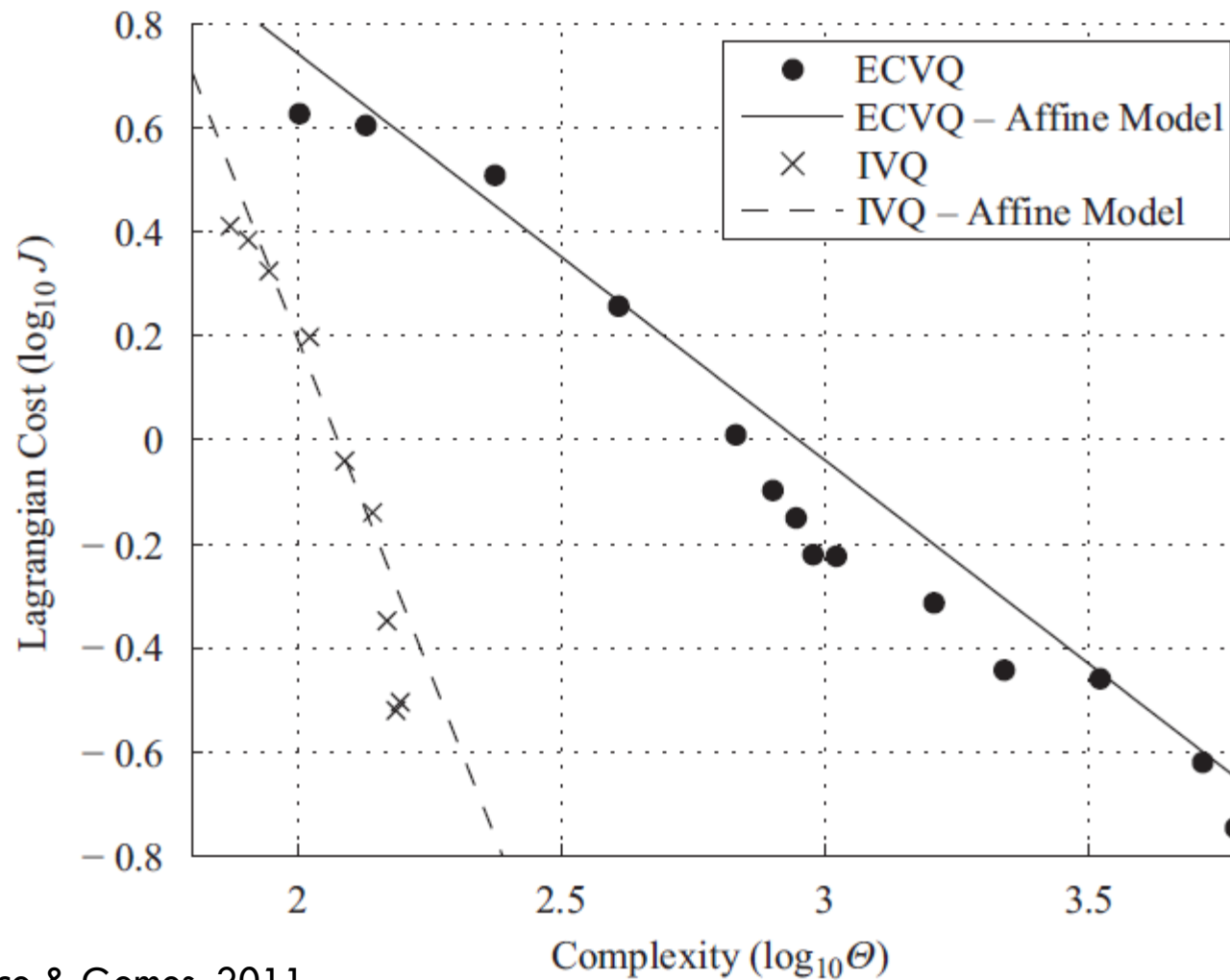
TABLE I
COMPARISON BETWEEN FIRST AND SECOND GENERATION CHIPS.

	1 st generation	2 nd generation
Bit rate	0.94 bpp	1.13 bpp
Transform coeffs.	4	5
Sign bits	4	5
VQ bits	7	9
Fab. process	AMS 0.35 μ m Opto	IBM 0.18 μ m
Transistor count	607 per block	833 per block
Pixel area	37.5 μ m \times 37.5 μ m	27.2 μ m \times 27.2 μ m
Photodiode area	10 μ m \times 10 μ m	10 μ m \times 10 μ m
Fill factor	7.1 %	13.5 %
Chip area	2.4 mm \times 2.1 mm	2.8 mm \times 2.8 mm
Resolution	32 \times 32	64 \times 64
DPCM $\hat{s}(1)$	0.0	7.5
Power supply	3.3 V	1.8 V

ANÁLISE DE COMPLEXIDADE

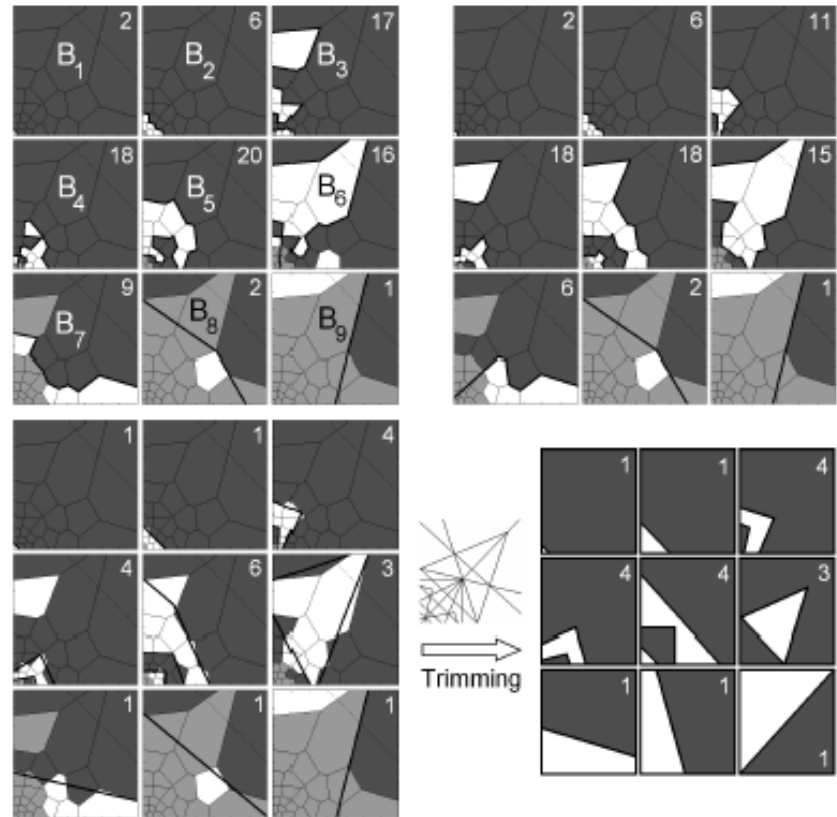


ANÁLISE DE COMPLEXIDADE

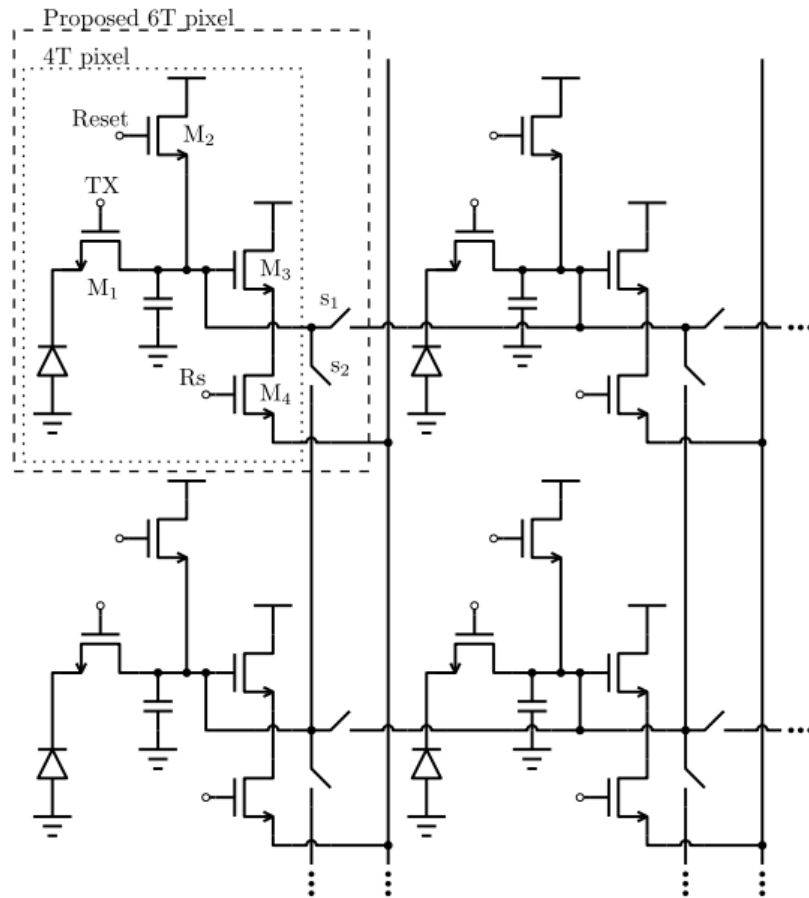


ANÁLISE DE COMPLEXIDADE

	B_1	B_2	B_3	B_4	B_5	B_6	B_7	B_8	B_9	
01	0	x	x	x	x	x	x	x	x	1
02	1	0	0	x	x	x	x	x	x	3
03	1	0	1	0	x	x	x	x	x	4
04	1	0	1	1	1	x	x	x	x	5
05	1	1	0	0	1	x	x	x	x	5
06	1	0	1	1	0	x	x	x	x	5
07	1	1	0	0	0	x	x	x	x	5
08	1	1	1	0	0	1	x	x	x	6
09	1	1	0	1	0	0	x	x	x	6
10	1	1	1	0	1	1	x	x	x	6
11	1	1	0	1	1	1	x	x	x	6
12	1	1	0	1	1	0	x	x	x	6
13	1	1	1	0	1	0	x	x	x	6
14	1	1	0	1	0	1	x	x	x	6
15	1	1	1	0	0	0	x	x	x	6
16	1	1	1	1	0	1	0	x	x	7
17	1	1	1	1	0	1	1	x	x	7
18	1	1	1	1	0	0	1	x	x	7
19	1	1	1	1	0	0	0	x	x	7
20	1	1	1	1	1	0	0	x	x	7
21	1	1	1	1	1	1	0	x	x	7
22	1	1	1	1	1	0	1	x	x	7
23	1	1	1	1	1	1	1	0	x	8
24	1	1	1	1	1	1	1	1	1	9
25	1	1	1	1	1	1	1	1	0	9



GAUSSIAN PYRAMID TIME/ENERGY ANALYSIS



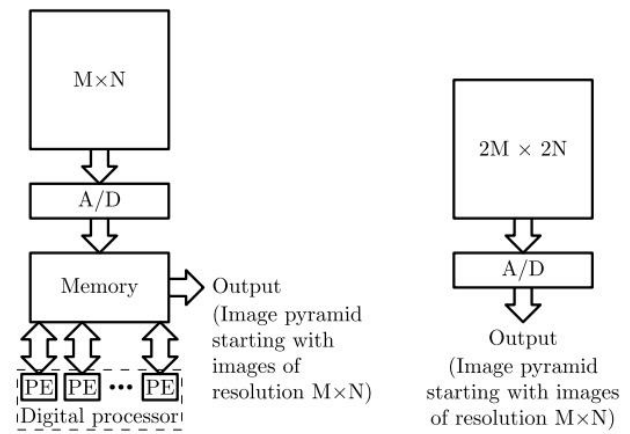
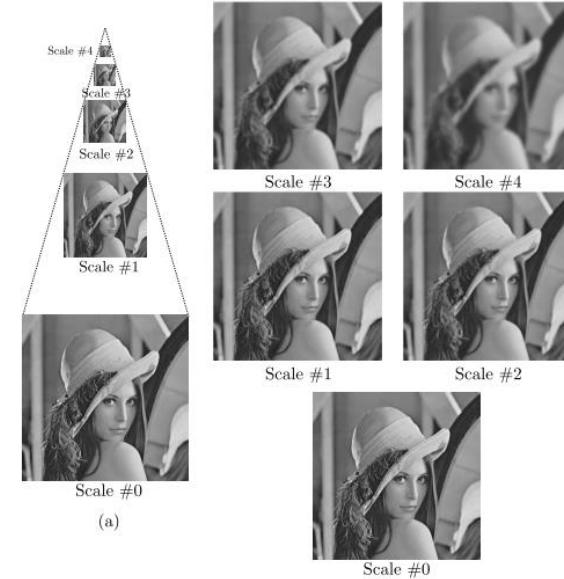
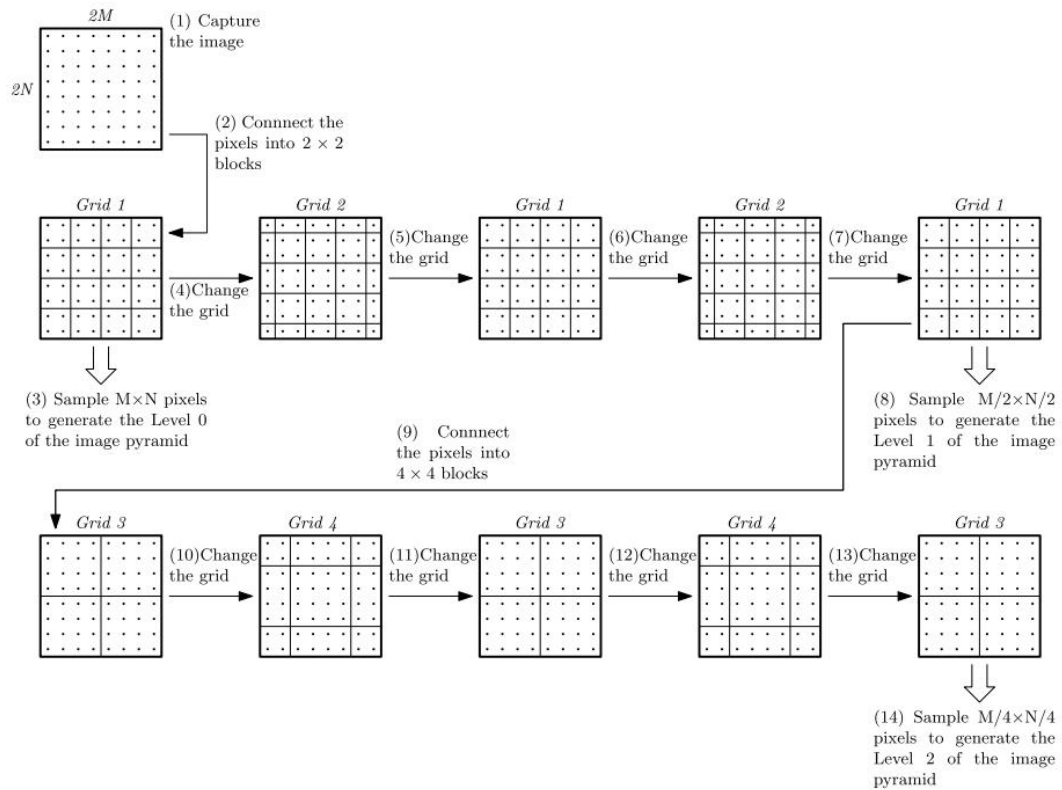
2	1	20	0	0	0	1	2
7	6	13	15	14	34	6	7
9	3	40	20	23	13	44	5
0	4	16	100	11	1	80	15
10	12	30	104	14	1	50	31
18	8	3	7	1	0	17	14
20	107	71	11	12	10	60	19
7	10	21	9	2	24	1	0

4	4	12	12	12	12	4	4
$p_{i-1,j-1}$	$p_{i-1,j}$	$p_{i-1,j+1}$	$p_{i-1,j+2}$	$p_{i-1,j-1}$	$p_{i-1,j}$	$p_{i-1,j+1}$	$p_{i-1,j+2}$
4	4	12	12	12	12	4	4
4	4	44	44	12	12	36	36
$p_{i,j-1}$	$p_{i,j}$	$p_{i,j+1}$	$p_{i,j+2}$	$p_{i,j-1}$	$p_{i,j}$	$p_{i,j+1}$	$p_{i,j+2}$
4	4	44	44	12	12	36	36
12	12	36	36	4	4	28	28
$p_{i+1,j-1}$	$p_{i+1,j}$	$p_{i+1,j+1}$	$p_{i+1,j+2}$	$p_{i+1,j-1}$	$p_{i+1,j}$	$p_{i+1,j+1}$	$p_{i+1,j+2}$
12	12	36	36	4	4	28	28
36	36	28	28	12	12	20	20
$p_{i+2,j-1}$	$p_{i+2,j}$	$p_{i+2,j+1}$	$p_{i+2,j+2}$	$p_{i+2,j-1}$	$p_{i+2,j}$	$p_{i+2,j+1}$	$p_{i+2,j+2}$
36	36	28	28	12	12	20	20

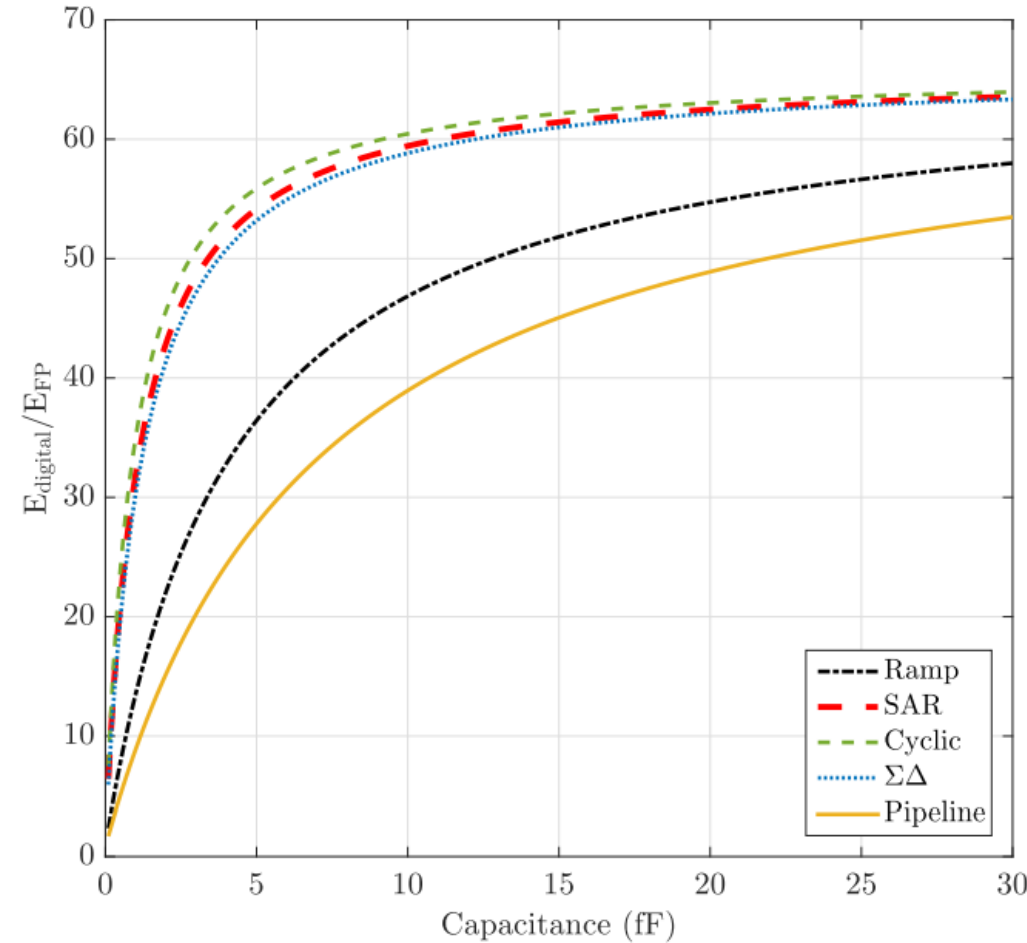
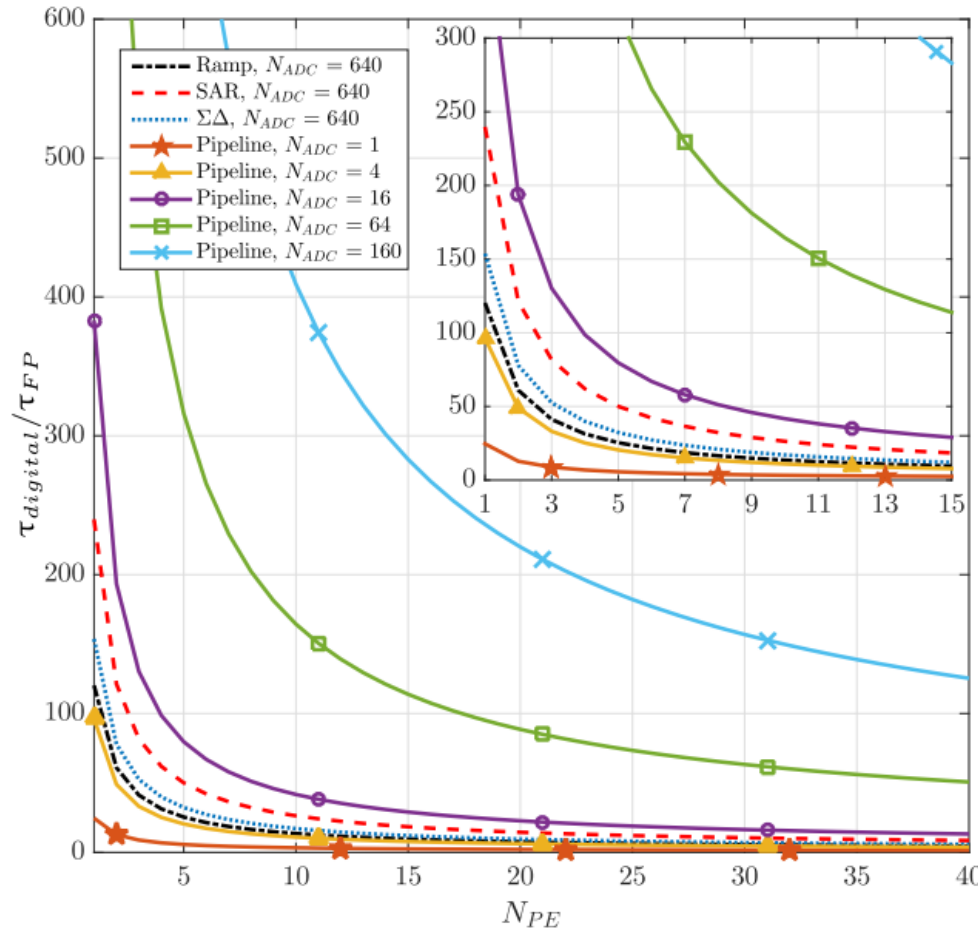
4	8	8	12	12	8	8	4
4	16	16	20	20	16	16	20
4	16	16	20	20	16	16	20
8	24	24	24	24	20	20	32
8	24	24	24	24	20	20	32
24	28	28	20	20	16	16	24
24	28	28	20	20	16	16	24
36	32	32	20	20	16	16	20

8	8	14	14	14	14	12	12
8	8	14	14	14	14	12	12
13	13	21	21	20	20	22	22
13	13	21	21	20	20	22	22
21	21	24	24	20	20	23	23
21	21	24	24	20	20	23	23
30	30	25	25	18	18	19	19
30	30	25	25	18	18	19	19

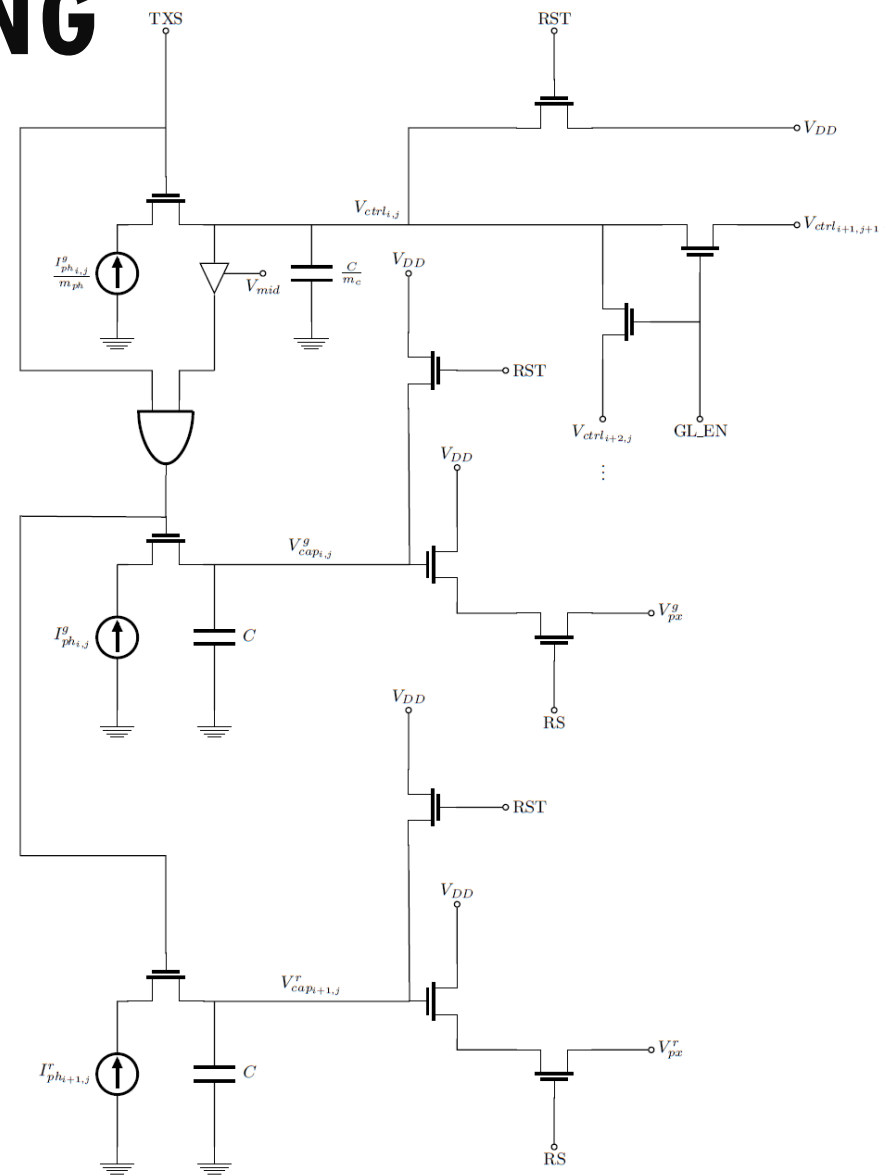
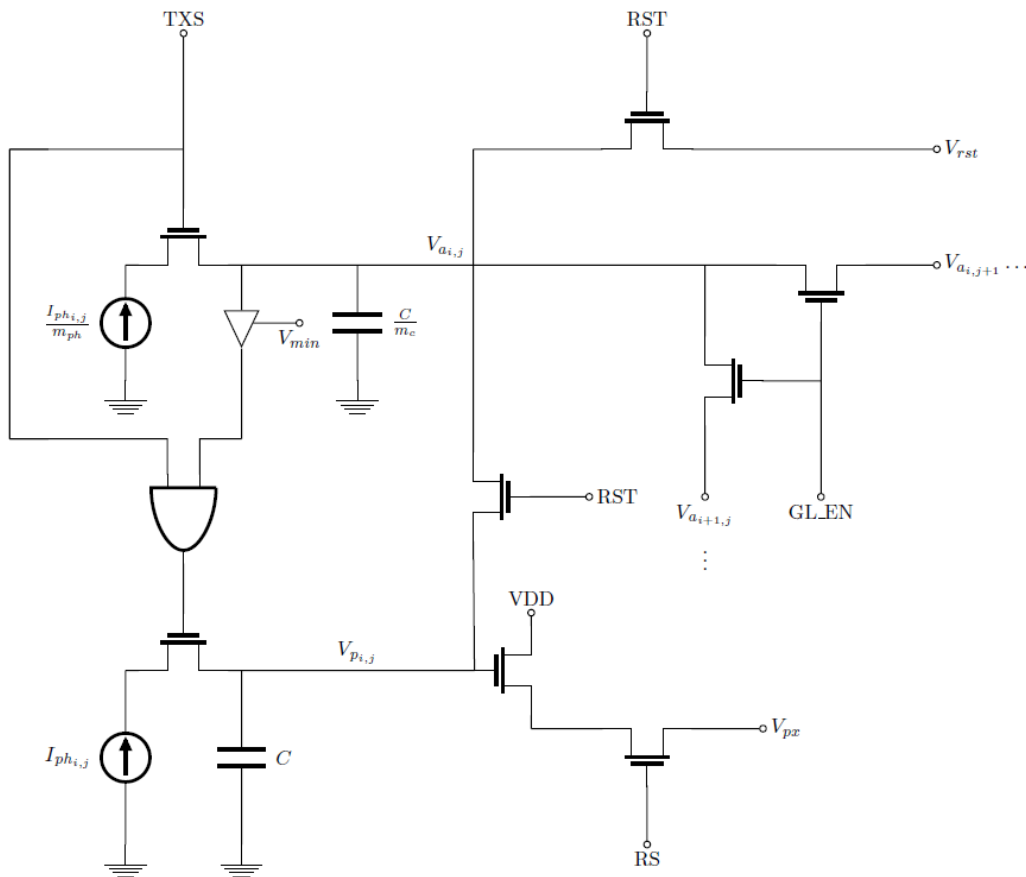
GAUSSIAN PYRAMID TIME/ENERGY ANALYSIS



GAUSSIAN PYRAMID TIME/ENERGY ANALYSIS



HIGH DYNAMIC RANGE IMAGING



HIGH DYNAMIC RANGE IMAGING



Raw

Schlick

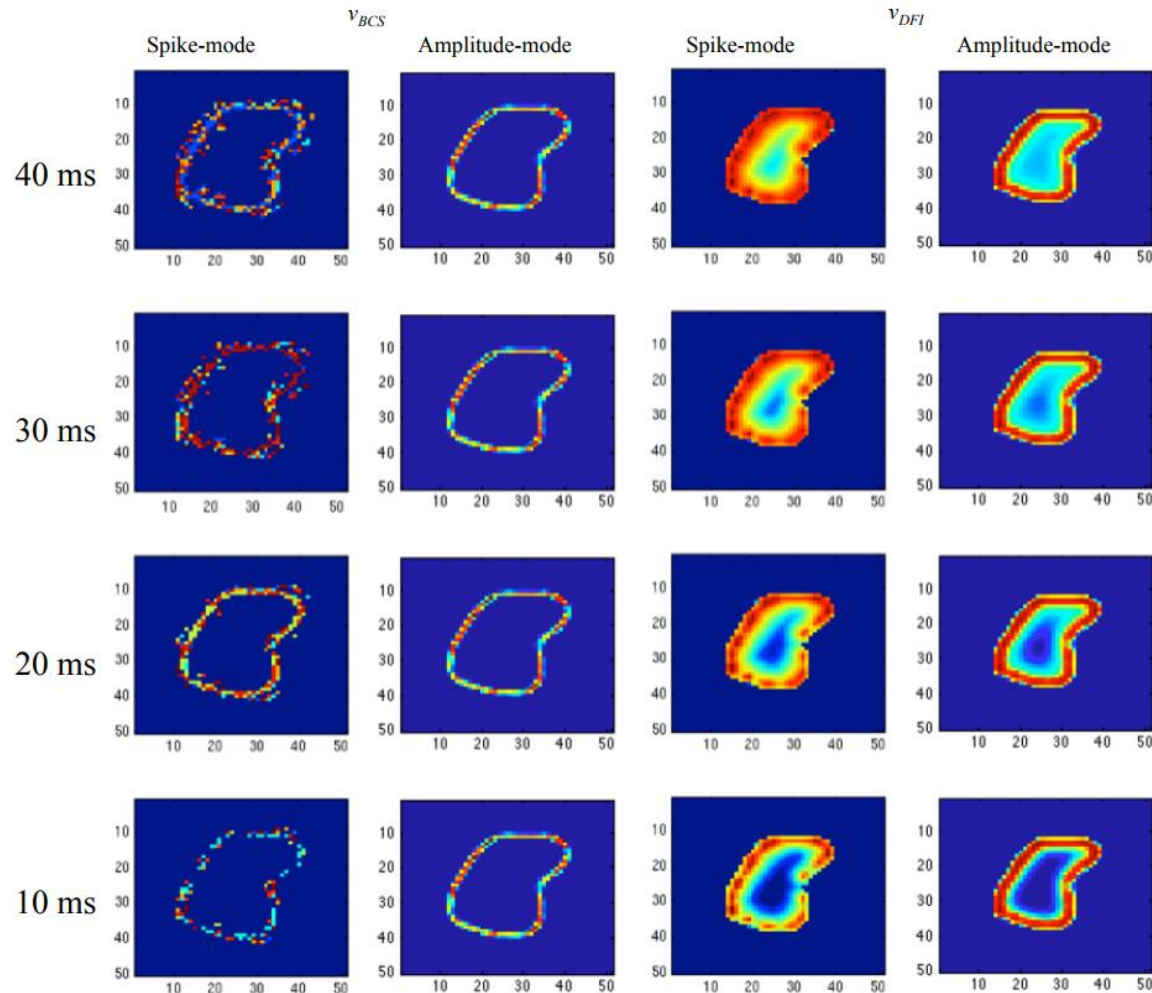
Rahman

WB + Y TM

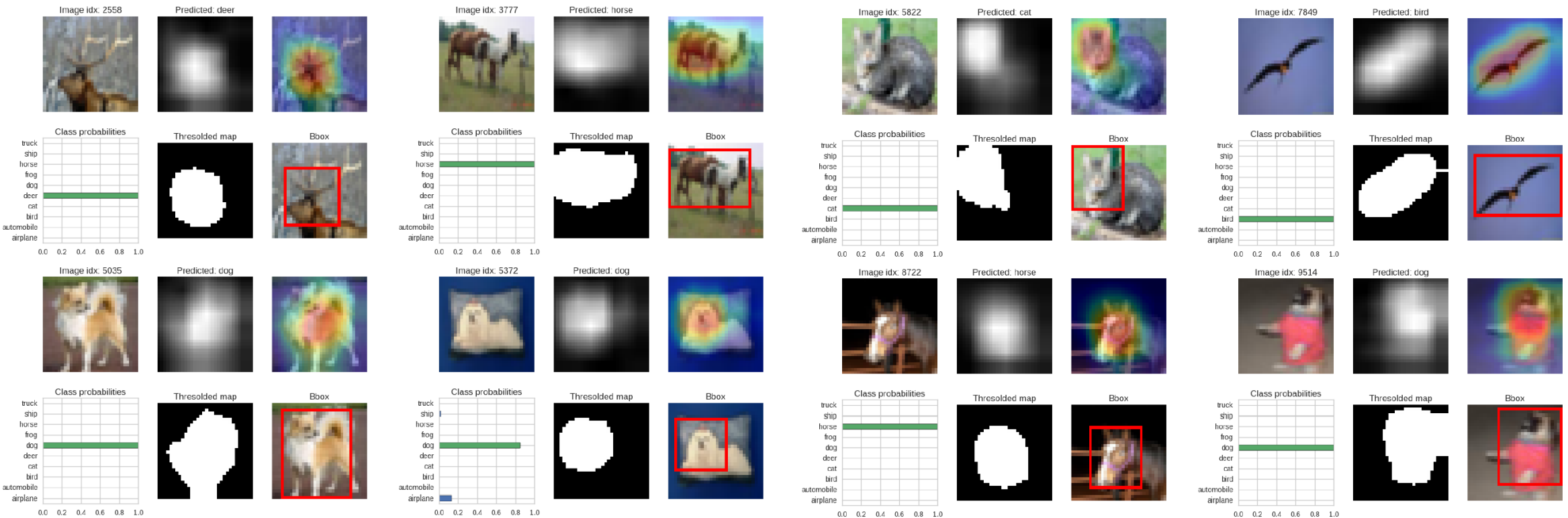
F. Plane RGB

F. Plane Green

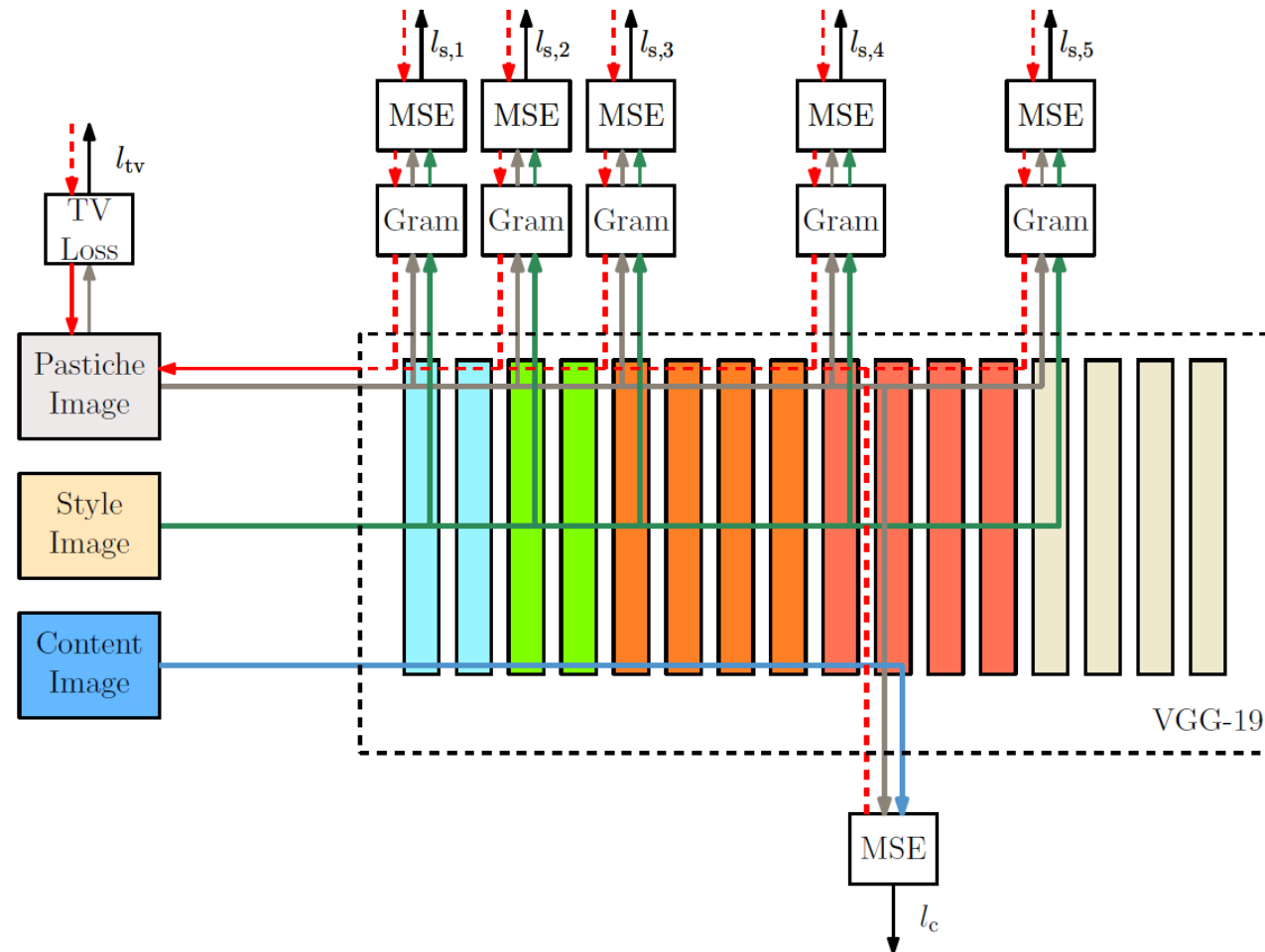
DIFFUSIVE FILLING-IN



DEEP LEARNING – CLASS ACTIVATION MAPS



DEEP LEARNING – NEURAL STYLE TRANSFER



DEEP LEARNING – NEURAL STYLE TRANSFER



OUTRAS IDÉIAS

- Compressão de imagens no plano focal aparece em diversas outras referências. Uma tabela comparativa é dada em [Oliveira, 2013].
- Há também filtragem (convoluçãoes), detecção de bordas, estimação de movimento, visão estéreo, reconhecimento de padrões.
- Abordagens (menos ou mais recentes) à visão computacional utilizando sinais pulsados.

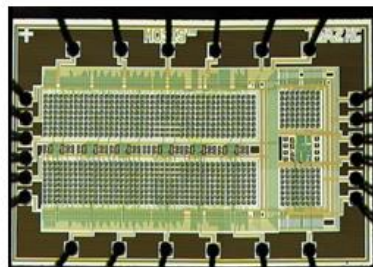
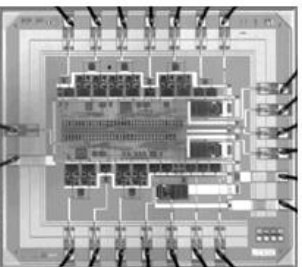
TENDÊNCIAS PARA O FUTURO

- High dynamic range imaging
- Compressive sensing
- Z. Chen, A Primer on Neural Signal Processing, IEEE CAS Magazine, First Quarter 2017
- M. Ahmed and B. K. Sujatha, A review on methods, issues and challenges in neuromorphic engineering, em Anais IEEE ICCSP 2015
- A. Yousefzadeh, T. Masquelier, T. Serrano-Gotarredona, and B. Linares-Barranco, Hardware implementation of convolutional STDP for on-line visual feature learning, em Anais ISCAS 2017
- S. Walz, J. Miller and R. Tetzlaff, Image classification by cellular nonlinear networks, em Anais ISCAS 2017

REFERÊNCIAS

- F. D. V. R. Oliveira, H. L. Haas, J. G. R. C. Gomes e A. Petraglia. CMOS Imager with Focal-Plane Analog Image Compression Combining DPCM and VQ. *IEEE Transactions on Circuits and Systems I: Regular Papers*, vol. 60, no. 5, pp. 1331-1344, Mai. 2013.
- B. B. Cardoso, F. D. V. R. Oliveira, J. G. R. C. Gomes e T. M. F. Lopes. CMOS Imager with Current-Mode Sub-Band Image Coding at the Focal Plane. *Springer Analog Integrated Circuits and Signal Processing*, vol. 85, no. 1, pp. 91-106, Out. 2015.
- F. D. V. R. Oliveira, T. M. F. Lopes, J. G. R. C. Gomes, F. A. P. Barúqui e A. Petraglia, Focal-plane image encoder with cascode current mirrors and increased vector quantization bit rate, em *Anais 29th Symposium on Integrated Circuits and Systems Design (SBCCI)*, pp. 1-6, 2016.
- R. M. Estêvão Filho, J. G. R. C. Gomes e A. Petraglia. Codebook Calibration Method for Vector Quantizers Implemented at the Focal Plane of CMOS Imagers. *IEEE Trans. Circuits and Systems for Video Technology*, vol. 26, no. 4, pp. 750-761, Abr. 2016.
- J. Fernández-Berni, F. D. V. R. Oliveira, R. Carmona-Galán e A. Rodríguez-Vázquez, Image sensing scheme enabling fully-programmable light adaptation and tone mapping with a single exposure, *IEEE Sensors J.*, vol. 16, no. 13, pp. 5121-5122, Jul. 2016.
- F. D. V. R. Oliveira, J. G. R. C. Gomes, J. Fernández-Berni, R. Carmona-Galán, Rocío del Río e A. Rodríguez-Vázquez, Gaussian pyramid: comparative analysis of hardware architectures, *IEEE Trams. Circuits and Systems I: regular Papers*, vol. 64, no. 9, pp. 2308-2321, Set. 2017.
- G. N. Santos, Um Estudo sobre o Mecanismo Cortical do Diffusive Filling-In em Silício, *Tese de Doutorado*, PEE/COPPE/UFRJ, 2016.
- R. M. Estevão Filho, A Study on Deep Convolutional Neural Networks for Computer Vision Applications, *Dissertação de Mestrado*, PEE/COPPE/UFRJ, 2017.

AGRADECIMENTOS



FAPERJ

CNPq

CAPES

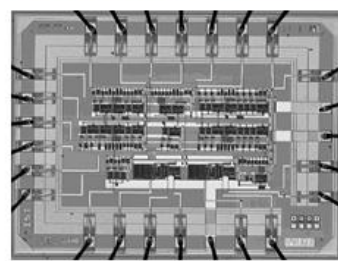
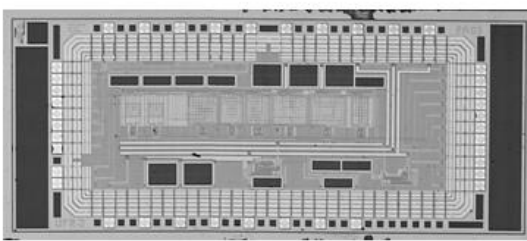
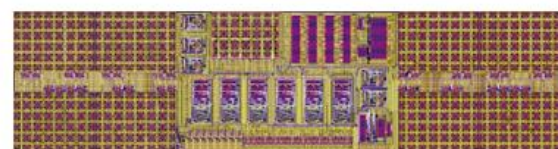
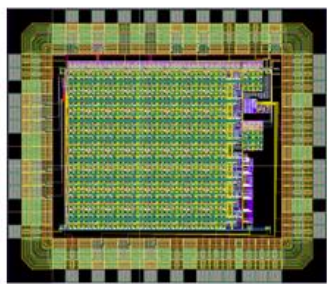
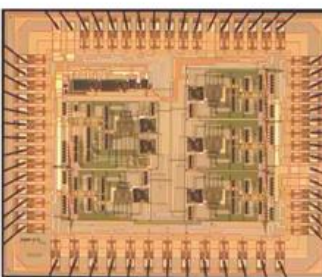
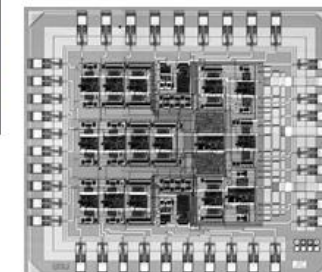
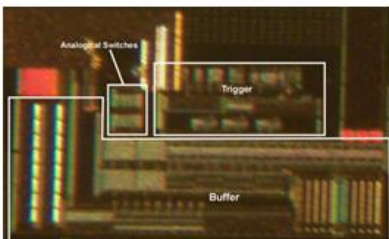
Organizadores 2nd CASS Seasonal School

Professores: Antonio e Mariane Petraglia,

Carlos F. T. Soares, Fernando A. P. Barúqui,

Joarez B. Monteiro

Alunos do PADS/COPPE/UFRJ





OBRIGADO!

gabriel@pads.ufrj.br